



This is a digital copy of a book that was preserved for generations on library shelves before it was carefully scanned by Google as part of a project to make the world's books discoverable online.

It has survived long enough for the copyright to expire and the book to enter the public domain. A public domain book is one that was never subject to copyright or whose legal copyright term has expired. Whether a book is in the public domain may vary country to country. Public domain books are our gateways to the past, representing a wealth of history, culture and knowledge that's often difficult to discover.

Marks, notations and other marginalia present in the original volume will appear in this file - a reminder of this book's long journey from the publisher to a library and finally to you.

### Usage guidelines

Google is proud to partner with libraries to digitize public domain materials and make them widely accessible. Public domain books belong to the public and we are merely their custodians. Nevertheless, this work is expensive, so in order to keep providing this resource, we have taken steps to prevent abuse by commercial parties, including placing technical restrictions on automated querying.

We also ask that you:

- + *Make non-commercial use of the files* We designed Google Book Search for use by individuals, and we request that you use these files for personal, non-commercial purposes.
- + *Refrain from automated querying* Do not send automated queries of any sort to Google's system: If you are conducting research on machine translation, optical character recognition or other areas where access to a large amount of text is helpful, please contact us. We encourage the use of public domain materials for these purposes and may be able to help.
- + *Maintain attribution* The Google "watermark" you see on each file is essential for informing people about this project and helping them find additional materials through Google Book Search. Please do not remove it.
- + *Keep it legal* Whatever your use, remember that you are responsible for ensuring that what you are doing is legal. Do not assume that just because we believe a book is in the public domain for users in the United States, that the work is also in the public domain for users in other countries. Whether a book is still in copyright varies from country to country, and we can't offer guidance on whether any specific use of any specific book is allowed. Please do not assume that a book's appearance in Google Book Search means it can be used in any manner anywhere in the world. Copyright infringement liability can be quite severe.

### About Google Book Search

Google's mission is to organize the world's information and to make it universally accessible and useful. Google Book Search helps readers discover the world's books while helping authors and publishers reach new audiences. You can search through the full text of this book on the web at <http://books.google.com/>

Mathematics

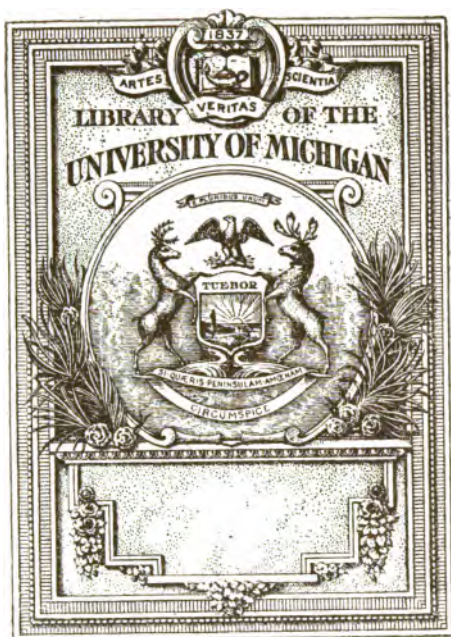
QA

219

.C915

**B** 491565





THE GIFT OF  
PROF. ALEXANDER ZIWET





Cremona, Calcolo grafico, 1874.



Mathematics

QA

219

.C915





3539

Alexander Zivert

112

# ELEMENTI

DI

# CALCOLO GRAFICO,

DEL PROF.

LUIGI CREMONA

Direttore della R. Scuola d'Applicazione per gl'Ingegneri in Roma,

AD USO DEGLI

ISTITUTI TECNICI

del Regno d'Italia.



TORINO,

STAMPERIA REALE DI G. B. PARAVIA E C.

1874.

Prof. Alex. Zivert  
1-25-1923

---

PROPRIETÀ LETTERARIA

È riservato il diritto di traduzione.

---

Mathematics

QA  
219  
.C915

*Matthias* AL LETTORE.

---

Quest'opuscoletto non è stato scritto che per un fine scolastico, e cioè per servire ai giovani allievi delle Scuole d'applicazione, che vogliano prepararsi alla statica grafica, ed agli studenti degli Istituti tecnici, ai quali i programmi del 1871 fanno l'obbligo di studiare alcune parti del calcolo grafico.

Sebbene mi possa essere riuscito di semplificare o generalizzare alcuni risultati, tuttavia io non aspiro al vanto di novatore: vanto che sarebbe d'altra parte assai inopportuno in materia così elementare come questa.

Le opere, alle quali ho attinto tutto ciò che possa esservi di buono in queste pagine, sono particolarmente quelle di MÖBIUS, del nostro CHELINI, di GRASSMANN, di CULMANN, e di altri autori che non ho tralasciato di citare, ogni qualvolta mi è stato possibile.

Le figure sono state disegnate dall'egregio Ing. CARLO SAVIOTTI, al quale mi professo gratissimo.

Roma (S. Pietro in Vincoli), dicembre 1873.

L'Autore.

416175



# INDICE.

AL LETTORE . . . . . Pag. III

## I. Principio de' segni in geometria. . . . . » 1

1. Principio de' segni pei segmenti rettilinei. — 2. Relazione fra i segmenti determinati da tre punti in linea retta. — 4. Analoga relazione per  $n$  punti in linea retta. — 6. Altra relazione fra i segmenti determinati da quattro punti in linea retta. — 7. Relazione fra le distanze di un punto da tre rette concorrenti. — 8. Principio dei segni per gli angoli. — 9. Relazione fra gli angoli determinati da tre rette in un piano. — 12 e 18. Principio de' segni per le aree. — 13. Relazione fra le aree dei triangoli determinati da quattro punti in un piano. — 16. Relazione fra le distanze di un punto da tre rette comunque situate in un piano. — 17. Circuiti intrecciati. — 18-23. Area di un circuito chiuso. — 24. Somma dei triangoli che da un dato polo proiettano  $n$  segmenti dati in un piano.

## II. Addizione grafica . . . . . » 17

28. Somma geometrica di  $n$  segmenti dati. — 31. La risultante di più segmenti è indipendente dall'ordine della composizione — 32. Caso in cui la risultante è zero. — 36. Sottrazione grafica. — 38. Proiezione di un circuito. — 40-42. Teoremi relativi a due gruppi di punti tali che siano uguali le risultanti dei segmenti che li congiungono ad uno stesso polo. — 43. Composizione di  $n$  segmenti, dati di grandezza, senso e posizione. — 46-49. Costruzione del segmento risultante. — 50. Caso che i segmenti dati siano paralleli. — 51. Caso di due segmenti paralleli.

## III. Moltiplicazione . . . . . » 25

52. Moltiplicazione di una retta per un rapporto. — 54. Divisione di una retta in parti. — 55. Divisione di un angolo in parti uguali. — 56-59. Moltiplicazione di  $n$  segmenti d'una stessa retta per uno stesso rapporto. — 60. Moltiplicazione di  $n$  segmenti dati di grandezza, direzione e senso, rispettivamente per  $n$  rapporti dati. — 62-64. Casi particolari. — 65. Prodotto di un segmento per  $n$  rapporti dati. — 67-69. Altre costruzioni per lo stesso problema.

## IV. Potenze . . . . . » 36

70. Moltiplicazione di un segmento per la potenza  $n$ -esima di un dato rapporto. — 71, 72. Altre costruzioni per lo stesso problema.

# VIII

<b>V. Estrazione di radice . . . . .</b>	<b>Pag. 39</b>
73. Spirale equiangola. — 74-79. Proprietà della spirale e costruzione della medesima. — 80. Applicazione all'estrazione di radice. — 82. Radice quadrata. — 83. Curva logaritmica. — 84. Costruzione di questa curva. — 85. Costruzione della tangente. — 86. Applicazione.	
<b>VI. Risoluzione delle equazioni numeriche . . . . .</b>	<b>45</b>
87. Costruzione di un polinomio intero. — 88. Metodo di LILL. — 89, 90. Abbassamento delle equazioni. — 91. Equazione di 2° grado.	
<b>VII. Trasformazione delle figure piane . . . . .</b>	<b>50</b>
92. Riduzione di un triangolo ad una base data. — 94-97. Riduzione di un quadrilatero. — 98-100. Riduzione di un poligono intrecciato. — 101. Figure circolari. — 103, 104. Esempi. — 105-107. Figure curvilinee in generale. — 108. Altra costruzione della risultante di $n$ segmenti dati di grandezza, senso e posizione.	
<b>VIII. Baricentri . . . . .</b>	<b>57</b>
109, 110. Baricentro di $n$ punti. — 112. Centro delle medie distanze. — 113-115. Baricentro di $n$ punti, affetti da coefficienti interi. — 117-119. Baricentro di $n$ punti, affetti da coefficienti qualsivogliano. — 120. Costruzione del baricentro. — 122. Caso che i punti siano in linea retta. — 123. Caso di tre punti. — 124. Caso che la somma de' coefficienti sia nulla. — 125. Altra proprietà del baricentro. — 126. Costruzione che se ne deduce. — 127. Baricentro di un sistema continuo di punti. — 128. Baricentro di un segmento rettilineo. — 129. Baricentro di un parallelogrammo. — 130. Baricentro di una figura dotata di un diametro. — 131. Baricentro di un triangolo. — 132. Baricentro di un sistema di segmenti rettilinei o di aree triangolari. — 133, 134. Baricentro di un contorno rettilineo. — 135. Baricentro di un arco circolare. — 136. Baricentro del perimetro di un triangolo. — 137. Baricentro di un quadrilatero. — 138. Baricentro di un trapezio. — 140. Baricentro di un poligono. 141-143. Esempi. — 144. Baricentro di un settore circolare. — 145. Baricentro di un segmento circolare. — 146. Baricentro di una figura contenuta da rette e da archi circolari.	
<b>IX. Rettificazione di un arco circolare . . . . .</b>	<b>76</b>
147. Costruzione di RANKINE. 148. Costruzioni di SAYNO.	

# ELEMENTI DI CALCOLO GRAFICO.

---

## I.

### Principio de' segni in geometria.

1. Siano  $O, A, X$  tre punti di una data retta (fig. 1), de' quali i primi due si considerino come fissi; il terzo invece partendo da  $O$  si muova nella direzione  $OA$ . Siano poi  $a, x$  i numeri delle unità lineari rispettivamente contenute ne' segmenti (porzioni limitate della retta)  $OA, OX$ . Sinchè  $X$  rimane fra  $O$  ed  $A$ , si ha  $x < a$ ; quando  $X$  cade appunto in  $A$ , è  $x = a$ ; e dopochè  $X$  sarà passato oltre, avremo  $x > a$ .

Se il punto  $X$ , in luogo di muoversi da  $O$  in avanti verso  $A$ , camminasse all'indietro nella direzione opposta (fig. 2), il numero  $x$  delle unità lineari contenute nel segmento  $OX$  si considererebbe come negativo, ritenuto essere  $a$  un numero positivo. Per es. quando  $X$  ed  $A$  fossero equidistanti da  $O$ , si avrebbe  $x = -a$ .

Una retta sarà da noi pensata sempre come descritta da un punto mobile. Delle due direzioni nelle quali può avvenire il movimento del punto generatore, l'una si dice positiva, l'altra negativa. Invece di direzione positiva o negativa si dice anche senso positivo o negativo.

Se un segmento di retta è indicato per mezzo del numero  $x$  di unità lineari in esso contenute, il senso del segmento sarà messo in evidenza dal segno algebrico ( $+$  o  $-$ ) del numero  $x$ .

Ma un segmento si designa anche per mezzo delle due lettere collocate ai suoi termini, per es.  $AB$  (fig. 3). Ed in questo caso conveniamo di scrivere  $AB$  o  $BA$ , secondo che il movimento del punto generatore s'intenda fatto nella direzione da  $A$  verso  $B$  o



nell'opposta. Dietro questa convenzione, i simboli  $AB$ ,  $BA$  esprimono due grandezze uguali ed opposte (\*), donde segue l'identità

$$AB + BA = 0,$$

ossia

$$AB = -BA, \quad BA = -AB.$$

De' due punti  $A, B$ , che sono gli estremi del segmento  $AB$ , l'uno  $A$  dicesi l'origine, l'altro  $B$  il termine del segmento. Invece nel segmento  $BA$ ,  $B$  è l'origine ed  $A$  il termine.

2. Siano  $A, B, C$  tre punti in linea retta. Se  $C$  è fra  $A$  e  $B$  (fig. 3), si ha

$$AB = AC + CB,$$

donde

$$-CB - AC + AB = 0,$$

ossia, siccome (N° 1)

$$-CB = BC, \quad -AC = CA,$$

così

$$BC + CA + AB = 0.$$

Se  $C$  è sul prolungamento di  $AB$ , si ha

$$AB + BC = AC,$$

donde

$$BC - AC + AB = 0,$$

ossia

$$BC + CA + AB = 0.$$

Finalmente, se  $C$  è nel prolungamento di  $BA$ , si ha

$$CA + AB = CB,$$

donde

$$-CB + CA + AB = 0,$$

ossia

$$BC + CA + AB = 0.$$

Concludiamo adunque (\*\*):

Se  $A, B, C$  sono tre punti in linea retta, qualunque sia la loro scambievole giacitura, sussiste sempre l'identità

$$BC + CA + AB = 0.$$

(\*) Cioè due grandezze di ugual valore aritmetico e di segni algebrici opposti, come  $+a$  e  $-a$ .

(\*\*) MÖBIUS, *Barycentrischer Calcul* (Leipzig, 1827), § 1.

3. Di qui si cava l'espressione della distanza di due punti  $A, B$ , formata colle distanze che i medesimi hanno da un punto  $O$  allineato con essi, e fissato come origine de' segmenti. Infatti, essendo  $O, A, B$  tre punti in linea retta, si ha

$$OA + AB + BO = 0 ,$$

donde

$$AB = OB - OA ,$$

o anche

$$AB = AO + OB .$$

4. Se  $A, B, C, \dots M, N$  sono  $n$  punti in linea retta, e se per essi sussiste il teorema espresso dall'eguaglianza:

$$AB + BC + \dots + MN + NA = 0 ,$$

dico che lo stesso teorema sussiste per  $n + 1$  punti. Infatti, se  $O$  è un altro punto della stessa retta, fra i tre punti  $N, A, O$  avrà luogo la relazione

$$NA = NO + OA ,$$

dunque l'eguaglianza supposta diverrà

$$AB + BC + \dots + MN + NQ + OA = 0 ,$$

c. d. d. Si è già dimostrato (N° 2) che il teorema è vero per  $n = 3$ ; dunque esso sussiste anche per  $n = 4$ , ecc.

5. Il segno di un segmento  $AB$  non è determinato, se non sia già dato come positivo un segmento della medesima retta, la direzione del quale dicesi direzione positiva della retta.

Per due rette differenti, la direzione positiva dell'una è in generale indipendente dalla direzione positiva dell'altra. Ma se le due rette sono parallele, supporremo che le loro direzioni positive coincidano; cioè, che, fissata la direzione positiva della prima retta e trasportata questa parallelamente a sè stessa, fino a coincidere coll'altra retta, le direzioni positive delle due rette così sovrapposte siano identiche.

Da ciò segue che due segmenti paralleli  $AB, CD$  avranno segni uguali od opposti, secondo che la direzione da  $A$  verso  $B$  coincida o no colla direzione da  $C$  verso  $D$ . Per es., se  $ABCD$  è un parallelogrammo, si ha

$$AB + CD = 0 , \quad BC + DA = 0 .$$

Due segmenti uguali, paralleli e dello stesso senso diconsi equipollenti (\*).

6. Se  $A, B, C, D$  sono quattro punti in linea retta, si ha identicamente.

$$AD \cdot BC + BD \cdot CA + CD \cdot AB = 0.$$

Se la distanza da  $A, B, C$   
la  $D$  moltiplica ciascuno  
quello dei segmenti che non  
contiene  $D$  come prodotto  
di due prodotti, la cui  
somma è costante.

Infatti, i segmenti  $BC, CA, AB$  si possono esprimere come segue

$$BC = BD - CD,$$

$$CA = CD - AD,$$

$$AB = AD - BD;$$

moltiplicando ordinatamente queste tre eguaglianze per  $AD, BD, CD$  e sommando i risultati, si ha appunto l'identità che si voleva dimostrare.

7. Siano  $p, q, r$  tre rette concorrenti in un punto  $O$  (fig. 4). Per un punto qualsivoglia  $M$  del piano tirisi una trasversale a segare  $p, q, r$  rispettivamente in  $A, B, C$ ; si avrà pel teorema che precede

$$MA \cdot BC + MB \cdot CA + MC \cdot AB = 0.$$

Conducasi ora parallelamente alla trasversale  $ABC$  una retta che seghi le  $p, q, r$  in  $P, Q, R$ ; siccome i segmenti  $BC, CA, AB$  sono proporzionali ai segmenti  $QR, RP, PQ$ , così l'eguaglianza ora ottenuta potrà scriversi

$$MA \cdot QR + MB \cdot RP + MC \cdot PQ = 0.$$

Se per un altro punto qualsivoglia  $M'$  si tirerà una nuova trasversale, nella direzione fissa  $PQR$ , la quale incontri le  $p, q, r$  in  $A', B', C'$ , si avrà ancora

$$M'A' \cdot QR + M'B' \cdot RP + M'C' \cdot PQ = 0.$$

Vale a dire: Se per un punto qualunque  $M$  si conduce, in una data direzione, una trasversale che seghi in  $A, B, C$  tre date rette concorrenti in un punto, i segmenti  $MA, MB, MC$  sono legati fra loro dalla relazione

$$a \cdot MA + b \cdot MB + c \cdot MC = 0$$

ove le  $a, b, c$  sono quantità costanti.

(\*) BELLAVITIS, *Spasizione del metodo delle equipollenze* (Modena, 1854), n° 3. Non sono in grado di poter citare la prima Memoria del chiar.º Autore su questo argomento (1835).

Dal punto  $M$  si calino sulle tre rette  $p, q, r$  le perpendicolari  $MD, ME, MF$ ; ed anche da un punto  $S$  fissato ad arbitrio nella  $PQR$  si abbassino sulle medesime rette date le perpendicolari  $SU, SV, SW$ . I triangoli simili  $MAD, SPU$  danno

$$MA:MD = SP:SU,$$

ossia

$$MA = \frac{SP}{SU} \cdot MD,$$

ed analogamente

$$MB = \frac{SQ}{SV} \cdot ME,$$

$$MC = \frac{SR}{SW} \cdot MF.$$

Ond'è che l'eguaglianza

$$MA \cdot QR + MB \cdot RP + MC \cdot PQ = 0$$

potrà anche scriversi così

$$MD \cdot \frac{QR \cdot SP}{SU} + ME \cdot \frac{RP \cdot SQ}{SV} + MF \cdot \frac{PQ \cdot SR}{SW} = 0,$$

vale a dire:

Se da un punto qualunque  $M$  si abbassano le perpendicolari  $MD, ME, MF$  su tre date rette concorrenti in un punto, sussiste la relazione

$$\alpha \cdot MD + \beta \cdot ME + \gamma \cdot MF = 0,$$

ove le  $\alpha, \beta, \gamma$  sono quantità costanti.

Le  $MD, ME, MF$ , in luogo d'essere perpendicolari alle rette date, potrebbero essere oblique in direzioni fissate ad arbitrio: si avrà ancora una relazione della stessa forma, mutati soltanto i valori delle  $\alpha, \beta, \gamma$ ; e la dimostrazione sussisterà inalterata.

La dimostrazione non suppone necessariamente che il punto di concorso delle  $p, q, r$  sia a distanza finita; perciò il teorema è vero anche se le tre rette date sono fra loro parallele.

8. In un dato piano si faccia un movimento circolare (fig. 5), cioè un punto si muova sopra una circonferenza, ovvero una retta ruoti intorno ad un suo punto fisso. Per un osservatore collocato al disopra del piano, il movimento avverrà o nel senso in cui si muovono le lancette di un orologio (fig. 5) o nel senso opposto. Il primo di questi due sensi si dirà senso positivo del piano;

l'altro senso negativo. Un arco della circonferenza si considererà come positivo o come negativo, secondo che il movimento suddetto si faccia nel senso positivo o nel senso negativo nel piano (cfr. N. 1).

Nel piano siano determinate le direzioni positive  $a, b$  di due rette (fig. 6). Ciò premesso, se la prima retta dee ruotare di  $\gamma$  gradi (intorno ad un suo punto supposto fisso, per es. intorno al punto  $ab$ , e nel senso positivo o nel senso negativo del piano, secondo il segno di  $\gamma$ ), affinchè la sua direzione positiva coincida colla direzione positiva dell'altra, l'angolo indicato col simbolo  $ab$  si dirà essere di  $\gamma$  gradi. Segue da questa definizione che, invece di  $\gamma$ , si può anche porre  $\gamma \pm 360^\circ$ ,  $\gamma \pm 2.360^\circ$ , ... Se  $b$  dee ruotare di  $\gamma'$  gradi per sovrapporsi ad  $a$ , sarà analogamente l'angolo  $ba = \gamma'$ , ovvero  $= \gamma' \pm 360^\circ$ , ... Se la direzione positiva  $a$  ruotasse, prima di  $\gamma$  gradi, e poi di  $\gamma'$  gradi, finirebbe col sovrapporsi a sè stessa, come se avesse ruotato di  $0^\circ$ ,  $360^\circ$ ,  $2.360^\circ$ , ...; dunque

$$ab + ba = 0^\circ, \quad \text{oppure} \quad = 360^\circ, \dots$$

Infatti, è evidente che, se  $\gamma$  e  $\gamma'$  sono entrambi positivi, si ha  $\gamma + \gamma' = 360^\circ$ ; se entrambi negativi,  $\gamma + \gamma' = -360^\circ$ ; se di segno contrario,  $\gamma + \gamma' = 0$ .

Noi scriveremo

$$ab + ba = 0,$$

intendendo che allo zero, come a qualsivoglia angolo, si può aggiungere o togliere un numero arbitrario intero di circonferenze (di raggio = 1).

Dalle definizioni poste segue adunque, che  $ab$  e  $ba$  sono due angoli uguali ed opposti:

$$ab = -ba, \quad ba = -ab.$$

9. Nel piano siano date le direzioni  $a, b, c$  di tre rette, che potrò supporre condotte da uno stesso punto  $O$  e prolungate da una sola banda di esso: giacchè l'angolo di due rette è indipendente dalla loro posizione assoluta. Se, girando intorno ad  $O$  nel senso positivo del piano, si incontrano le tre rette nell'ordine  $acb$  (fig. 7), sarà identicamente

$$ca = cb + ba,$$

ossia

$$-cb + ca - ba = 0.$$

Ma

$$-cb = bc, \quad -ba = ab;$$

dunque

$$bc + ca + ab = 0.$$

Se l'ordine di successione è  $abc$  (fig. 8), sarà

$$bc + ca = ba,$$

donde

$$bc + ca - ba = 0,$$

ossia

$$bc + ca + ab = 0.$$

Dunque:

Se  $a, b, c$  sono tre rette in uno stesso piano, qualunque sia la loro scambievolmente giacitura, sussiste sempre l'identità

$$bc + ca + ab = 0.$$

**10.** Di qui, analogamente a ciò che s'è veduto pei segmenti (N° 3), si cava l'espressione dell'angolo di due rette  $a, b$ , formata mediante gli angoli ch'esse fanno con una terza retta  $o$ , data ad arbitrio nel piano. Infatti, essendo le direzioni  $o, a, b$  in uno stesso piano, si ha

$$oa + ab + bo = 0,$$

donde

$$ab = ob - oa,$$

o anche

$$ab = ao + ob.$$

**11.** Se s'indica un angolo con tre lettere, simboli di punti, per es.  $BAC$  (fig. 9), si suppone che le direzioni positive dei lati vadano da  $A$  verso  $B$  e da  $A$  verso  $C$ ; così che  $BAC$  è l'angolo delle rette  $AB, AC$  (acuto nella figura) mentre  $CAB$  è l'angolo (segnato nella figura dalla linea punteggiata) delle rette  $AC, AB$ , epperò

$$BAC + CAB = 0.$$

**12.** Tre punti  $ABC$  (non situati in linea retta) sono i vertici di un triangolo (fig. 10). Imaginiamo di percorrerne il contorno continuamente, cioè senza salti e senza ripassare più volte per uno stesso punto: ciascun vertice sarà allora il termine di un lato e l'origine del lato consecutivo. Ciò può farsi in due maniere, vale a dire in due sensi opposti; cioè nel senso  $ABC$  o nel senso  $ACB$ . Il senso  $BCA$  o  $CAB$  non differisce da  $ABC$ ; e così non differisce  $CBA$  nè  $BAC$  da  $ACB$ . Nella figura 10 il senso  $ABC$  è il senso positivo del piano, ed  $ACB$  è il senso negativo. Gli angoli interni del triangolo sono  $BAC, CBA, ACB$ .

L'area del triangolo rimane a destra o a sinistra secondo che se ne percorra il contorno in senso positivo o in senso negativo; perciò le aree  $ABC$ ,  $ACB$  si considerano come uguali ed opposte: positiva la prima, negativa la seconda. L'area  $ABC$  (o  $ACB$ ) si può considerare come generata da un raggio di lunghezza variabile, un termine del quale sia fisso in  $A$ , mentre l'altro termine percorra il segmento  $BC$  (o  $CB$ ). Ora tale rotazione avviene nel senso positivo (negativo) del piano; perciò anche l'area si considera come positiva (negativa) (\*).

La condizione necessaria e sufficiente affinché tre punti  $A$ ,  $B$ ,  $C$  siano in linea retta è che l'area  $ABC$  sia nulla.

**13. Teorema.** — Se  $O$  è un punto qualsivoglia del piano del triangolo  $ABC$  (fig. 10), si ha sempre l'identità

$$OBC + OCA + OAB = ABC (**).$$

*Dimostrazione.* — Se  $O$  è nell'interno del triangolo  $ABC$ , questo è appunto la somma de' triangoli  $OBC$ ,  $OCA$ ,  $OAB$ .

Se  $O$  è nell'angolo  $BAC$ , dall'altra parte del lato  $BC$ , si ha

$$OCA + OAB - OCB = ABC;$$

ma  $OCB = - OBC$ ,

dunque  $OBC + OCA + OAB = ABC$ .

Finalmente, se  $O$  è nell'angolo opposto al vertice a  $BAC$ , si ha

$$OBC - OAC - OBA = ABC,$$

ossia

$$OBC + OCA + OAB = ABC,$$

c. d. d.

In virtù dell'osservazione fatta alla fine del N. 12, se tre punti  $A$ ,  $B$ ,  $C$  sono in linea retta, si avrà

$$OBC + OCA + OAB = 0$$

qualunque sia il punto  $O$ .

**14.** Da questo teorema segue che l'area del triangolo  $ABC$  si può riguardare come generata dal movimento di un raggio di lunghezza variabile (raggio vettore), un termine del quale sia fisso in  $O$  (polo), mentre l'altro termine percorra il contorno  $ABC$  nel senso dato.

(\*) MÖBIUS, *l. c.*, § 17.

(\*\*) MÖBIUS, *l. c.*, § 18.

Questa osservazione e il teorema precedente sussistono inalterati, anche se  $BC$  fosse, non già un segmento di retta, ma un arco di curva (\*).

15. Se  $O$  è un punto qualunque nel piano del parallelogrammo  $ABCD$  (fig. 11), si ha

$$OAB + OCD = \frac{1}{2} ABCD.$$

Infatti, indicato con  $S$  il punto in cui  $BC$  è incontrata dalla retta condotta per  $O$  parallelamente ad  $AB$ , si ha (N. 13)

$$SAB + SBC + SCA = ABC,$$

ma  $SBC = 0, \quad SCA = SCD,$

$$SAB = OAB, \quad SCD = OCD,$$

dunque ecc. Siccome  $\frac{1}{2} ABCD = DAB$ , così l'equazione superiore può anche scriversi

$$ODC = OAB - DAB.$$

16. Siano (fig. 12),  $p, q, r$  tre rette formanti un triangolo  $ABC$ ;  $O$  ed  $M$  due punti nel piano, il primo de' quali si consideri come fisso o dato, l'altro come variabile. Dai punti  $O, M$  si abbassino sulla  $p$  le parallele  $OU, MD$ , in una direzione prescelta ad arbitrio; e così pure sulla  $q$  le parallele  $OV, ME$ , e sulla  $r$  le parallele  $OW, MF$ , in direzioni fissate a volontà.

Le aree de' triangoli  $OBC, MBC$  sono proporzionali alle distanze che i vertici  $O, M$  hanno dalla base comune  $BC$ , epperò sono anche proporzionali ai segmenti  $OU, MD$ ; dunque

$$OBC : MBC = OU : MD,$$

ossia

$$MBC = \frac{OBC}{OU} \cdot MD,$$

ed analogamente

$$MCA = \frac{OCA}{OV} \cdot ME,$$

$$MAB = \frac{OAB}{OW} \cdot MF.$$

---

(\*) E quindi anche se  $BC, CA, AB$  fossero tre archi non segantisi fra loro. Cfr. N. 19.



$$MBC + MCA + MAB = ABC,$$

dunque

$$\frac{OBC}{OU} \cdot MD + \frac{OCA}{OV} \cdot ME + \frac{OAB}{OW} \cdot MF = ABC.$$

Se facciamo variare il punto  $M$  nel piano, conservando le direzioni  $OU$ ,  $OV$ ,  $OW$ , nell'equazione precedente si alterano solamente le lunghezze  $MD$ ,  $ME$ ,  $MF$ ; ne segue il teorema:

Se da un punto qualunque  $M$  nel piano di un dato triangolo si abbassano, sui lati di questo, le rette  $MD$ ,  $ME$ ,  $MF$  in direzioni date, queste rette sono legate dalla relazione ( $\dagger$ )

$$\alpha \cdot MD + \beta \cdot ME + \gamma \cdot MF = \delta;$$

dove le  $\alpha$ ,  $\beta$ ,  $\gamma$ ,  $\delta$  sono quantità costanti.

Il teorema sussiste anche se due delle tre date rette  $p$ ,  $q$ ,  $r$  sono parallele fra loro. Siano p. es.,  $q$ ,  $r$  fra loro parallele; e conducasi una retta  $s$ , che non sia parallela alle  $q$ ,  $r$ , nè alla  $p$ . Da un punto qualsivoglia  $M$  si abbassino, in direzioni fissate ad arbitrio, le  $MD$ ,  $ME$ ,  $MF$ ,  $MG$  sulle  $p$ ,  $q$ ,  $r$ ,  $s$ . Siccome le  $p$ ,  $q$ ,  $s$  formano un triangolo, così pel teorema ora dimostrato, le  $MD$ ,  $ME$ ,  $MG$  saranno legate da una relazione della forma ( $\dagger$ ), che scriveremo così:

$$\alpha MD + \beta ME + MG = \delta;$$

ed analogamente, siccome le  $p$ ,  $r$ ,  $s$  formano un triangolo, avremo fra le  $MD$ ,  $MF$ ,  $MG$  una relazione della stessa forma

$$\alpha' MD + \gamma MF + MG = \delta'.$$

Sottraendo quest'uguaglianza della precedente si ha

$$(\alpha - \alpha') MD + \beta ME - \gamma MF = \delta - \delta',$$

cioè le  $MD$ ,  $ME$ ,  $MF$  sono ancora legate da una relazione della forma ( $\dagger$ ), c. d. d.

Questo teorema è una generalizzazione di quello del N° 7, relativo a tre rette  $p$ ,  $q$ ,  $r$  concorrenti in un punto situato a distanza finita o infinita. In quel caso particolare la costante  $\delta$  è zero.

17. Diciamo circuito la linea descritta da un punto che si muova in un piano, da una posizione (iniziale) ad un'altra (posizione finale), senza salti, cioè senza mai abbandonare il piano. Il

circuito è chiuso se la posizione finale coincide coll'iniziale; è aperto, nel caso contrario. Se il circuito interseca sè medesimo, i punti d'intersezione diconsi nodi, e il circuito dicesi intrecciato.

Se il circuito è formato da segmenti rettilinei, esso dicesi linea poligonale o semplicemente poligono.

Un circuito qualsivoglia, al pari del contorno di un triangolo (N. 12), può essere percorso in due sensi opposti; diremo positivo quello che coincide col senso positivo del piano. Affinchè sia dato il senso di un circuito, basta che si conosca l'ordine di successione di due suoi punti, se il circuito è aperto; di tre, se è chiuso.

18. Un circuito chiuso e senza nodi circoscrive una porzione interna e finita del piano, e la separa dalla porzione rimanente, che è esterna e infinita. La misura di cotesta regione interna è ciò che dicesi area del circuito, e considerasi come positiva o come negativa, secondo che essa si trovi a destra o a sinistra di una persona che, stando sul piano, percorra il circuito nel senso dato del medesimo; vale a dire, l'area è positiva o negativa secondo che il circuito è percorso nel senso positivo o nel senso negativo del piano (N. 12).

19. Teorema. — Se  $ABCD \dots MNA$  (fig. 13) è un circuito chiuso qualsivoglia, ed  $O$  un punto nel piano, la somma di triangoli (o settori)

$$\Sigma = OAB + OBC + OCD + \dots + OMN + ONA$$

è una quantità costante, qualunque sia il punto  $O$  (\*).

*Dimostrazione.* — Sia  $O'$  un altro punto nel piano; pel teorema del N° 13 sarà

$$O'AB = OAB + OBO' + OO'A,$$

$$O'BC = OBC + OCO' + OO'B,$$

$$O'CD = OCD + ODO' + OO'C,$$

$$\dots\dots\dots$$

$$O'MN = OMN + ONO' + OO'M,$$

$$O'NA = ONA + OAO' + OO'N,$$

e sommando

$$\begin{aligned} & O'AB + O'BC + O'CD + \dots + O'MN + O'NA \\ &= OAB + OBC + OCD + \dots + OMN + ONA = \Sigma, \end{aligned}$$

---

(\*) MÖBIUS, *Baryc. Calcul*, § 165; *Statik* (Leipzig, 1837), § 45.

distruggendosi gli altri termini, perchè a due a due uguali e opposti, come  $OO'A$  ed  $OA O'$ ,  $OO'B$  ed  $OBO'$ , ecc.

Si può considerare la grandezza  $\Sigma$  come generata dal movimento di un raggio (raggio vettore) di lunghezza variabile  $OX$ , che abbia un termine fisso nel polo  $O$ , mentre l'altro termine percorre il circuito dato nel senso dato.

**20.** Sia  $\omega$  un elemento del piano, ossia una porzione piccolissima (infinitesima) in tutte le direzioni; s'immaginino quelle due posizioni (comprendenti un angolo infinitesimo) del raggio vettore che abbracciano entro di sè l'elemento  $\omega$ . Di queste due posizioni indichiamo con  $O\omega$  la prima, quella cioè, che per la prima è occupata dal raggio mobile  $OX$ , allorchè il punto  $X$  percorre il circuito nel senso dato. Sia  $X$  un punto del circuito, situato nel prolungamento di  $O\omega$  (al di là di  $\omega$ , rispetto ad  $O$ ); e  $X'$  il punto, prossimo ad  $X$ , dove il circuito è incontrato dal secondo de' raggi vettori accennati di sopra, così che il punto descrivente il circuito occuperà prima la posizione  $X$  e, subito dopo, la posizione  $X'$ . Si dirà allora che l'intersezione  $X$  del circuito col prolungamento del raggio  $O\omega$  è positiva o negativa, secondo che sia positiva o negativa (N. 18) l'area del settore elementare  $OX X'$ , entro il quale è compreso  $\omega$ . Delle intersezioni del circuito col prolungamento di  $O\omega$ , siano le positive in numero  $m$ , le negative in numero  $n$ ; ciò vuol dire che de' settori elementari de' quali si compone la somma  $\Sigma$  e de' quali fa parte l'elemento  $\omega$ ,  $m$  sono positivi ed  $n$  negativi. E per conseguenza  $\omega$  entrerà in  $\Sigma$  col coefficiente  $m - n$ .

Ora, dico che il coefficiente  $m - n$  dell'elemento  $\omega$  è costante, qualunque sia il polo  $O$ . Infatti, se un punto  $X$  percorre tutto il circuito nel senso dato, il raggio  $\omega X$  (mobile intorno al centro dell'elemento  $\omega$ ) eseguirà una certa rotazione  $\gamma + h \cdot 360^\circ$  nel senso positivo, ed una certa altra rotazione  $-\gamma' - k \cdot 360^\circ$  nel senso negativo; e sarà  $\gamma = \gamma'$ , perchè la posizione finale del raggio  $\omega X$  dee coincidere coll'iniziale. Ne segue che la rotazione complessiva di  $\omega X$  sarà  $(h - k) 360^\circ$ , ossia un numero intero  $h - k$ , positivo o negativo, di circonferenze. Per ciascuna di queste circonferenze vi è una (una sola) posizione del raggio  $\omega X$ , il cui prolungamento al di là di  $\omega$  passi per  $O$ ; vale a dire, il numero delle volte che il raggio vettore  $OX$  passa per  $\omega$  è eguale al numero  $h - k$  de' giri che il circuito fa intorno ad  $\omega$ . Ma il numero delle volte che  $OX$  passa per  $\omega$  è il coefficiente  $m - n$  dell'elemento  $\omega$ , relativamente al polo  $O$ ; dunque  $m - n = h - k$ , ossia il coefficiente  $m - n$  è indipendente dalla scelta del polo  $O$ .

**21.** Un dato circuito chiuso ed intrecciato (fig. 43) divide il piano in un certo numero di spazi finiti  $S_1, S_2, \dots$  contigui l'uno all'altro, ciascuno de' quali ha un circuito non intrecciato; sicchè l'intero piano consta di questi spazi e della residua regione (esterna) infinita, che indicheremo con  $S_0$ .

Siano  $\omega, \omega'$  due elementi del piano, i quali si possano congiungere con una retta, senz'attraversare il circuito, e prendasi il polo  $O$  sopra uno dei prolungamenti della retta  $\dots\omega\omega'\dots$ . È evidente che il raggio  $OX$  non potrà percorrere  $\omega$  senza percorrere simultaneamente  $\omega'$  nello stesso senso; onde  $\omega$  ed  $\omega'$  entreranno in  $\Sigma$  col medesimo coefficiente. Uguali coefficienti avranno anche gli elementi  $\omega'', \omega''', \dots$ , se il circuito non passa fra  $\omega'$  ed  $\omega''$ , fra  $\omega''$  ed  $\omega'''$ , ...; e siccome in questo modo possiamo assumere successivamente tutti gli elementi di uno stesso spazio  $S$ , così tutti gli elementi di  $S$  entreranno in  $\Sigma$  con un coefficiente comune  $c$ . Ciò vuol dire che  $S$  entrerà in  $\Sigma$  col coefficiente  $c$ ; onde, se  $c_1, c_2, \dots$  sono i coefficienti analoghi per gli spazi  $S_1, S_2, \dots$ , avremo

$$\Sigma = c_1 S_1 + c_2 S_2 + \dots$$

intendendo che  $S_1, S_2, \dots$  esprimano anche le aree degli spazi rappresentati con questi simboli.

Ora siano  $\omega, \omega_1$  due elementi fra i quali il circuito passi una volta; e chi percorra il circuito nel senso dato, passando fra  $\omega$  ed  $\omega_1$ , abbia  $\omega$  alla destra ed  $\omega_1$  alla sinistra. Prendasi il polo  $O$  sul prolungamento della retta  $\omega, \omega_1 \dots$ ; allora, se  $X$  percorre quel tratto di circuito che passa fra  $\omega$  ed  $\omega_1$ , il raggio  $OX$  descriverà una volta  $\omega$  con rotazione positiva, senza descrivere  $\omega_1$ ; mentre, per tutte le altre parti del circuito, gli elementi  $\omega$  ed  $\omega_1$  saranno descritti simultaneamente e nello stesso senso. Dunque il coefficiente di  $\omega$  supererà di 1 quello di  $\omega_1$ ; ossia, se, passando da uno spazio ad un altro contiguo, si attraversa (una volta) il circuito da destra a sinistra (\*), il coefficiente del primo spazio supera di 1 quello dell'altro.

Alla regione infinita  $S_0$  compete il coefficiente zero; infatti, se  $\omega_0$  è un elemento situato fuori degli spazi  $S_1, S_2, \dots$ , è chiaro che si potrà dare al polo  $O$  una posizione tale che il raggio (finito)  $OX$  non passi mai per  $\omega_0$ , qualunque sia il punto  $X$  del circuito.

Ad uno spazio, dal quale si possa arrivare ad  $S_0$  attraversando

---

(\*) S'intende sempre da destra a sinistra di chi percorre il circuito nel senso dato: senso che nella figura è espresso da una freccia.

una sola volta il circuito, competerà il coefficiente  $+1$  o  $-1$ , secondo che il passaggio si faccia da destra a sinistra o da sinistra a destra. In generale, se da un punto di uno spazio  $S$  si tira una retta sino ad un punto di  $S_0$ , e se questa retta attraversa il circuito  $m$  volte da destra a sinistra ed  $n$  volte da sinistra a destra, il coefficiente di  $S$  sarà  $m - n$ .

22. Se il circuito non ha alcun nodo, avremo un solo spazio finito  $S$ , e ad esso spetterà il coefficiente  $+1$  o  $-1$ , secondo che il circuito si percorra positivamente (fig. 14) o negativamente (fig. 15): In questo caso avremo dunque

$$\Sigma = \pm S,$$

ossia: se il circuito non è intrecciato, la somma  $\Sigma$  non è altro che l'area dello spazio entr'esso compreso.

Questa proprietà suggerisce naturalmente di assumere la quantità  $\Sigma$  come definizione dell'area di un circuito intrecciato qualsivoglia (\*).

23. Un circuito intrecciato può essere decomposto in circuiti non intrecciati, e ciò col disgiungere gli angoli (curvilinei) formati dai rami che concorrono in ciascun nodo, senza però alterare i sensi (le direzioni delle frecce) de' rami medesimi. Veggansi per es. le fig. 16 e 17, in ciascuna delle quali un circuito intrecciato è decomposto in due circuiti ordinari, e la fig. 18, dove un circuito intrecciato si risolve in quattro circuiti ordinari. Allora gli spazi con coefficienti negativi si staccano affatto da quelli i cui coefficienti sono positivi; e di due spazi con coefficienti d'ugual segno, quello il cui coefficiente ha un valore assoluto maggiore riesce tutto compreso dentro all'altro. Cioè, indicato con  $S_r$  lo spazio il cui coefficiente è  $r$ , sarà  $S_r$  compreso entro  $S_1$ ;  $S_3$  compreso entro  $S_2$ , ...,  $S_{-2}$  entro  $S_{-1}$ , ...

Da ciò segue che l'area  $\Sigma$  si può ottenere come somma di spazi tutti aventi per coefficiente l'unità positiva o negativa. A tale uopo, basta che l'area  $S_r$  si prenda una volta da sè, isolata, e un'altra volta insieme coll'area  $S_{r-1}$ , entro la quale è contenuta, cioè si assumano gli spazi  $S_r$  ed  $S_{r-1} + S_r$ , invece di  $2S_r$  ed  $S_{r-1}$ , ecc. Vedi la fig. 18, dove l'area è

$$S_3 + (S_2 + S_3) + (S_1 + S_2 + S_3) - S_{-1} \quad (**).$$

(\*) MÖBIUS, *Ueber die Bestimmung des Inhalts eines Polyeders* (Rendiconti della Società delle scienze di Lipsia, 1865), § 13 e segg.

(\*\*) CULMANN, *Graphische Statik* (Zürich, 1866), N. 14.

Per area di un sistema di circuiti chiusi s'intende la somma (algebraica) delle aree de' singoli circuiti. Per es. l'anello compreso fra le due curve ovali della figura 19 è l'area dei circuiti  $ABC, A'C'B'$ ; invece l'area de' circuiti  $ABC, A'B'C'$  (fig. 20) è uguale all'anello più due volte l'area interna  $A'B'C'$ . In entrambi i casi si può sostituire ai due circuiti un circuito unico,  $AA'C'B'BCA$  (fig. 19) od  $AB'C'A'BCA$  (fig. 20), dove i punti  $B, B'$  s'intendano prossimi risp. ad  $A, A'$ . Nella fig. 21 i due circuiti s'intersecano; l'area de' circuiti  $ABC, A'B'C'$  equivale a quella de' circuiti  $AA'B'C, ABB'C'$ ; e nella fig. 22 l'area de' circuiti  $ABC, A'B'C'$  equivale a quella de' circuiti  $ABA'B', AC'A'CA$ . I due circuiti possono essere surrogati da un circuito unico.

**24. Teorema.** — Se i segmenti rettilinei  $A_1B_1, A_2B_2, A_3B_3, \dots, A_nB_n$ , dati di grandezza e posizione in un piano, sono equipollenti ai lati di un poligono (cioè di un circuito rettilineo chiuso, comunque intrecciato), la somma dei triangoli

$$OA_1B_1 + OA_2B_2 + OA_3B_3 + \dots + OA_nB_n$$

è costante, qualunque sia il punto  $O$ . Ma se i dati segmenti non sono equipollenti ai lati di un circuito chiuso, quella somma non si mantiene costante che pei punti  $O$  equidistanti da una retta determinata (\*).

*Dimostrazione.* — Si costruisca la spezzata  $CDE \dots MN$  i cui lati successivi  $CD, DE, \dots, MN$  siano equipollenti ai dati segmenti  $A_1B_1, A_2B_2, A_3B_3, \dots, A_nB_n$ ; così che le figure  $A_1B_1DC, A_2B_2ED, \dots, A_nB_nNM$  saranno parallelogrammi.

Siccome pel N° 15 si ha

$$OA_1B_1 = OCD - A_1CD,$$

$$OA_2B_2 = ODE - A_2DE,$$

$$\dots\dots\dots$$

$$OA_nB_n = OMN - A_nMN,$$

e pel teorema del N. 19

$$OCD + ODE + \dots + OMN + ONC = CDE \dots MNC,$$

così si otterrà addizionando

$$OA_1B_1 + OA_2B_2 + \dots + OA_nB_n = CDE \dots NC + OCN \\ - (A_1CD + A_2DE + \dots + A_nMN).$$

(\*) APOLLONIO, *Luoghi piani*, lib. I. — L'HUILIER, *Polygonometrie*, 1789, p. 92.  
— MÖBIUS, *Statik*, § 46.

Se i segmenti equipollenti ai dati formano un poligono chiuso, cioè se il punto  $N$  coincide con  $C$ , l'area  $OCN$  è nulla, epperò la somma

$$OA_1B_1 + OA_2B_2 + \dots + OA_nB_n$$

ha un valore indipendente dal punto  $O$ .

Se  $N$  non coincide con  $C$ , la detta somma si conserverà invariabile, finchè non cambi di area il triangolo  $OCN$ , ossia finchè il punto  $O$  conservi la stessa distanza dalla retta  $CN$ .

Cambiando questa distanza, si assuma il nuovo polo  $O'$ ; avremo

$$\begin{aligned} & O'A_1B_1 + O'A_2B_2 + \dots + O'A_nB_n \\ &= CDE \dots NC + O'CN - (A_1CD + A_2DE + \dots). \end{aligned}$$

Prendendo il punto  $O'$  ad una tal distanza da  $CN$ , che l'area del triangolo  $O'CN$  risulti uguale ad

$$A_1CD + A_2DE + \dots - CDE \dots NC,$$

sarà zero la somma

$$O'A_1B_1 + O'A_2B_2 + \dots + O'A_nB_n.$$

La retta (parallela a  $CN$ ) che è luogo dei punti  $O'$ , pei quali cotesta somma è nulla, si denoti con  $r$ . Se in essa s'intendesse preso il punto  $C$ , cioè l'origine arbitraria della spezzata  $CDE \dots$ , sarebbe nulla l'area  $O'CN$ , epperò la somma dei triangoli

$$A_1CD + A_2DE + \dots + A_nMN \dots$$

diverrebbe uguale all'area  $CDE \dots NC$ . Mantenuta questa scelta dell'origine  $C$ , cioè supposto che  $C$  sia un punto della retta  $r$ , per un punto qualsivoglia  $O$ , si avrà

$$OA_1B_1 + OA_2B_2 + \dots = OCN.$$

25. Nel caso particolare che i segmenti dati abbiano tutti l'origine comune  $C$ , la somma dei triangoli

$$A_1CD + A_2DE + \dots + A_nMN,$$

ossia:

$$CDE + \dots + CMN$$

è identica coll'area del poligono  $CDE \dots NC$  (N. 22); dunque l'origine comune  $C$  sarà eziandio un punto della retta  $r$ . Ciò torna a dire che in questo caso  $r$  coincide colla  $CN$ , che congiunge gli estremi della spezzata  $CDE \dots MN$ .

La stessa conclusione vale se i segmenti dati appartengono a rette tutte concorrenti in uno stesso punto  $C$ ; giacchè al triangolo  $OA_rB_r$  possiamo sostituire  $OCB'_r$ , quando i segmenti  $A_rB_r$  e  $CB'_r$  appartengano ad una stessa retta e siano uguali in grandezza e senso.

26. Da questa proprietà della retta  $r$ , pel caso che i segmenti dati appartengano a rette concorrenti in uno stesso punto, si cava una maniera di costruire la retta  $r$  anche nel caso generale, che i segmenti dati siano disposti comunque nel piano. Sia  $C$  il punto in cui s'incontrano  $A_1B_1$ ,  $A_2B_2$ ; e coll'origine  $C$  si costruisca il triangolo  $CDE$ , i cui lati  $CD$ ,  $DE$  siano equipollenti ad  $A_1B_1$ ,  $A_2B_2$ ; allora, per quello che or ora si è dimostrato, sarà (qualunque sia il polo  $O$ )

$$OCE = OA_1B_1 + OA_2B_2.$$

Sia ora  $P$  il punto in cui  $CE$  incontra  $A_3B_3$ ; e coll'origine  $P$  si costruisca il triangolo  $PQR$ , i cui lati  $PQ$ ,  $QR$  siano equipollenti a  $CE$ ,  $A_3B_3$ ; sarà:

$$\begin{aligned} OPR &= OCE + OA_3B_3 \\ &= OA_1B_1 + OA_2B_2 + OA_3B_3. \end{aligned}$$

E così di seguito, finchè da ultimo si giungerà ad un segmento  $AB$  tale che  $OAB = OA_1B_1 + OA_2B_2 + \dots + OA_nB_n$ .

Questo segmento  $AB$  apparterrà alla retta cercata  $r$ , e sarà equipollente alla  $CN$  che congiunge i termini della spezzata  $CDE \dots MN$ , avente i suoi lati ordinatamente equipollenti ai segmenti dati.

27. Siccome tutt' i punti  $O$ , pei quali la somma

$$OA_1B_1 + OA_2B_2 \dots + OA_nB_n$$

ha uno stesso valore, sono in una retta determinata (N. 24), così unica è la retta  $r$ , luogo dei punti  $O$  pei quali la predetta somma è nulla. Di qui consegue che, qualunque sia l'ordine col quale si prendono i segmenti dati nella costruzione che precede, si perverrà sempre ad una sola e medesima retta  $r$ .

## II.

### Addizione grafica.

28. Sommare geometricamente o comporre più segmenti 1, 2, 3, ...,  $n$ , dati in grandezza e direzione, significa costruire un circuito poligonale i cui lati siano ordinatamente equipollenti ai segmenti dati (fig. 23).



La retta  $S_{1,\dots,n}$ , che va dall'origine al termine del circuito così costruito, dicesi somma geometrica o risultante de' segmenti dati (\*); e questi diconsi le componenti di quella.

Se i segmenti dati sono tutti fra loro paralleli, il circuito poligonale si riduce ad una linea retta o punteggiata, i cui segmenti consecutivi 01, 12, 23, ... (fig. 24), ovvero 11, 22, 33, ... (fig. 25) sono ordinatamente equipollenti ai dati. In questo caso, la risultante de' segmenti dati coincide colla loro somma algebrica. Le due figure indicano due maniere di designare una serie di segmenti che si succedono consecutivamente in linea retta.

**29.** Dalla definizione ora esposta segue, che la risultante  $S_{1,\dots,n}$  degli  $n$  segmenti dati 1, 2, ...,  $n$  è identica colla risultante dei due segmenti  $S_{1,\dots,r}$ ,  $S_{r+1,\dots,n}$ , il primo de' quali sia la risultante dei primi  $r$  segmenti dati, ed il secondo sia la risultante degli  $n-r$  rimanenti. Infatti: le rette  $S_{1,\dots,n}$ ,  $S_{1,\dots,r}$  hanno l'origine comune col segmento 1; e le rette  $S_{1,\dots,n}$ ,  $S_{r+1,\dots,n}$  hanno il termine comune col segmento  $n$ ; dunque  $S_{1,\dots,n}$  comincia insieme con  $S_{1,\dots,r}$  e termina insieme con  $S_{r+1,\dots,n}$ . La fig. 26 corrisponde ad  $n=8$ ,  $r=5$ , cioè mostra che la risultante de' segmenti 1, 2, 3, 4, 5, 6, 7, 8 coincide colla somma geometrica di due sole componenti, una delle quali è la risultante de' segmenti 1, 2, 3, 4, 5, e l'altra è la risultante de' segmenti 6, 7, 8.

Di qui s'inferisce che, se si ripartono i segmenti dati (presi sempre consecutivamente, cioè nell'ordine dato) in un numero qualunque di gruppi, e se si compongono i segmenti in ciascun gruppo, le somme o risultanti parziali così ottenute saranno segmenti, la cui risultante sarà appunto la risultante di tutt'i segmenti dati.

**30.** La risultante di più segmenti dati è indipendente dalla posizione del punto che si assume come origine del circuito. Infatti, i circuiti che si costruirebbero con due origini diverse  $O$ ,  $O'$  sono figure uguali (congruenti) ed ugualmente poste, e la seconda si può ottenere facendo scorrere la prima in modo che ogni suo punto descriva una retta equipollente alla retta  $OO'$  (fig. 27).

**31. Teorema.** — La risultante  $S_{1,\dots,n}$  di più segmenti dati 1, 2, 3, ...,  $n$  è indipendente dall'ordine col quale si fa la composizione.

Cominciamo dal dimostrare che si possono fra loro scambiare due segmenti consecutivi, p. e. 3, 4 (fig. 28). Nell'ordine dato, la risul-

---

(\*) CHELINI, *Saggio di geometria analitica, trattata con nuovo metodo* (Roma, 1838), p. 35. — BELLAVITIS, *l. c.*, N. 5. — CULMANN, *l. c.*, p. 4.

tante di tutti i segmenti è anche la risultante delle tre risultanti parziali  $S_{1,2}$ ,  $S_{3,4}$ ,  $S_{5,\dots,n}$ . Nel nuovo ordine, la risultante di tutti i segmenti sarà analogamente la risultante delle risultanti parziali  $S_{1,2}$ ,  $S_{4,3}$ ,  $S_{5,\dots,n}$ . Ora  $S_{3,4}$  e  $S_{4,3}$  sono una stessa retta, diagonale del parallelogrammo che si ottiene conducendo prima due segmenti consecutivi equipollenti ai dati 3, 4, e poi, a partire dalla stessa origine, due altri segmenti consecutivi equipollenti agli stessi dati, scambiati di posto, 4', 3'. Dunque la permutazione de' segmenti 3, 4 non altera punto la risultante cercata.

Permutando fra loro, prima 3 con 4, poi 3 con 5, indi 5 con 4, l'effetto totale sarà d'avere scambiati fra loro 3 e 5 (fig. 29). In generale, lo scambio di due segmenti qualsivogliano non consecutivi si ottiene mediante scambi di segmenti consecutivi.

Dunque la risultante di più segmenti rimane inalterata se si scambiano fra loro due segmenti qualsivogliano; ossia la risultante è indipendente dall'ordine col quale i segmenti sono composti.

La fig. 30 mostra diversi circuiti formati cogli stessi segmenti, presi in diversi ordini, 12345, 13254, 15234.

**32.** Se coi segmenti dati si può formare un circuito chiuso, la stessa proprietà possederanno, in virtù del teorema che precede, tutti i circuiti che si ottengono mutando l'ordine di composizione. In questo caso, la risultante de' segmenti proposti è nulla.

Ossia, la risultante di più segmenti è nulla quando essi sono equipollenti ai lati di un poligono chiuso.

Il più semplice caso in cui la risultante è nulla è quello di due soli segmenti, l'uno de' quali sia equipollente all'altro preso in senso opposto.

**33.** Se fra i segmenti de' quali si domanda la risultante, ve ne sono alcuni coi quali si possa formare un poligono chiuso, tutti questi potranno essere ommessi senza alterazione della risultante cercata. Nella fig. 31 la risultante de' segmenti 1, 2, 3, 4, 5, 6, 7, 8, 9 coincide colla risultante de' segmenti 1, 2, 8, 9, perchè la risultante di 3, 4, 5, 6, 7 è zero.

**34.** Due serie di segmenti hanno risultanti uguali (equipollenti) quando, costruiti con una stessa origine il circuito corrispondente all'una e il circuito corrispondente all'altra, i termini de' due circuiti coincidano (fig. 32). Se si compongono i segmenti dell'una serie insieme coi segmenti dell'altra, presi in senso opposto, la risultante totale sarà zero.

**35.** Due serie di segmenti hanno risultanti uguali ed opposte di senso allorchè, costruiti i corrispondenti circuiti poligonali in modo

che l'origine del secondo cada nel termine del primo, anche il termine del secondo coincida coll'origine del primo. Componendo i segmenti dell'una serie insieme con quelli dell'altra, la risultante totale sarà nulla. Viceversa, se la risultante di più segmenti è nulla, componendo questi in due gruppi distinti, la risultante del primo gruppo sarà uguale ed opposta a quella del secondo.

**36.** La sottrazione non è un'operazione distinta dall'addizione. Sottrarre un segmento 1 da un segmento 2 significa comporre il segmento 2 con un segmento equipollente all'1 preso in senso opposto.

**37.** Se due serie di segmenti hanno risultanti uguali (equipollenti), aggiungendo o togliendo ad entrambe uno stesso segmento, si otterranno due nuove serie le cui risultanti saranno ancora uguali (equipollenti).

**38.** Dato un segmento  $AB$  (fig. 33) e data una retta  $r$ , se per  $A$  e  $B$  si conducono in una direzione fissata ad arbitrio due rette parallele sino a segare la  $r$  in due punti  $A'$ ,  $B'$ , questi punti  $A'$ ,  $B'$  diconsi proiezioni dei punti  $A$ ,  $B$ , ed il segmento  $A'B'$  dicesi proiezione del segmento  $AB$ . Le rette  $AA'$ ,  $BB'$  diconsi raggi proiettanti.

Le proiezioni di due segmenti equipollenti sono fra loro equipollenti (purchè non si cambi la direzione di  $r$ , nè quella de' raggi proiettanti).

**39.** Sia (fig. 34)  $ABC \dots MNA$  un circuito chiuso, ed  $A', B', C', \dots M', N'$  le proiezioni de' suoi vertici. Essendo  $A', B', \dots$  punti in linea retta, si ha (N° 4)  $A'B' + B'C' + \dots + M'N' + N'A' = 0$ ; dunque la somma delle proiezioni dei lati di un circuito chiuso è zero.

Siano  $A_1B_1, A_2B_2, \dots A_nB_n$ ,  $n$  segmenti dati in un piano, la cui risultante sia nulla; vale a dire,  $n$  segmenti che abbiano le grandezze e le direzioni dei lati di un poligono chiuso. Siccome le proiezioni dei lati di un poligono chiuso hanno la somma nulla, e siccome le proiezioni di due segmenti equipollenti sono uguali fra loro, così la somma delle proiezioni de' segmenti dati sarà zero.

Più segmenti dati ed un altro segmento, il quale sia uguale ed opposto alla risultante di quelli, costituiscono un sistema di segmenti, la cui risultante è nulla; per conseguenza:

La proiezione della risultante di più segmenti dati è uguale alla somma delle proiezioni de' segmenti dati medesimi.

Di qui si conclude tosto:

Se due serie di segmenti hanno risultanti uguali, la somma delle proiezioni de' segmenti dell'una serie sarà uguale alla somma delle proiezioni de' segmenti dell'altra serie.

40. Siano (fig. 35)  $A_1 B_1, A_2 B_2, \dots, A_n B_n$ ,  $n$  segmenti dati in un piano, la risultante de' quali sia nulla. Assunto un punto arbitrario  $O$ , si potrà considerare  $A_r B_r$  come risultante de' segmenti  $A_r O, OB_r$ ; dunque sarà nulla la risultante de' segmenti  $A_1 O, OB_1, A_2 O, OB_2, \dots, A_n O, OB_n$ ; vale a dire (N. 35) la risultante dei segmenti  $OA_1, OA_2, \dots, OA_n$  sarà uguale a quella de' segmenti  $OB_1, OB_2, \dots, OB_n$ .

Viceversa, dati due gruppi di  $n$  punti  $A_1, A_2, \dots, A_n, B_1, B_2, \dots, B_n$ , se la risultante delle rette  $OA_1, OA_2, \dots, OA_n$  che congiungono un polo  $O$  ai punti del primo gruppo è uguale alla risultante delle rette  $OB_1, OB_2, \dots, OB_n$  che dallo stesso polo vanno ai punti del secondo gruppo, sarà nulla la risultante de' segmenti  $A_1 B_1, A_2 B_2, \dots, A_n B_n$  che congiungono i punti dell'un gruppo con quelli dell'altro. (In quest'operazione si possono combinare affatto ad arbitrio i punti dell'un gruppo con quelli del secondo, purchè nessun punto sia tralasciato nè adoperato più d'una volta). Infatti, dall'ipotesi segue (N. 34) essere nulla la risultante de' segmenti  $A_1 O, A_2 O, \dots, A_n O, OB_1, OB_2, \dots, OB_n$ ; ma la risultante di  $A_r O$  ed  $OB_r$  è  $A_r B_r$ ; dunque sarà anche nulla la risultante dei segmenti  $A_1 B_1, A_2 B_2, \dots, A_n B_n$ .

41. Di qui segue, pel primo teorema (N. 39), che, assunto un nuovo polo  $O'$ , la risultante de' segmenti  $O'A_1, O'A_2, \dots, O'A_n$  sarà uguale alla risultante di  $O'B_1, O'B_2, \dots, O'B_n$ . Dunque (\*):

Se due gruppi di  $n$  punti  $A_1, A_2, \dots, A_n, B_1, B_2, \dots, B_n$  sono tali che, assunto un polo  $O$ , la risultante de' segmenti  $OA_1, OA_2, \dots, OA_n$  sia uguale a quella de' segmenti  $OB_1, OB_2, \dots, OB_n$ , la medesima uguaglianza avrà luogo per qualsivoglia altro polo  $O'$ . Inoltre sarà nulla la risultante degli  $n$  segmenti che congiungono i punti dell'un gruppo con quelli dell'altro, presi in ordine arbitrario.

42. Ritenuta l'ipotesi fatta pei due gruppi di  $n$  punti, si proiettino questi in  $A', A'_2, \dots, A'_n, B', B'_2, \dots, B'_n$  su di una retta  $r$ , mediante raggi paralleli ad una direzione fissata ad arbitrio. Preso

---

(\*) GRASSMANN, *Die Ausdehnungslehre* (Leipzig, 1844), p. 41.

il polo  $O$  nella retta  $r$  (\*), il raggio  $OA_r$  si può considerare come nato dalla composizione dei due  $OA'_r$ ,  $A'_rA_r$ , ecc.; dunque la risultante de' segmenti  $OA'_1$ ,  $OA'_2$ , ...,  $OA'_n$ ,  $A'_1A_1$ ,  $A'_2A_2$ , ...,  $A'_nA_n$  sarà uguale alla risultante di  $OB'_1$ ,  $OB'_2$ , ...,  $OB'_n$ ,  $B'_1B_1$ ,  $B'_2B_2$ , ...,  $B'_nB_n$ . Ma (N. 38) la risultante o somma de' segmenti  $OA'_1$ ,  $OA'_2$ , ...,  $OA'_n$  è uguale a quella de' segmenti  $OB'_1$ ,  $OB'_2$ , ...,  $OB'_n$ , perchè tutti questi segmenti sono le proiezioni di due serie d'altri segmenti, le cui risultanti sono uguali. Dunque:

Se due gruppi di  $n$  punti  $A_1A_2 \dots, A_n$ ,  $B_1B_2 \dots, B_n$  sono tali che, assunto un polo  $O$ , la risultante de' segmenti  $OA_1$ ,  $OA_2$ , ...,  $OA_n$  sia uguale alla risultante de' segmenti  $OB_1$ ,  $OB_2$ , ...,  $OB_n$ , e se si proiettano tutti quei punti sopra una medesima retta, con raggi paralleli ad una direzione scelta ad arbitrio, la somma de' raggi proiettanti i punti del primo gruppo sarà uguale alla somma de' raggi proiettanti i punti del secondo gruppo.

**43.** Fin qui abbiamo definita la risultante di più segmenti, tenendo conto solamente della grandezza, della direzione e del senso, non già della posizione assoluta. Daremo ora un'altra definizione più generale, che comprende in sè quella che precede (N. 28) e dà tutti gli elementi della retta risultante di  $n$  segmenti dati.

Dati (in grandezza, posizione e senso)  $n$  segmenti  $A_1B_1$ ,  $A_2B_2$ , ...,  $A_nB_n$ , per risultante de' medesimi intenderemo un segmento  $AB$  di tale grandezza, posizione e senso che, per qualsivoglia polo  $O$ , l'area  $OAB$  sia uguale alla somma delle aree  $OA_1B_1 + OA_2B_2 + \dots + OA_nB_n$  (N. 24, 27).

**44.** Per brevità di linguaggio diciamo che il triangolo  $OAB$  è il triangolo che da  $O$  proietta il segmento  $AB$ . Il senso  $AB$  di questo segmento indica il modo in cui è percorso il circuito  $OAB$ , epperò indica il segno dell'area  $OAB$ .

Ciò premesso, possiamo dire: che per risultante di più segmenti dati s'intende un segmento tale che l'area del triangolo che lo proietta da un polo arbitrario  $O$  sia uguale alla somma delle aree dei triangoli che dallo stesso polo proiettano i segmenti dati.

---

(\*) Veggasi la fig. 35, dove s'imagini trasportata la retta  $r$  in modo che i punti  $O$ ,  $O'$  vengano a coincidere insieme.

Siccome l'area del triangolo  $OAB$  non cambia se si fa scorrere il segmento  $AB$  sulla retta cui appartiene, così la risultante di più segmenti dati non cambia se questi scorrono arbitrariamente, ciascuno sulla retta cui appartiene.

45. Già dal teorema del N° 24 emerge che, se si costruisce un circuito poligonale  $CDE \dots MN$ , i cui lati  $CD, DE \dots, MN$  siano ordinatamente equipollenti alle date rette  $A_1B_1, A_2B_2, \dots, A_nB_n$ , il segmento  $NC$  sarà equipollente alla risultante  $AB$ . Se il circuito riesce chiuso, cioè se  $N$  cade in  $C$ , e se la somma delle aree  $OA_1B_1 + OA_2B_2 + \dots + OA_nB_n$  non è zero, la risultante cercata ha una grandezza nulla ed è situata a distanza infinita. Se il circuito è chiuso, e se inoltre è nulla la somma anzidetta, la risultante è nulla in grandezza e indeterminata di posizione; vale a dire, in questo caso la data serie di segmenti non ammette una risultante.

46. Ma se  $N$  non coincide con  $C$ , il problema è risoluto, in modo unico, da un segmento  $AB$  di grandezza finita e situato a distanza finita. Poichè già se ne conoscono grandezza, direzione e senso, per individuarne la posizione, basterà trovare un punto della retta di cui esso è parte. A quest'uopo potrà servire la costruzione del N° 26, ovvero la seguente, assai più semplice (fig. 36).

Si cominci dal costruire un circuito poligonale, i cui lati, che ora indicheremo coi numeri  $1, 2, \dots, n$ , siano ordinatamente equipollenti ai segmenti dati; la risultante sarà equipollente al segmento  $O$  rovesciato di senso, che chiude il circuito, cioè, sarà uguale ed opposta al segmento che dal termine del lato  $n$  va all'origine del lato  $1$ . Assunto ad arbitrio un punto  $U$ , da esso si conducano i raggi  $UV_{01}, UV_{12}, UV_{23}, \dots, UV_{n0}$  (\*) ai vertici del circuito: dove  $V_{i,i+1}$  indica il vertice che è termine del lato  $i$  (equipollente ad  $A_iB_i$ ) e origine del lato  $i+1$  (equipollente ad  $A_{i+1}B_{i+1}$ ).

Poi si costruisca un secondo circuito poligonale, i cui vertici  $1, 2, \dots, n$  cadano ordinatamente nelle rette cui appartengono i segmenti dati  $A_1B_1, A_2B_2, \dots, A_nB_n$ , ed i cui lati  $01, 12, \dots, n0$  siano ordinatamente paralleli ai raggi  $UV_{01}, UV_{12}, \dots, UV_{n0}$ . I lati estremi  $01, n0$ , prolungati opportunamente, si segheranno in un punto  $O$ , il quale dico appartenere alla retta risultante domandata (\*\*).

*Dimostrazione.* — Immagino il segmento  $A_1B_1$  decomposto in due, situati nei lati  $01, 12$  del secondo poligono ed equipollenti ai raggi  $V_{01}U, UV_{12}$  del primo. Poi immagino il segmento  $A_2B_2$  decomposto

(\*) Nella fig. 36 sono tralasciate tutte le lettere  $V, A, B$ ; ed è  $n=4$ .

(\*\*) CULMANN, l. c., N. 87.

del pari in due segmenti, situati nei lati 12, 23 del secondo poligono ed equipollenti ai raggi  $V_{12}U$ ,  $UV_{23}$ . E così di seguito, finchè da ultimo,  $A_nB_n$  venga decomposto in due segmenti situati nei lati  $n-1.n$ ,  $n0$  ed equipollenti ai raggi  $V_{n-1..n}U$ ,  $UV_{n0}$ .

Preso ad arbitrio un polo  $O$ , l'area del triangolo che da esso proietta uno de' segmenti dati, sarà uguale alla somma dei due triangoli che dallo stesso polo proiettano i due segmenti componenti; per conseguenza la risultante degli  $n$  segmenti dati  $A_1B_1$ ,  $A_2B_2$ , ...,  $A_nB_n$  coinciderà colla risultante dei  $2n$  segmenti componenti, ne' quali i dati sono stati decomposti. Ora, il primo di questi  $2n$  segmenti è situato in 01 ed equipollente a  $V_{01}U$ ; l'ultimo è situato in  $n0$  ed equipollente ad  $UV_{n0}$ ; mentre tutti gli altri, in numero di  $2(n-1)$ , sono due a due uguali, opposti e situati in uno stesso lato del secondo poligono. Per es. il secondo e il terzo de' segmenti componenti giacciono nel lato 12, e sono rispettivamente equipollenti ad  $UV_{12}$  ed a  $V_{12}U$ .

Le aree dei due triangoli che da  $O$  proiettano questi due segmenti sono uguali opposte; perciò la risultante de' segmenti dati non è altro che la risultante de' due segmenti componenti, primo ed ultimo, l'uno situato in 01 ed equipollente a  $V_{01}U$ ; l'altro situato in  $n0$  ed equipollente ad  $UV_{n0}$ . Ma la retta risultante di due segmenti passa pel punto comune alle rette cui questi appartengono (N. 25); dunque la risultante cercata passa pel punto comune ai lati estremi 01,  $n0$  del secondo poligono.

47. Se il punto  $U$  fosse stato preso in linea retta coi punti estremi  $V_{01}$ ,  $V_{n0}$  del primo circuito; sarebbero riusciti coincidenti i raggi estremi  $UV_{01}$ ,  $UV_{n0}$ , epperò paralleli i lati estremi 01,  $n0$  del secondo poligono. In questo caso adunque la costruzione non dà un punto a distanza finita della risultante domandata. Ma si rimedierebbe tosto a siffatto inconveniente, assumendo un nuovo punto  $U'$ , fuori della retta  $V_{01}$ ,  $V_{n0}$ , e quindi procedendo com'è detto sopra.

48. Se non che, può accadere (fig. 37) che il punto  $V_{n0}$  coincida con  $V_{01}$ ; e allora, qualunque sia il punto  $U$ , i raggi estremi sono sovrapposti l'uno all'altro, epperò i lati 01,  $n0$  o saranno paralleli, o saranno coincidenti. Se sono paralleli, la somma  $OA_1B_1 + OA_2B_2 + \dots$  sarà uguale alla somma di due triangoli aventi il vertice in  $O$ , e le basi situate nei predetti lati 01,  $n0$  ed equipollenti ai raggi uguali ed opposti  $V_{01}U$ ,  $UV_{01}$ ; ossia (N° 15) uguale alla metà di un parallelogrammo, due lati opposti del quale siano codeste basi medesime. In questo caso la risultante è nulla e situata a distanza infinita.

49. Invece (fig. 38) se i lati  $OA_1$ ,  $n0$  coincidano, cioè se coincidono i lati opposti del parallelogrammo, la somma  $OA_1B_1 + OA_2B_2 + \dots$  è nulla. In questo caso, uno qualunque de' segmenti dati, rovesciato di senso, è la risultante degli altri  $n-1$  segmenti.

50. Suppongansi (fig. 39) i dati segmenti  $A_1B_1, A_2B_2, \dots$  tutti paralleli fra loro. In questo caso, il primo circuito poligonale  $V_{01}, V_{12}, V_{23}, \dots, V_{n0}$  si riduce ad una linea retta; ma del resto la costruzione del secondo poligono rimane la stessa come nel caso generale. La risultante è parallela alle componenti.

51. Se i segmenti sono due soli,  $A_1B_1, A_2B_2$ , la costruzione può ridursi alla seguente (fig. 40 e 41). Nella retta indefinita  $A_1B_1 \dots$  prendasi un segmento  $CD$  equipollente ad  $A_2B_2$ , e nella retta indefinita  $A_2B_2 \dots$  un segmento  $C'D'$  equipollente ad  $A_1B_1$ . Il punto  $O$  comune alle  $CD, C'D'$  apparterrà alla risultante, che si cerca. Infatti, conducasi  $D'E$  parallela a  $C'D$  e congiungansi  $O, E$ . Allora  $C, D, E$  rappresentano i vertici  $V_{01}, V_{12}, V_{20}$  del primo circuito, ed  $O$  fa le veci del punto  $U$ ; i punti  $D', E$  sono i vertici 1, 2 del secondo poligono, che qui è il triangolo  $ODE$ ; ed  $O$  rappresenta anche il punto di concorso de' lati estremi di questo secondo poligono medesimo.

Dai triangoli simili  $OCD, OD'C$  si ha:

$$\begin{aligned} OC' : OD &= C'D' : DC \\ &= A_1B_1 : A_2B_2, \end{aligned}$$

vale a dire: la risultante di due segmenti paralleli ha da essi distanze, il cui rapporto è reciproco di valore e opposto di segno a quello dei segmenti componenti.

### III.

#### Moltiplicazione.

52. Moltiplicare una retta  $a$  pel rapporto di due altre rette  $b : c$  significa trovare una quarta retta  $x$  in modo che sussista la proporzione geometrica:

$$c : b = a : x$$



A quest'uopo basta costruire due triangoli  $OLM$ ,  $O'PQ$  simili, de' quali

il primo abbia due linee (due lati, ovvero base e altezza, ecc.), uguali o proporzionali a  $c$ ,  $b$ ; ed il secondo abbia la linea  $a$  omologa a  $c$ ; sarà allora  $x$  la linea del secondo triangolo omologa a  $b$ ; ovvero

il primo abbia due linee uguali o proporzionali a  $c$ ,  $a$ ; ed il secondo la linea  $b$  omologa a  $c$ ; sarà allora  $x$  la linea del secondo triangolo omologa ad  $a$ .

53. La collocazione rispettiva de' due triangoli è del tutto arbitraria; e il fare una scelta o un'altra può dar luogo a diverse costruzioni. La scelta è per lo più suggerita dalla posizione in cui sono dati i segmenti  $a$ ,  $b$ ,  $c$ , o da quella nella quale si vuol ottenere  $x$ .

a) Per es. nella fig. 42 i due triangoli hanno l'angolo  $O$  comune e i lati opposti paralleli. Se in essa s'intende che  $OP$ ,  $OM$ ,  $OL$  rappresentino i segmenti  $a$ ,  $b$ ,  $c$ , sarà  $OQ = x$ . Se invece  $OL = c$ ,  $OP = a$ ,  $LM = b$ , sarà  $PQ = x$ .

b) Invece nella fig. 43 i lati opposti all'angolo comune  $O$  sono antiparalleli, cioè sono uguali gli angoli  $OML$ ,  $OQP$  (epperò uguali anche  $OLM$ ,  $OPQ$ ).

c) Possono essere (fig. 44)  $c$  ed  $a$  le altezze dei due triangoli; supposto ancora essere  $b$  un lato  $OM$  od  $LM$  del primo, sarebbe  $OQ$  o  $PQ = x$ .

d) Oppure siano  $c$  ed  $a$  rappresentati da  $OL$ ,  $OP$  o da  $OM$ ,  $OQ$ ; e sia  $b$  l'altezza del triangolo  $OLM$ ; sarà  $x$  l'altezza dell'altro  $OPQ$ .

e) Se (fig. 45) le linee  $OM = b$ ,  $O'P = a$  sono ortogonalmente disposte, e se  $c > b$ , si può procedere nel modo seguente. Costruiscasi il triangolo  $OLM$ , il cui lato  $LM$  sia parallelo ad  $O'P$ , mentre l'ipotenusa  $OL$  sia  $= c$ . Condotta  $PQ$  parallela ad  $OL$  ed  $O'Q$  perpendicolare a  $PQ$ , i triangoli rettangoli  $OLM$ ,  $O'PQ$  sono simili a cagione degli angoli uguali  $L$ ,  $P$ . Dunque  $O'Q = x$ . — La retta  $O'Q$ , proiezione ortogonale di  $O'P$  sopra una retta perpendicolare ad  $OL$ , dicesi antiproiezione di  $O'P$  sopra  $OL$ . Dunque, se  $a$  e  $b$  sono ortogonali,  $x$  è l'antiproiezione di  $a$  sopra  $c$ .

54. Dividere una retta  $a$  pel rapporto di due altre rette  $b$ ,  $c$ , significa moltiplicare  $a$  pel rapporto  $c:b$ .

Dividere una retta  $a$  in  $n$  parti uguali equivale a moltiplicare  $a$  per  $c:b$ , dove  $c$  sia un segmento arbitrario e  $b$  sia uguale a  $c$  ripetuto  $n$  volte.

Se una retta  $b$  dev'essere divisa in parti proporzionali a dati segmenti  $a_1, a_2, a_3, \dots, a_n$  di una medesima retta, basterà moltiplicare questi segmenti pel rapporto  $b : c$ , dove sia  $c = a_1 + a_2 + \dots + a_n$  (N. 56).

55. Da un centro o polo  $O$  (fig. 46) si conducano raggi vettori che successivamente formino tra loro un angolo costante  $\omega$ , e le cui lunghezze siano in progressione aritmetica

$$a, a+b, a+2b, a+3b, \dots$$

I termini  $M, M_1, M_2, M_3, \dots$  saranno punti di una curva, detta spirale di ARCHIMEDE; di quella curva che sarebbe descritta da un punto  $M$  che si muovesse uniformemente sul raggio  $OM$ , mentre questo rotasse intorno ad  $O$ ; del pari con velocità costante, in modo che  $M$  percorra lo spazio rettilineo  $b$  nello stesso tempo in cui il raggio  $OM$  descrive l'angolo  $\omega$ .

Prendendo l'angolo  $\omega$  assai piccolo, si otterranno punti abbastanza vicini per poter tracciare la curva con quell'approssimazione che si può desiderare in pratica.

Delineata la spirale d'ARCHIMEDE, per mezzo di essa si riduce il problema della divisione di un angolo a quello della divisione di una retta. Infatti, tirati due raggi vettori, i quali comprendano fra loro l'angolo che si vuol dividere in  $n$  parti proporzionali a rette date, basterà dividere in  $n$  parti proporzionali alle stesse grandezze la differenza de' raggi vettori; e le distanze da  $O$  agli  $n-1$  punti di divisione saranno le lunghezze degli  $n-1$  raggi vettori da inserirsi fra i due primi, per ottenere la divisione dell'angolo. La fig. 46 presenta la divisione dell'angolo  $MOM_5$ , in cinque parti uguali (\*).

56. Se più segmenti  $AB, AC, \dots, BC, \dots$  di una retta  $u$  devono essere moltiplicati per un rapporto costante  $b : c$ , si tratterà di trovare una serie di punti  $A', B', C', \dots$  di un'altra retta  $u'$ , in modo che sussistano le eguaglianze

$$\frac{A'B'}{AB} = \frac{A'C'}{AC} = \dots = \frac{B'C'}{BC} = \dots = \frac{b}{c};$$

Le rette  $u, u'$  diconsi punteggiate simili; ed i punti  $A$  ed  $A', B$  e  $B', \dots$ , come pure i segmenti  $AB$  ed  $A'B', \dots$  diconsi corrispondenti.

57. Se le  $u, u'$  sono parallele (fig. 47), le congiungenti  $AA', BB', CC', \dots$  concorreranno in un punto fisso  $O$  (centro di proiezione). Se per es. si fa  $AB = c, A'B' = b$ , le  $AA', BB'$  incontrandosi danno il punto  $O$ ; e allora ogni raggio condotto per  $O$  segnerà  $u, u'$  in due punti corrispondenti.

---

(\*) PAPPUS, *Collectiones mathematicae*.

58. Se le  $u, u'$  non sono parallele (fig. 48) e se il punto ad esse comune rappresenta due punti corrispondenti sovrapposti  $A, A'$ , le rette  $BB', CC', \dots$  saranno tutte fra loro parallele. Si troverà la direzione comune di queste parallele, assumendo per es.  $AB = c, A'B' = b$ ; allora, ogni raggio parallelo a  $BB'$  segnerà le  $u, u'$  in due punti corrispondenti.

59. Finalmente, se (fig. 49) le  $u, u'$  non sono parallele, e se il loro punto comune fa le veci di due punti  $P, Q$  non corrispondenti, le rette  $AA', BB', CC', \dots$  saranno tangenti di una stessa parabola. Se per es. si fa  $PQ = c, P'Q' = b$ , la parabola sarà determinata dal dover toccare  $u$  in  $Q$  ed  $u'$  in  $P'$ . Ogni tangente di questa parabola segnerà  $u, u'$  in due punti corrispondenti.

Per ottenere coppie di punti corrispondenti, come  $A$  ed  $A', B$  e  $B', \dots$  basta condurre dai vari punti  $A'', B'', \dots$  della  $P'Q$  le  $A''A, B''B, \dots$  parallele ad  $u'$  e le  $A''A', B''B', \dots$  parallele ad  $u$ . Infatti si ha manifestamente

$$\frac{A'B'}{A''B''} = \frac{P'Q'}{P'Q}, \quad \frac{AB}{A''B'} = \frac{PQ}{P'Q},$$

opporò

$$\frac{A'B'}{AB} = \frac{P'Q'}{PQ} = \frac{b}{c}.$$

Se si vuol evitare di condurre rette parallele (\*), basta (fig. 50) supporre date due tangenti della parabola ossia due rette  $u', u''$ , sulle quali siano segnate due punteggiate simili (o uguali)  $A'B'C'D'E' \dots, A''B''C''D''E'' \dots$ , in modo che il punto comune alle due rette rappresenti due punti non corrispondenti  $E', B''$ ; e che il segmento  $B'E'$  di  $u'$  (compreso fra la parabola e la  $u''$ ) sia uguale al denominatore  $c$  del rapporto dato. Allora, volendosi moltiplicare i segmenti di  $u'$  pel rapporto  $b:c$ , si alloggerà la lunghezza  $BE = b$  fra le  $u', u''$ , in guisa ch'essa congiunga due punti corrispondenti  $A', A''$ . Le rette  $C'C'', D'D'', \dots$ , che uniscono punti corrispondenti di  $u', u''$ , determineranno sopra  $BE$  i segmenti cercati

$$\begin{aligned} BC : CD : DE : BE = \\ B'C' : C'D' : D'E' : B'E'. \end{aligned}$$

Per es., se si trattasse di dividere una data lunghezza  $BE$  in  $n$  parti uguali, si condurrebbe da  $B$  la retta  $u'$  e su di essa si prenderebbero  $n+1$  segmenti uguali  $A'B' = B'C' = C'D' = D'E'$ ; indi congiunti i punti  $E, E'$ , sulla congiungente  $u''$  si prenderebbero del pari gli  $n+1$  segmenti  $EE' = A''B'' = B''C'' = C''D'' = D''E''$ . Le  $n+1$  rette  $C'C'', D'D'', \dots$  incontreranno  $BE$  ne' punti di divisione domandati  $C, D, \dots$ .

**60. Problema.** — Siano (fig. 51)  $a_1, a_2, \dots, a_n$ ,  $n$  segmenti dati in grandezza, direzione e senso, i quali debbano essere ordinatamente moltiplicati pei rapporti  $b_1 : c_1, b_2 : c_2, \dots, b_n : c_n$ .

Si costruisca un circuito poligonale  $P_n$  i cui lati siano ordinatamente

---

(\*) COUSINERY, *Le calcul par le trail* (Paris, 1840), p. 20. Per un altro metodo di risolvere questo problema veggasi SACHERI, *Sul tracciamento delle punteggiate proiettive simili* (Atti dell'Accademia di Torino, novembre 1873).

equipollenti ai dati segmenti  $a_1, a_2, \dots$ ; denominiamo  $1, 12, 23, \dots, n-1, n$ ,  $n$  i suoi vertici successivi, cominciando dall'origine del primo lato  $a_1$ , e terminando col secondo estremo dell'ultimo lato  $a_n$ .

Poi si costruiscano due altri circuiti  $P_c$  e  $P_{ac}$ ; il primo de' quali sia formato dalle  $n$  rette  $1, 2, \dots, n$  ordinatamente parallele ai lati di  $P_a$  e aventi da essi in una direzione costante (\*) le distanze  $c_1, c_2, \dots, c_n$ ; ed il secondo abbia i vertici  $1, 2, \dots, n$  ordinatamente situati ne' lati di  $P_c$ , ed i lati  $1, 12, 23, \dots, n-1, n$ ,  $n$  (\*\*) passino rispettivamente pei vertici omonimi di  $P_a$ . L'insieme dei tre circuiti  $P_a, P_c, P_{ac}$  si dirà prima figura.

Ora si costruisca una seconda figura, composta in modo analogo da tre circuiti,  $P_x, P_b, P_{xb}$ , sotto le condizioni seguenti:

1° i lati di  $P_x$  siano ordinatamente paralleli ai lati di  $P_a$ ; i lati di  $P_b$  a quelli di  $P_c$  (epperò a quelli di  $P_a$  e  $P_x$ ); i lati di  $P_{xb}$  a quelli di  $P_{ac}$ ;

2° i lati  $1, 2, \dots, n$  di  $P_b$  abbiano dai lati omonimi di  $P_x$ , nella direzione costante che sopra fu fissata ad arbitrio, le distanze  $b_1, b_2, \dots, b_n$  (\*\*);

3° i vertici  $1, 2, \dots, n$  di  $P_{xb}$  cadano ordinatamente ne' lati omonimi di  $P_b$ ; ed i lati  $1, 12, 23, \dots, n-1, n$ ,  $n$  di  $P_{xb}$  passino ordinatamente pei vertici omonimi di  $P_x$ .

Per costruire la seconda figura si potrà, a cagione d'esempio, procedere nel modo seguente. Si assuma ad arbitrio il vertice 1 di  $P_x$  e da esso si conducano due rette rispettivamente parallele al lato  $a_1$  di  $P_a$  ed al lato 1 di  $P_{ac}$ : esse individueranno le posizioni del lato 1 di  $P_x$  e del lato 1 di  $P_{xb}$ . Se ora si conduce alla distanza  $b_1$  dal lato 1 di  $P_x$  una retta parallela a questo lato, essa sarà il primo lato di  $P_b$ ; ed il punto ov'esso incontra il lato 1 di  $P_{xb}$  sarà il vertice 1 di  $P_{xb}$ . Da questo punto si conduca (parallelamente al lato 12 di  $P_{ac}$ ) il lato 12 di  $P_{xb}$ , e nell'intersezione col lato 1 di  $P_x$  si avrà il vertice 12 di  $P_x$ . Di qui si tirerà il lato 2 di questo stesso poligono  $P_x$ , nella direzione del segmento  $a_2$ ; e condotto nella

(\*) Che può essere fissata ad arbitrio, purchè non coincida con quella di alcun segmento  $a$ . Secondo che  $c_r$  sia positivo o negativo, si condurrà la retta  $r$  a destra o a sinistra di chi percorra  $a_r$  nel senso proprio di questo segmento.

(\*\*) Il lato 1 è quello che precede il vertice 1; il lato 12 unisce i vertici 1, 2; .....; il lato  $n$  vien dopo il vertice  $n$ . Per costruire questo poligono si può prendere ad arbitrio il lato 1, purchè passi pel vertice 1 di  $P_a$ .

(\*\*\*) Anche qui, secondo che  $b_r$  sia positivo o negativo, si condurrà il lato  $r$  a destra o a sinistra di chi percorra  $x_r$  nel senso proprio di questo segmento.

stessa direzione, alla distanza  $b_2$ , il lato 2 di  $P_b$ , il punto di concorso col lato 12 di  $P_{xb}$  sarà il vertice 2 di  $P_{xb}$ . E così di seguito.

Il poligono  $P_x$ , i cui lati chiameremo  $x_1, x_2, \dots, x_n$ , dà il chiesto risultato della moltiplicazione proposta. Infatti, il triangolo che ha per base  $x_r$  e il vertice opposto nel vertice  $r$  di  $P_{xb}$  è simile (a cagione del parallelismo dei lati) al triangolo della prima figura, la cui base è  $a_r$  e il cui vertice opposto è il vertice  $r$  di  $P_{ac}$ . Le dimensioni di questi triangoli nella direzione costante sono  $b_r, c_r$ , dunque

$$x_r : a_r = b_r : c_r ,$$

donde

$$x_r = a_r \frac{b_r}{c_r} .$$

**61.** Quanto al senso del segmento  $x_r$ , osserviamo che, se  $c_r, b_r$  sono dello stesso senso, i due triangoli sono similmente posti, cioè i vertici  $r$  giacciono entrambi a destra o entrambi a sinistra della base opposta rispettiva ( $a_r$  od  $x_r$ ); invece, se  $c_r, b_r$  sono di senso opposto, i due triangoli hanno giacitura inversa. Perciò i segmenti  $a_r, x_r$  hanno nel primo caso lo stesso senso; nel secondo hanno sensi opposti.

Di qui consegue che i segmenti  $x$  sono disposti consecutivamente, con riguardo al senso, cioè nel modo che è richiesto dalla composizione geometrica. Dunque la loro risultante, ossia la risultante dei segmenti  $a_r \frac{b_r}{c_r}$ , sarà in grandezza, direzione e senso, la retta che chiude il contorno poligonale  $P_x$  (la retta che dall'origine di  $x$ , va al termine di  $x_n$ ).

**62. Casi particolari.** — I segmenti  $a$  siano tutti paralleli (fig. 52); allora ciascuno de' circuiti  $P_a, P_x$  si riduce ad una retta punteggiata; e ciascuno de' circuiti  $P_c, P_b$  diviene un fascio di raggi paralleli. Vale a dire, la costruzione si riduce a quel che segue:

Si portino i segmenti  $01 = a_1, 12 = a_2, 23 = a_3, \dots$  consecutivamente in una retta  $a$ ; parallelamente ad essa ed alle distanze  $c_1, c_2, \dots, c_n$  (misurate in una direzione costante, arbitraria purchè diversa da quella di  $a$ ) si conducano altrettante rette  $1, 2, \dots, n$ , che considereremo come raggi di un fascio, il cui centro è a distanza infinita; e si tracci un circuito poligonale i cui vertici  $1, 2, \dots, n$  cadano ne' raggi paralleli omonimi, ed i cui lati  $01, 12, 23, \dots, n-1, n$  passino pei punti corrispondenti  $0, 1, 2, \dots$

$n - 1$ ,  $n$  della punteggiata  $a$  (cioè pei punti che limitano i segmenti  $a_1, a_2, \dots, a_n$ ).

Poi si costruisca la seconda figura, tracciando un fascio di raggi  $1, 2, \dots, n$  paralleli ad  $a$  ed aventi da una retta  $x$  (pure parallela ad  $a$ ) ordinatamente le distanze  $b_1, b_2, \dots, b_n$ ; e delineando un circuito i cui lati siano ordinatamente paralleli ai lati del primo poligono, ed i cui vertici cadano sui raggi del secondo fascio. I segmenti  $01, 12, 23, \dots$  di  $x$  compresi fra i lati successivi di questo nuovo poligono saranno rispettivamente uguali ad

$$x_1 = a_1 \frac{b_1}{c_1}, \quad x_2 = a_2 \frac{b_2}{c_2}, \quad x_3 = a_3 \frac{b_3}{c_3}, \dots$$

ed il segmento compreso fra il lato  $r - 1 . r$  ed il lato  $s . s + 1$  sarà:

$$\sum_{i=r}^{i=s} x_i = \sum_{i=r}^{i=s} a_i \frac{b_i}{c_i} \dots (*)$$

Nel caso qui considerato, dall'osservazione fatta riguardo al senso del segmento  $x_r$ , si deduce tosto che due segmenti  $x_r, x_s$  avranno lo stesso senso o sensi opposti, secondo che fra le tre coppie  $a_r, a_s, b_r, b_s, c_r, c_s$ , ve ne sia un numero pari (zero o due) o un numero dispari (una o tre) che sian formate da segmenti di senso opposto. Ciò si accorda colla regola de' segni nella moltiplicazione algebrica.

63. Se, oltre ad essere le  $a$  tutte parallele, fossero le  $c$  tutte uguali fra loro, il primo fascio si ridurrebbe ad una retta unica, epperò tutti i vertici del primo circuito verrebbero a coincidere in un solo punto di cotesta retta; vale a dire, il primo poligono degenererebbe in un fascio di raggi uscenti da un punto  $O$ , situato alla distanza  $c$  dalla retta  $a$ .

In questo caso il problema può enunciarsi così:

Ridurre i prodotti dati

$$a_1 b_1, a_2 b_2, \dots, a_n b_n$$

alla base costante  $c$ , determinando i segmenti ad essi proporzionali

$$x_1, x_2, \dots, x_n.$$

E la soluzione sarebbe adunque (fig. 53) la seguente: formisi la retta punteggiata  $a$ , i cui segmenti consecutivi siano  $01 = a_1, 12 = a_2, \dots$ ,

(\*) JAEGER, *Das graphische Rechnen* (Speyer, 1867), p. 15.

$n-1, n = a_n$ ; e proiettinsi i punti  $0, 1, 2, \dots, n-1, n$  della punteggiata medesima mediante raggi uscenti da un punto  $O$  preso alla distanza  $c$  dalla retta  $a$ ; dove la distanza può essere normale od obliqua ad arbitrio. Poi costruiscasi un fascio di raggi  $1, 2, \dots, n$  paralleli ad  $a$  e aventi, nella direzione di  $c$ , le distanze  $b_1, b_2, \dots, b_n$  da una retta  $x$  parallela anch'essa ad  $a$ . Finalmente si delinei un poligono i cui vertici cadano ordinatamente sui raggi paralleli  $1, 2, \dots, n$  anzidetti, e i cui lati  $01, 12, 23, \dots, n-1, n, n$  siano ordinatamente paralleli ai raggi  $00, 01, 02, \dots, 0n-1, 0n$  del fascio  $O$ . I segmenti  $01, 12, 23, \dots$  che i lati di questo poligono determinano sulla retta  $x$  saranno i segmenti  $x_1, x_2, x_3, \dots$  domandati (\*).

64. Se, invece delle  $c$ , fossero le  $b$  tutte uguali fra loro, oltre ad essere parallele le  $a$ , il problema si potrebbe enunciare così:

Dati i rapporti

$$\frac{a_1}{c_1}, \frac{a_2}{c_2}, \dots, \frac{a_n}{c_n}$$

determinare i segmenti

$$x_1, x_2, \dots, x_n$$

ad essi proporzionali: essendo  $b$  il segmento costante che risulta dalla moltiplicazione di  $x$  pel corrispondente rapporto  $\frac{c}{a}$ .

Costruita la punteggiata  $a$  (fig. 54) coi segmenti  $01 = a_1, 12 = a_2, \dots, n-1, n = a_n$ , ed il fascio di raggi  $1, 2, \dots, n$  paralleli alla retta  $a$  ed aventi da essa (in direzione costante) rispettivamente le distanze  $c_1, c_2, \dots, c_n$ , si delinei un circuito poligonale i cui vertici  $1, 2, \dots, n$  cadano ordinatamente su questi raggi e i cui lati  $1, 12, 23, \dots, n-1, n, n$  passino pei punti omonimi della punteggiata  $a$ . Poi si costruisca un secondo fascio di raggi, i quali siano ordinatamente paralleli ai lati del contorno poligonale ed escano da un punto  $O$ , fissato ad arbitrio: da ultimo si seghi il secondo fascio con una retta  $x$  parallela ad  $a$  ed avente da  $O$  la distanza  $b$ , nella direzione delle  $c$ . I segmenti  $01, 12, 23, \dots$ , così ottenuti sulla  $x$  saranno i domandati.

A questo problema si riduce in sostanza la trasformazione di più frazioni date

$$\frac{a_1}{c_1}, \frac{a_2}{c_2}, \dots, \frac{a_n}{c_n}$$

(\*) CULMANN, l. c., p. 22 e 23.

in altre equivalenti

$$\frac{x_1}{b}, \frac{x_2}{b}, \dots, \frac{x_n}{b}$$

aventi uno stesso denominatore dato  $b$ .

**65. Problema.** — Moltiplicare una retta  $a$  pei rapporti

$$\frac{b_1}{c_1}, \frac{b_2}{c_2}, \dots, \frac{b_n}{c_n},$$

Si traccino (fig. 55) due rette od assi  $bb, cc$ , che si seghino in  $O$  sotto un angolo qualunque. A partire dall'origine  $O$  si portino sul primo asse i segmenti  $b$  e sul secondo i segmenti  $c$ , onde risultino:

nel primo asse:  $O1 = b_1, O2 = b_2, \dots, On = b_n,$

e nel secondo:  $O1 = c_1, O2 = c_2, \dots, On = c_n.$

Congiungansi i punti omonimi de' due assi, cioè 1 con 1, 2 con 2, ecc. e, parallelamente alle congiungenti, tirinsi per  $O$  altrettante rette  $l_1, l_2, \dots, l_n$ , indicate nella figura coi soli indici numerici.

Due segmenti  $b_r, c_r$ , affetti dallo stesso indice, insieme colla congiungente  $rr$  de' loro termini, comprendono un triangolo. A ciascuno di tali triangoli se ne costruisca uno simile, nel quale i due lati corrispondenti a  $c_r, rr$  si spicchino da  $O$  e giacciono rispettivamente in  $cc, l_r$ ; il terzo lato, corrispondente a  $b_r$  e parallelo a  $bb$ , dicasi  $a_r$ . Per compiere la determinazione di questi nuovi triangoli, basterà fissarne un lato, quello che giace in  $cc$ ; sia esso uguale ad  $a$  nel primo triangolo, uguale ad  $a_1$  nel secondo, ad  $a_2$  nel terzo..., ad  $a_{n-1}$  nell'ultimo. Dico che  $a_n$ , cioè quel lato dell'ultimo triangolo che è parallelo a  $bb$ , sarà il risultato della moltiplicazione che si doveva fare.

Infatti, confrontando l' $r$ -esimo triangolo della seconda serie, i cui lati paralleli a  $cc, bb$  sono  $a_{r-1}, a_r$ , col triangolo simile della prima serie, i cui lati corrispondenti sono  $c_r, b_r$ , si ha

$$\frac{a_r}{a_{r-1}} = \frac{b_r}{c_r},$$

ossia

$$\frac{a_1}{a} = \frac{b_1}{c_1}, \quad \frac{a_2}{a_1} = \frac{b_2}{c_2}, \quad \frac{a_3}{a_2} = \frac{b_3}{c_3}, \quad \dots, \quad \frac{a_n}{a_{n-1}} = \frac{b_n}{c_n}.$$

3 CREMONA, *Elem. di calcolo grafico.*



Moltiplicando fra loro queste uguaglianze si ha:

$$a_n = a \cdot \frac{b_1}{c_1} \cdot \frac{b_2}{c_2} \cdot \frac{b_3}{c_3} \cdot \dots \cdot \frac{b_n}{c_n}, \text{ c. d. d.}$$

66. Dimostriamo ora che il risultato non è alterato se si scambiano tra loro due fattori, per es.  $\frac{b_1}{c_1}$  e  $\frac{b_2}{c_2}$ . Se si prendono questi

fattori nell'ordine  $\frac{b_1}{c_1}, \frac{b_2}{c_2}$ , le costruzioni saranno le seguenti (fig. 56): su  $cc$  prendasi  $OA = a$ ; da  $A$  tirisi la parallela a  $bb$  sino a raggiungere  $l_1$  in  $A_1$ ; il segmento  $AA_1 = a_1$  si porti su  $cc$ , cioè si faccia  $OA_1 = a_1$ , e da questo nuovo punto  $A_1$  si guidi la parallela a  $bb$  sino ad incontrare  $l_2$  in  $A_2$ ; il segmento  $A_1A_2$  così ottenuto sarà  $a_2$ .

Invece, se i fattori si prendono nell'ordine  $\frac{b_2}{c_2}, \frac{b_1}{c_1}$ , si procederà come segue: dopo aver preso  $OA = a$ , come dianzi, e condotta per  $A$  la parallela a  $bb$ , si termini questa sulla  $l_2$  in  $A_2$  e dicasi  $a'$  il segmento così ottenuto; poi facciasi in  $cc$  la  $OA_2 = a'$ , e si innalzi  $A_2A_1$  parallela a  $bb$  e terminata su  $l_1$ . Questa  $A_2A_1$  dicasi  $a''$ .

I triangoli simili  $OA_1A_2, OA_1A$ , compresi fra  $l_1$  e  $cc$ , danno

$$\frac{A_2A_1}{AA_1} = \frac{OA_2}{OA}, \text{ cioè } \frac{a''}{a_1} = \frac{a'}{a};$$

ed i triangoli simili  $OA_1A_2, OAA_2$ , compresi fra  $l_2$  e  $cc$ , danno analogamente

$$\frac{A_1A_2}{OA_1} = \frac{AA_2}{OA}, \text{ cioè } \frac{a_2}{a_1} = \frac{a'}{a}.$$

Dunque  $a'' = a_2$ , c. d. d. (\*).

67. Nel costruire i triangoli della prima serie, invece di portare i segmenti  $b$  sulla retta  $bb$ , si potrebbe (fig. 57), dopo aver preso nella  $cc$  il lato  $O1 = c_1$ , assumere un tal punto 1 su  $Ob$  che la congiungente 11 sia uguale (in grandezza assoluta) a  $b_1$ . Poi, condotta per  $O$  la  $l_1$  parallela ad 11, si costruirebbe, come dianzi, il triangolo della seconda serie, simile ad  $O11$ , assumendo nella  $cc$  un

(\*) EGGERS, *Grundzüge einer graphischen Arithmetik* (Schaffhausen, 1865), p. 12. — JAEGER, *l. c.*, p. 11.

lato uguale ad  $a$ . Allora il prodotto  $a_1 = a \frac{b_1}{c_1}$  sarebbe dato, non già dal lato parallelo alla  $bb$ , ma dal lato sopra  $l_1$ . E così di seguito per gli altri triangoli. In questa costruzione non è tenuto conto de' segni de' segmenti  $b$ , giacchè essi vengono portati in direzioni differenti; perciò nel riportare per es. il segmento  $a_1$  sulla  $cc$  per procedere alla costruzione del triangolo successivo, bisognerà dargli il segno di  $a$  o l'opposto, secondo che  $b_1$  e  $c_1$  hanno segni uguali od opposti.

In questo modo di procedere, i segmenti  $a_1, a_2, \dots, a_n$ , che sono ottenuti rispettivamente sulle  $l_1, l_2, \dots, l_n$  (parallele alle  $b_1, b_2, \dots, b_n$ ) vengono riportati sulla  $cc$  mediante archi circolari il cui centro comune è  $O$ .

68. Un terzo modo di eseguire la proposta moltiplicazione consiste (fig. 58) nel portare (coll'origine comune  $O$ ) i segmenti  $b_1, b_2, b_3, \dots, c_2, c_4, \dots$  sopra uno dei due assi ( $bb$ ) ed i segmenti  $b_2, b_4, \dots, c_1, c_3, c_5, \dots$  sull'altro asse ( $cc$ ), congiungendo sempre fra loro i termini 11, 22, 33, ... de' segmenti  $b$  e  $c$  d'indice uguale. Poi basterà inserire fra i due assi una spezzata, i cui lati successivi siano rispettivamente paralleli alle congiungenti 11, 22, 33, ..., e i cui vertici s'iano alternativamente sulle rette  $cc, bb$ . Se il primo vertice è stato preso in modo che sia il termine del segmento della  $cc$  uguale ad  $a$  ed avente l'origine in  $O$ , il secondo vertice, il terzo, il quarto, ... saranno analogamente i termini de' segmenti

$$a_1 = a \frac{b_1}{c_1}, \quad a_2 = a \frac{b_2}{c_2}, \quad a_3 = a \frac{b_3}{c_3}, \quad \dots,$$

coll'origine comune  $O$  (\*).

Ciò si rende evidente considerando che i triangoli della seconda serie, in questa costruzione, hanno tutti un lato diretto secondo  $bb$  ed un altro secondo  $cc$ ; mentre il terzo è quel lato della spezzata che è parallelo al terzo lato del triangolo simile della prima serie.

69. Quando non occorra di tener conto de' segni de' segmenti  $a, b, c$ , cioè quando questi siano considerati come tutti positivi, si può anche disporre la costruzione in modo che così i triangoli della prima

---

(\*) Nelle fig. 58, 59 e seg., ciascuno dei segmenti che hanno l'origine comune  $O$ , porta al termine la lettera  $a$  o  $b$  o  $c$ , che ne indica la misura.

serie, come i triangoli della seconda riescano disposti consecutivamente (quasi a ventaglio) intorno ad un vertice comune  $O$  (fig. 59).

Per  $O$  tirinsi  $n+1$  rette o raggi vettori, comprendenti fra loro angoli arbitrari; fra il primo e il secondo raggio vettore si costruiscano il primo triangolo della prima serie e il primo della seconda; fra il secondo e il terzo raggio vettore i secondi triangoli delle due serie; fra il terzo ed il quarto raggio vettore i terzi triangoli; ecc.: in modo che due triangoli successivi della seconda serie abbiano sempre un lato comune. Vale a dire: sul primo raggio si prendano coll'origine  $O$  due segmenti rispettivamente uguali ad  $a$  e  $c_1$ ; sul secondo raggio si prenda colla stessa origine il segmento  $b_1$ ; si congiungano i termini di  $b_1, c_1$  ed alla congiungente si conduca la parallela dal termine di  $a$ , così che si determinerà sul secondo raggio un segmento  $a_1 = a \frac{b_1}{c_1}$ . Prendendo ora nello stesso modo il segmento  $c_2$  sul secondo raggio, ed il segmento  $b_2$  sul terzo, si determinerà su quest'ultimo un segmento  $a_2 = a_1 \frac{b_2}{c_2} = a \frac{b_1}{c_1} \cdot \frac{b_2}{c_2}$ . E continuando questa costruzione si giungerà da ultimo ad ottenere sull'  $(n+1)$ -esimo raggio un segmento avente l'origine in  $O$  e il cui valore sarà

$$a_n = a \frac{b_1}{c_1} \cdot \frac{b_2}{c_2} \dots \frac{b_n}{c_n}.$$

#### IV.

### Potenze.

**70.** Se nell'ultimo problema si suppongono tutte eguali le  $b$ , e così pure tutte eguali le  $c$ , il segmento costruito  $a_n$  sarà il risultato della moltiplicazione di  $a$  per la potenza  $n$ -esima del rapporto  $\frac{b}{c}$ .

In questo caso, e supposta (N. 65) la prima (fig. 60), ovvero (N. 67) la seconda costruzione (fig. 64), i triangoli della prima serie coincidono tutti in uno solo; due lati del quale sono i segmenti dati  $b, c$ . Gli  $n$  triangoli della seconda serie sono tutti simili fra di loro e simili all'unico della prima serie; i loro lati giacenti in  $Oc$

sono ordinatamente  $a, a_1, a_2, \dots, a_{n-1}$ , ed i lati paralleli a  $b$  sono  $a_1, a_2, a_3, \dots, a_n$ , dove

$$a_1 = a \frac{b}{c}, \quad a_2 = a \left( \frac{b}{c} \right)^2, \quad a_3 = a \left( \frac{b}{c} \right)^3, \quad \dots, \quad a_n = a \left( \frac{b}{c} \right)^n.$$

Questa serie di triangoli simili può anche essere prolungata nel verso contrario, in modo da dare i prodotti di  $a$  per le potenze negative di  $\frac{b}{c}$ . Infatti, costruendo il triangolo il cui lato parallelo a  $b$  sia uguale ad  $a$ , il lato sopra  $Oc$  sarebbe

$$a_{-1} = a : \frac{b}{c} = a \left( \frac{b}{c} \right)^{-1};$$

costruendo poi il triangolo il cui lato parallelo a  $b$  sia uguale ad  $a_{-1}$ , il lato sopra  $Oc$  sarebbe

$$a_{-2} = a \left( \frac{b}{c} \right)^{-2},$$

e così di seguito (\*).

71. Secondo la terza maniera (N. 68), i triangoli della prima serie si riducono a due, uguali fra loro ma diversamente situati (fig. 62); l'uno ha il lato  $c$  nel primo asse e il lato  $b$  nel secondo; l'altro invece ha il lato  $b$  nel primo e il lato  $c$  nel secondo. Per conseguenza le direzioni dei terzi lati sono antiparallele, e secondo esse si dirigeranno i lati della spezzata inscritta fra i due assi. I vertici di questa spezzata determinano sul primo asse de' segmenti, che contati da  $O$  hanno per valori

$$a, \quad a_2 = a \left( \frac{b}{c} \right)^2, \quad a_4 = a \left( \frac{b}{c} \right)^4, \quad \dots$$

e sull'altro asse

$$a_1 = a \frac{b}{c}, \quad a_3 = a \left( \frac{b}{c} \right)^3, \quad a_5 = a \left( \frac{b}{c} \right)^5, \quad \dots \quad (**).$$

Anche i lati della spezzata formano una progressione geometrica; detto  $a'$  il primo lato, il secondo è  $a' \frac{b}{c}$ , il terzo  $a' \left( \frac{b}{c} \right)^2$ , il quarto

(\*) EGGERS, *l. c.*, p. 15. — JAEGER, *l. c.*, p. 18-20.

(\*\*) COUSINERY, *l. c.*, p. 24-25.

$a' \left(\frac{b}{c}\right)^5, \dots$  Di qui si conchiude che il segmento dato, il quale dee moltiplicarsi per  $\left(\frac{b}{c}\right)^n$ , invece d'essere portato sul primo asse, può inserirsi nell'angolo degli assi, in modo da formare il primo lato della spezzata; l' $(n+1)$ -esimo lato sarà allora il risultato della moltiplicazione.

Continuando la spezzata in senso inverso, si ottengono i prodotti del segmento dato ( $a$  od  $a'$ ) per le potenze negative

$$\left(\frac{b}{c}\right)^{-1}, \left(\frac{b}{c}\right)^{-2}, \left(\frac{b}{c}\right)^{-3}, \dots$$

del rapporto dato.

Se fra due lati successivi della spezzata, per es. fra i primi due, che sono  $a'$  ed  $a' \frac{b}{c}$ , si vuol continuare la progressione, basterà inserirvi una nuova spezzata i cui lati siano alternativamente paralleli agli assi; e si otterrà così una figura analoga alla precedente.

Detto  $a''$  il segmento del primo asse compreso fra i primi due lati della prima spezzata, i lati della nuova spezzata saranno

$$a'', a'' \frac{b}{c}, a'' \left(\frac{b}{c}\right)^2, a'' \left(\frac{b}{c}\right)^3, \dots (*)$$

**72.** Da ultimo, adottando la quarta maniera (N° 69) e di più assumendo costante l'angolo fra due raggi vettori consecutivi (fig. 63), tutt'i triangoli della prima serie riusciranno uguali, ed i loro vertici saranno collocati su due cerchi concentrici, l'uno di raggio  $b$ , l'altro di raggio  $c$ . I triangoli della seconda serie sono tutti simili fra loro, giacchè ciascun d'essi è simile a quello che gli corrisponde nella prima serie; i loro vertici (diversi da  $O$ ) e i loro lati (opposti ad  $O$ ) sono i vertici ed i lati d'un circuito poligonale a forma di spirale. I raggi vettori di questa spirale, cioè le rette condotte da  $O$  ai vertici, sono i termini

$$a, a_1 = a \frac{b}{c}, a_2 = a \left(\frac{b}{c}\right)^2, \dots$$

di una progressione geometrica, e possono essere continuati anche

(\*) COUSINERY, *l. c.*, p. 24. — CULMANN, *l. c.*, p. 13.

nel verso contrario, in modo da dare i prodotti di  $a$  per le potenze negative del rapporto  $\frac{b}{c}$ :

$$a\left(\frac{b}{c}\right)^{-1}, \quad a\left(\frac{b}{c}\right)^{-2}, \quad a\left(\frac{b}{c}\right)^{-3}, \quad \dots$$

Anche i lati del circuito poligonale formano una progressione geometrica, avente la medesima ragione  $\frac{b}{c}$  (\*).

Se l'angolo costante di due raggi vettori consecutivi avesse con quattro retti un rapporto commensurabile, che ridotto ai minimi termini avesse per denominatore  $p$ , il  $(p+1)$ -esimo raggio coinciderebbe col primo, il  $(p+2)$ -esimo col secondo, ecc. Per es. se il detto angolo costante fosse un retto (\*\*), anche gli angoli compresi da ogni coppia di due lati successivi del poligono spirale sarebbero tutti retti (fig. 64).

## V.

### Estrazione di radice.

73. Si consideri (fig. 65) il poligono spirale  $ABCDEFGF\dots$  i cui raggi vettori  $OA, OB, OC, OD, \dots$  rappresentano i prodotti di un segmento costante  $OA$  per le potenze  $0, 1, 2, 3, \dots$  di un dato rapporto  $\frac{b}{c} = \frac{OB}{OA}$ , ed i cui lati  $AB, BC, CD, \dots$  sottendono al polo  $O$  un angolo costante (N. 72). Come già si è osservato, sono simili fra loro tutti i triangoli (elementari) aventi il vertice  $O$  e per base un lato del poligono; e simili fra loro sono anche le figure che si ottengono riunendo due o tre o quattro ... triangoli siffatti, perchè esse sono composte dello stesso numero di triangoli simili e similmente disposti. Sono dunque uguali tutti gli angoli  $ABO, BCO, CDO, \dots$ ; uguali gli angoli  $ACO, BDO, CEO, \dots$ ; uguali gli angoli  $ADO, BEO, CFO, \dots$  ecc: in generale sono simili tutti i triangoli di vertice  $O$  le cui basi sono corde che sottendono uno stesso numero di lati del poligono: le quali corde sottendono ancora uguali angoli al polo  $O$ .

Tali proprietà sono affatto indipendenti dalla grandezza dell'angolo  $AOB$ , assunto ad arbitrio nella costruzione del primo triangolo elementare. Perciò esse non cesseranno di sussistere, se quest'angolo si supponga infinitamente piccolo: nel qual caso il circuito poligonale diviene una linea curva. Dalla

(\*) JAEGER, *l. c.*, p. 20.

(\*\*) REULEAUX, *Der Constructeur*, terza ediz. (Braunschweig, 1869), p. 84. — K. VON OTT, *Grundzüge des graphischen Rechnens und der graphischen Statik* (Prag, 1871), p. 40.

somiglianza di tutt' i triangoli elementari s'è già dedotta l'uguaglianza degli angoli alle basi  $OAB$ ,  $OBC$ , ...; ma, se l'angolo in  $O$  diviene infinitesimo, il lato opposto del triangolo elementare riesce tangente alla curva; la curva ottenuta ha dunque la proprietà che le sue tangenti (prolungate in uno stesso senso, per es. in quello dei raggi vettori crescenti) incontrano sotto angoli uguali i raggi vettori condotti dal polo  $O$  ai punti di contatto (\*).

A cagione di tale proprietà, la curva si chiama spirale equiangola (\*\*).

74. Siccome le figure costituite da un egual numero di triangoli elementari successivi sono simili fra loro, così, se nella spirale equiangola si conducono, ad uguali intervalli angolari, i raggi vettori  $OA$ ,  $OB$ ,  $OC$ , ..., i triangoli  $OAB$ ,  $OBC$ ,  $OCD$ , ... saranno simili fra loro; per conseguenza i detti raggi vettori formeranno una progressione geometrica, vale a dire, il circuito poligonale  $ABCD$ ... inscritto nella spirale sarà appunto quello che si costruirebbe secondo la regola del N. 72 partendo dal triangolo elementare  $AOB$ . Perciò, se, assunto ad arbitrio il triangolo  $AOB$ , si costruisce il circuito poligonale  $ABCD$ ..., tutt' i vertici del medesimo saranno punti di una stessa spirale equiangola, avente il polo in  $O$ .

Di qui segue che il polo e due punti della curva determinano la spirale equiangola.

75. Due punti qualsivogliano  $B$ ,  $C$  della spirale equiangola (fig. 66), il polo  $O$ , l'intersezione  $T$  delle tangenti in quei punti e l'intersezione  $N$  delle relative normali sono cinque punti di uno stesso cerchio, pel quale  $NT$  è un diametro. Di ciò è facile persuadersi, osservando: 1° che, essendo retti gli angoli  $NBT$ ,  $NCT$ , il cerchio di diametro  $NT$  passa pei punti  $B$ ,  $C$ ; 2° che, essendo supplementari gli angoli  $OBT$ ,  $OCT$  (perchè è costante l'angolo che la tangente fa col raggio vettore del punto di contatto), i quattro punti  $OTBC$  appartengono ad una stessa circonferenza. Di qui consegue che l'angolo  $NOT$  è retto.

76. Suppongansi ora i punti  $B$ ,  $C$  abbastanza vicini fra loro, onde l'arco di spirale fra essi compreso possa essere surrogato da un arco di cerchio. Questo arco, dovendo essere tangente alle  $BT$ ,  $CT$  ne' punti  $B$ ,  $C$ , avrà il centro in  $N$ ; le tangenti  $BT$ ,  $CT$  saranno uguali, epperò la corda  $BC$  sarà divisa per metà ed ortogonalmente dalla  $NT$ ; donde segue inoltre che  $N$ ,  $T$  sono i punti di bissezione degli archi  $BC$  del cerchio  $OBC$ ; cioè  $ON$  ed  $OT$  saranno le bisettrici interna ed esterna dell'angolo  $BOC$ . Dunque il punto  $N$ , che deve servire di centro per descrivere l'arco  $BC$  da sostituirsi all'arco di spirale, si può costruire come estremo di quel diametro del cerchio  $OBC$ , che è perpendicolare alla corda  $BC$ . Il centro  $P$  del successivo arco  $CD$ , dovendo essere il punto comune alle normali in  $C$ ,  $D$ , si otterrà come intersezione della  $CN$  colla retta che taglia ad angolo retto e per metà la corda  $CD$ , ovvero colla bisettrice esterna dell'angolo  $COD$ . E così di seguito.

77. Di qui si cava la costruzione della spirale equiangola per mezzo di archi circolari. Dividasi (fig. 67) lo spazio angolare (quattro retti) intorno al polo  $O$  in un certo numero di parti uguali, abbastanza grande affinché l'arco di

(\*) COUSINERY, l. c., p. 41, 42. — CULMANN, l. c., p. 14 e seg.

(\*\*) WITTHORPE, *The equiangular-spiral, its chief properties proved geometrically* (Oxford, Cambridge and Dublin Messenger of Mathematics, vol. 1, p. 5, Cambridge, 1862).

spirale corrispondente a ciascuna parte possa essere surrogato da un arco circolare. Sopra due raggi dividenti (vettori) successivi si prendano i punti  $A, B$ , pei quali debba passare la spirale. Il centro  $M$  dell'arco  $AB$  sarà l'estremo di quel diametro del cerchio  $OAB$  che è perpendicolare alla corda  $AB$ . Sia  $N$  il punto ove  $BM$  sega la bisettrice esterna dell'angolo compreso da  $OB$  col raggio vettore successivo; col centro  $N$  si descriverà l'arco  $BC$ . Analogamente sia  $P$  il punto ove  $CN$  sega la bisettrice esterna dell'angolo compreso da  $OC$  col raggio vettore successivo; col centro  $P$  si descriverà l'arco  $CD$ . E così di seguito (\*).

**78.** Invece di assumere ad arbitrio il punto  $A$  (oltre ad  $O$  e  $B$ ), si può supporre dato l'angolo costante che la tangente fa col raggio vettore. In tal caso, condotta la  $BS$  che faccia con  $OB$  l'angolo dato, sia  $S$  il punto d'intersezione della tangente  $BS$  colla bisettrice interna dell'angolo che  $OB$  fa col raggio vettore precedente; e il punto  $A$  sarà dato dall'incontro di questo raggio col cerchio  $OBS$ . Indi trovato quel punto  $M$  di questo cerchio che è diametralmente opposto ad  $S$ , si procederà innanzi secondo il metodo or ora esplicito (\*).

**79.** Spesse volte però si potrà prescindere dalla descrizione di tali archi di cerchio; e limitarsi ad ottenere una serie di punti della curva abbastanza vicini per poter essere uniti fra loro con una linea continua. A quest'uopo, assunto il triangolo elementare  $OA_1B_1$  (fig. 68), il cui angolo in  $O$  sia assai piccolo, si costruirà fra i lati  $OA_1, OB_1$  la spezzata  $A_1B_1C_1D_1E_1F_1G_1\dots$  i cui lati siano alternativamente paralleli ed antiparalleli ad  $A_1B_1$ . Indi, sui raggi  $OA, OB, OC, OD, OE, OF, \dots$  che fra loro comprendono angoli successivi costantemente uguali ad  $A_1OB_1$ , si prenderanno i punti  $A, B, C, D, E, \dots$  in modo che sia  $OA_1 = OA, OB_1 = OB, OC_1 = OC, OD_1 = OD, OE_1 = OE, \dots$

**80.** Questa spirale, quando sia descritta, serve a risolvere il problema dell'estrazione di radice.

Si domandi la radice  $i$ -esima del rapporto fra due dati segmenti  $a, a_i$ . Posto  $a_i = a \left(\frac{b}{c}\right)^i$ , si tratterà di determinare il rapporto  $\frac{b}{c}$ . Conducansi alla spirale (fig. 69<sup>a</sup>, dove  $i = 5$ ) i raggi vettori  $a, a_i$  e l'angolo da essi compreso dividasì in  $i$  parti uguali. Gli  $i - 1$  raggi vettori dividenti  $a_1, a_2, \dots, a_{i-1}$  saranno i termini intermedi di una progressione geometrica di  $i + 1$  termini, il primo de' quali è  $a$  e l'ultimo è  $a_i$ . Il rapporto  $a_i : a$  de' primi due termini sarà adunque uguale al rapporto cercato.

**81.** Due raggi vettori comprendenti un angolo costante hanno un rapporto costante. Segue da ciò che, se si fa la somma o la differenza degli angoli compresi da due coppie di raggi vettori  $a_1$  e  $b_1, a_2$  e  $b_2$ , l'angolo risultante sarà compreso da due raggi vettori il cui rapporto sarà uguale nel primo caso al prodotto, e nel secondo al quoziente de' rapporti  $a_1 : b_1, a_2 : b_2$ . Vale a dire, la spirale equiangola fa nel calcolo grafico lo stesso ufficio che una tavola di logaritmi nel calcolo numerico: i rapporti dei raggi vettori corrispondono ai numeri, e gli angoli ai logaritmi. Per tale proprietà, la curva di cui si parla chiamasi anche spirale logaritmica. S'intende da sè che, assumendo per denominatore costante di cotesti rapporti il raggio vettore uguale all'unità lineare, si verrebbe a sostituire la considerazione de' raggi vettori a quella dei loro rapporti coll'unità.

(\*) Costruzioni dovute al signor ingegnere A. SAYNO.



Per es. se si volesse costruire il segmento  $x$  dato dall'equazione

$$x = \sqrt[n]{a_1 a_2 \dots a_n},$$

$x$  sarebbe quel raggio vettore della spirale che col raggio 1 fa un angolo uguale alla media aritmetica degli angoli che i raggi  $a_1, a_2, \dots, a_n$  fanno col medesimo raggio 1.

**82.** Ma quando non si tratti che dell'estrazione della radice quadrata, piuttosto che ricorrere alla spirale, sarà più semplice servirsi delle note costruzioni della geometria elementare. Cioè, se si domanda  $x = \sqrt{ab}$ , il segmento  $x$  si costruirà come media geometrica fra i segmenti  $a, b$ .

Se i segmenti  $OA = a, OB = b$  sono disposti per diritto e nello stesso senso,  $x$  sarà la lunghezza della tangente  $OX$  tirata da  $O$  ad un cerchio descritto per  $A$  e  $B$  (fig. 70); ovvero (fig. 70 bis), descritto il semicerchio che ha per diametro il segmento maggiore  $OA$ ,  $x$  sarà la corda  $OX$  la cui proiezione sul diametro è l'altro segmento  $b$ .

Se i segmenti  $OA = a, OB = b$  sono disposti per diritto, ma in senso contrario (fig. 71), descritto il semicerchio sul diametro  $AB$ , sarà  $x$  l'ordinata elevata dal punto  $O$ .

**83.** Gli stessi scopi ai quali serve la spirale equiangola possono essere ottenuti facilmente con un'altra curva, detta logaritmica.

Si traccino due assi  $Ox, Oy$  (fig. 72); sul primo di essi si prendano, a partire dall'origine  $O$ , i segmenti

$$O0, O1, O2, O3, \dots$$

rispettivamente uguali ai termini

$$x_0, x_1 = x_0 \frac{m}{n}, x_2 = x_0 \left(\frac{m}{n}\right)^2, x_3 = x_0 \left(\frac{m}{n}\right)^3, \dots$$

di una progressione geometrica, avente il primo termine  $x_0$  e la ragione  $\frac{m}{n}$  (dove si suppone  $m > n$ ); e sul secondo asse si prendano, ancora a partire da  $O$ , i segmenti

$$O0, O1, O2, O3, \dots$$

rispettivamente uguali ai termini

$$y_0 = 0, y_1 = l, y_2 = 2l, y_3 = 3l, \dots$$

di una progressione aritmetica, avente il primo termine 0 e la differenza  $l$  (\*). I termini delle due progressioni, che corrispondono all'indice  $r$ , sono

$$x_r = x_0 \left(\frac{m}{n}\right)^r, \quad y_r = rl,$$

onde si ha

$$x_r = x_0 \left(\frac{m}{n}\right)^{\frac{y_r}{l}}.$$

---

(\*) Nella serie de' numeri su  $Oy$ , lo zero coincide coll'origine  $O$  degli assi, perchè si è preso  $y_0 = 0$ .

In ogni coppia di termini consecutivi dell'una e dell'altra progressione si può interpolare un nuovo termine, per modo da ottenere due nuove progressioni, nella prima delle quali la ragione sia  $\left(\frac{m}{n}\right)^{\frac{1}{2}}$  ossia  $\frac{\sqrt{mn}}{n}$ , e la differenza della seconda sia  $\frac{l}{2}$ . Ciò si fa osservando che in una progressione geometrica (aritmetica) un termine qualunque è medio geometrico (aritmetico) fra il termine che lo precede e quello che lo sussegue. Per es. costruendo la media geometrica di  $x_r, x_{r+1}$  e la media aritmetica di  $y_r, y_{r+1}$ , avremo i due termini corrispondenti

$$\left(x_r, x_{r+1}\right)^{\frac{1}{2}} = x_0 \left(\frac{m}{n}\right)^{r + \frac{1}{2}}$$

$$\frac{1}{2}(y_r + y_{r+1}) = \left(r + \frac{1}{2}\right) l$$

delle due nuove progressioni. In queste si potrà analogamente interpolare un termine fra ogni paio di termini consecutivi; e così di seguito, finchè si giunga

a due progressioni per le quali la ragione  $\left(\frac{m}{n}\right)^{\frac{1}{2^i}}$  e la differenza  $\frac{l}{2^i}$  siano piccole quanto si voglia (\*). Indicando con  $x, y$  due termini corrispondenti, avremo sempre

$$(1) \quad x = x_0 \left(\frac{m}{n}\right)^{\frac{y}{l}},$$

ovvero

$$(2) \quad y = l \frac{\log \frac{x}{x_0}}{\log \frac{m}{n}},$$

i logaritmi essendo presi in un sistema qualunque. Diciamo corrispondenti i punti degli assi  $Ox, Oy$  che sono termini de' corrispondenti segmenti  $x, y$ ; e da essi punti corrispondenti si conducano le parallele agli assi, cioè dal termine di  $x$  la parallela ad  $Oy$ , e dal termine di  $y$  la parallela ad  $Ox$ . Le due rette così tracciate si segheranno in un punto  $M$ ; le  $x, y$  diconsi coordinate del punto  $M$ , e propriamente ascissa e ordinata. L'equazione (1) o (2) esprimente la relazione fra le coordinate del punto  $M$  dicesi equazione di quella curva che è il luogo di tutt'i punti analoghi ad  $M$ ; la qual curva si denomina logaritmica, appunto perchè l'ordinata è proporzionale al logaritmo di un numero proporzionale all'ascissa.

**84.** Questa curva si costruirà adunque per punti nel modo seguente (fig. 73). Tracciati i due assi  $Ox, Oy$  (per es. ad angolo retto), si prenda su  $Oy$  un segmento  $OB = O(2^i) = l$ , dove  $l$  può considerarsi come l'unità della scala delle lunghezze su  $Oy$ ; e su  $Ox$  prendasi un segmento  $OA = O(2^i) = x_0 \frac{m}{n}$ .

(\*)  $i$  è il numero delle interpolazioni eseguite.

dove  $Oo = x_0$  può essere l'unità della scala delle lunghezze per  $Ox$  (\*), e il rapporto  $\frac{m}{n}$  la base del sistema logaritmico (il numero 10).

Dividasi  $OB$  in  $2^i$  parti uguali, e siano  $1, 2, 3, \dots, 2^{i-1}, \dots, 2^i (\equiv B)$  i punti di divisione. Per trovare i punti corrispondenti di  $Ox$ , si prenda la media geometrica fra  $x_0$  ed  $x_0 \frac{m}{n}$ ; cioè si descriva un semicerchio sul diametro  $OA$ , e si porti su  $OA$ , a partire da  $O$ , la lunghezza della corda che ha per proiezione  $Oo$ ; avremo così il punto  $2^{i-1}$  di  $Ox$ , corrispondente al punto omonimo di  $Oy$  (cioè al punto di mezzo di  $OB$ ). Analogamente, si prenda la media geometrica fra  $Oo$  ed  $O2^{i-1}$ , e la media geometrica fra  $O2^{i-1}$  ed  $OA$  e si otterranno i punti corrispondenti ai punti di mezzo dei segmenti  $O2^{i-1}$ ,  $2^{i-1}B$  di  $Oy$ . E così di seguito.

Conducansi ora pei punti di divisione di  $Ox$  le parallele ad  $Oy$ , e pei punti di divisione di  $Oy$  le parallele ad  $Ox$ ; i punti ove si segano le rette così condotte per punti omonimi apparterranno alla logaritmica che si voleva costruire. Siccome ad  $y = y_0 = 0$  corrisponde  $x = x_0 = Oo$ , così la curva passa per lo zero della divisione di  $Ox$ .

85. È anche facilissimo costruire la tangente alla curva in un suo punto qualunque (fig. 74). Siano infatti  $M, N$  due punti della curva, a piccola distanza l'uno dall'altro;  $MP, NQ$  parallele ad  $Ox$ ,  $MR$  parallela ad  $Oy$ , e  $T$  il punto in cui  $Oy$  è segata dalla corda  $MN$ . I triangoli simili  $TPM, MRN$  danno

$$TP : MP = MR : NR,$$

ossia

$$TP : MP = OQ - OP : NQ - MP.$$

Posto  $OP = y, PQ = h$ , le  $MP, NQ$  saranno le ascisse  $x$  corrispondenti alle ordinate  $y, y + h$ , epperò

$$MP = x_0 \left( \frac{m}{n} \right)^{\frac{y}{l}}, \quad NQ = x_0 \left( \frac{m}{n} \right)^{\frac{y+h}{l}},$$

dunque

$$TP = \frac{h \left( \frac{m}{n} \right)^{\frac{y}{l}}}{\left( \frac{m}{n} \right)^{\frac{y+h}{l}} - \left( \frac{m}{n} \right)^{\frac{y}{l}}} = l \frac{\frac{h}{l}}{\left( \frac{m}{n} \right)^{\frac{h}{l}} - 1}.$$

Suppongasi ora che il punto  $N$  si vada accostando sempre più ad  $M$ , cioè che  $h$  diminuisca convergendo verso zero; allora la  $NMT$  tenderà a prendere la posizione della retta tangente in  $M$ , e il segmento  $TP$ , proiezione di  $TM$  su  $Oy$ , diverrà ciò che si suole denominare sottotangente. Ma (\*\*) il limite verso il quale converge la frazione

(\*) Siccome le  $x$  crescono assai più rapidamente delle  $y$ , così, a fine di contenere la costruzione entro limiti ristretti, converrà assumere l'unità  $x_0$  più piccola di  $l$ , per es:  $x_0 \frac{m}{n} = l$ .

(\*\*) BALTZER, *Aritmetica generale*, p. 188.

$$\frac{\left(\frac{m}{n}\right)^{\frac{h}{l}} - 1}{\frac{h}{l}},$$

quando  $h$  tenda verso zero, è il logaritmo naturale di  $\frac{m}{n}$ , che indicheremo con  $l\frac{m}{n}$ ; dunque al limite avremo

$$TP = \frac{l}{l\frac{m}{n}},$$

vale a dire, la sottotangente è costante per tutt'i punti della curva (\*).

Donde segue che, quando siasi costruita la tangente in un solo punto, si potranno immediatamente tracciare le tangenti in tutti gli altri punti della curva.

**86.** Costruita così la curva logaritmica, si potranno risolvere per mezzo di essa tutt' i problemi ai quali servono le ordinarie tavole di logaritmi. Per es. si voglia costruire la radice  $r$ -esima del rapporto di due rette  $p, q$ . Prendansi su  $Ox$  le ascisse  $x' = p, x'' = q$ , e per mezzo della curva trovinsi le corrispondenti ordinate  $y', y''$ . L'ascissa corrispondente all'ordinata

$$\frac{1}{r} (y' - y'')$$

avrà per valore

$$x_0 \sqrt[r]{\frac{p}{q}}.$$

In secondo luogo, si cerchi la radice  $r$ -esima del prodotto delle  $r$  rette  $p_1, p_2, \dots, p_r$ . Prese su  $Ox$  le ascisse  $x_1 = p_1, x_2 = p_2, x_3 = p_3, \dots, x_r = p_r$ , trovinsi le corrispondenti ordinate  $y_1, y_2, y_3, \dots, y_r$ . L'ascissa  $x$  corrispondente all'ordinata

$$\frac{1}{r} (y_1 + y_2 + \dots + y_r)$$

avrà appunto il valore cercato

$$\sqrt[r]{p_1 p_2 \dots p_r}.$$

## VI.

### Risoluzione delle equazioni numeriche (\*\*).

**87.** Siano  $a_0, a_1, a_2, \dots, a_n$   $n+1$  numeri dati in grandezza e segno, e si costruisca un circuito poligonale rettangolare (fig. 75<sup>a</sup>), i cui lati successivi  $01, 12, 23, \dots$  abbiano lunghezze proporzionali ai numeri dati. Quanto al senso di ciascun lato, tengasi questa legge: il lato  $r$ -esimo ed il lato  $(r+2)$ -esimo,

(\*) SALMON, *Higher plane curves*, 2<sup>a</sup> ediz. (Dublin, 1873), num. 314.

(\*\*) LILL, *Résolution graphique des équations numériques d'un degré quelconque à une inconnue*: *Nouvelles Annales de Mathématiques*, 2<sup>e</sup> série, t. 6 (Paris 1867), p. 359.

che sono fra loro paralleli, abbiano lo stesso senso o sensi opposti, secondo che i segni dei numeri  $a_{r-1}$ ,  $a_{r+1}$ , proporzionali a quei lati, siano contrari o uguali (\*).

Quindi, fissato un punto  $A_1$  nella retta 12, si assuma  $OA_1$  come primo lato di un secondo circuito rettangolare di  $n$  lati, i cui vertici  $A_1, A_2, A_3, \dots$  cadano ordinatamente nei lati 12, 23, 34, ... del primo contorno.

I triangoli  $OA_1, A_1A_2, A_2A_3, A_3A_4, \dots$  sono tutti simili fra loro, epperò danno

$$\frac{OA_1}{A_1A_2} = \frac{A_1A_2}{A_2A_3} = \frac{A_2A_3}{A_3A_4} = \dots = \frac{A_{n-1}A_n}{A_nA_1},$$

donde, avuto riguardo alle identità

$$\begin{aligned} OA_1 &= a_0, & A_1A_2 &= A_1A_1 + a_1, \\ 12 &= a_1, & A_2A_3 &= A_2A_2 + a_2, \\ 23 &= a_2, & A_3A_4 &= A_3A_3 + a_3, \\ &\dots\dots\dots & &\dots\dots\dots \\ n-1 \cdot n &= a_{n-1}, & A_nA_1 &= A_nA_n + a_n, \\ n \cdot n &+ 1 &= a_n, \end{aligned}$$

e posto

$$\frac{A_1A_1}{OA_1} = x, \text{ ossia } A_1A_1 = a_0x,$$

si cava

$$\begin{aligned} A_1A_2 &= a_0x + a_1, \\ A_2A_3 &= a_0x^2 + a_1x + a_2, \\ A_3A_4 &= a_0x^3 + a_1x^2 + a_2x + a_3, \\ &\dots\dots\dots \\ A_nA_1 &= a_0x^n + a_1x^{n-1} + \dots + a_{n-1}x + a_n. \end{aligned}$$

(\*) Per fissare con precisione il senso di ciascun lato della spezzata, gioverà la seguente convenzione. Si assumano due assi ortogonali  $XOX, YOY$  e per ciascun d'essi si fissi il senso positivo; indi conveniamo di dare al numero esprimente la lunghezza di un segmento il coefficiente  $+1$  o  $-1$  secondochè esso abbia la direzione positiva o la negativa di  $XOX$ , e il coefficiente  $+i$  o  $-i$  (dove  $i = \sqrt{-1}$ , cioè  $i^2 = -1$ ), secondochè esso segmento abbia la direzione positiva o la negativa di  $YOY$ . Allora si formi un circuito i cui lati successivi

$$OA_1, 12, 23, 34, 45, 56, \dots$$

siano uguali ad

$$a_0, ia_1, i^2a_2, i^3a_3, i^4a_4, i^5a_5, \dots$$

ossia ad

$$a_0, ia_1, -a_2, -ia_3, a_4, ia_5, \dots$$

onde i lati  $1^\circ, 3^\circ, 5^\circ, \dots$  saranno paralleli ad  $XOX$ , e gli altri ad  $YOY$ ; inoltre due lati paralleli, separati da un solo lato ad essi perpendicolare, avranno lo stesso senso o senso contrario secondochè i corrispondenti numeri  $a$  abbiano segni opposti o lo stesso segno.

ossia, il segmento  $A_n \cdot n + 1$  compreso fra i termini del secondo e del primo circuito poligonale è il valore che prende il polinomio

$$f(x) = a_0 x^n + a_1 x^{n-1} + \dots + a_n$$

quando per  $x$  si ponga il rapporto del segmento  $A_1 1$  al segmento  $01$  od  $a_0$ . Ritenuto  $a_0$  positivo, i segni di  $x$  e di  $a_1$  saranno uguali od opposti secondo che  $A_1 1, 12$  abbiano lo stesso senso o senso contrario.

Se i termini dei due circuiti coincidono, sarà identicamente  $f(x) = 0$ ; allora  $x$  si dice radice dell'equazione  $f(z) = 0$ . Le radici reali dell'equazione  $f(z) = 0$  sono adunque i rapporti  $A_1 1 : 01$ , corrispondenti ai circuiti rettangolari inscritti, i cui termini coincidano col punto  $n + 1$ .

A cagione di queste proprietà, si può dire che il circuito  $0123 \dots \overline{n+1}$  rappresenta il polinomio intero  $f(x)$ .

88. Se si iscrive un nuovo circuito rettangolare  $0B_1 B_2 \dots B_n$ , indicato con  $y$  il rapporto  $B_1 1 : 01$ , sarà analogamente

$$B_n \cdot \overline{n+1} = f(y) = a_0 y^n + a_1 y^{n-1} + \dots + a_n.$$

Invece de' coefficienti  $a$  pongansi i loro valori

$$a_0 = 01,$$

$$a_1 = 12 = A_1 2 - A_1 1 = A_1 2 - 01 \cdot x,$$

$$a_2 = 23 = A_2 3 - A_2 2 = A_2 3 - A_1 2 \cdot x,$$

$$a_3 = 34 = A_3 4 - A_3 3 = A_3 4 - A_2 3 \cdot x,$$

$$\dots \dots \dots$$

$$a_n^{-1} = \overline{n-1} \cdot n = A_{n-1} \cdot n - A_{n-1} \cdot \overline{n-1} = A_{n-1} \cdot n - A_{n-2} \cdot \overline{n-1} \cdot x,$$

$$a_n = n \cdot \overline{n+1} = A_n \cdot \overline{n+1} - A_n \cdot n = A_n \cdot \overline{n+1} - A_{n-1} \cdot n \cdot x$$

e si otterrà

$$\begin{aligned} B_n \cdot \overline{n+1} &= 01 \cdot y^n + (A_1 2 - 01 \cdot x) y^{n-1} \\ &\quad + (A_2 3 - A_1 2 \cdot x) y^{n-2} \\ &\quad + \dots \dots \dots \\ &\quad + (A_{n-1} n - A_{n-2} \overline{n-1} \cdot x) y \\ &\quad + A_n \overline{n+1} - A_{n-1} n \cdot x \\ &= (y - x) [01 \cdot y^{n-1} + A_1 2 \cdot y^{n-2} + A_2 3 \cdot y^{n-3} + \dots \\ &\quad \dots + A_{n-1} n] + A_n \cdot \overline{n+1}. \end{aligned}$$

Ma

$$B_n \cdot \overline{n+1} - A_n \cdot \overline{n+1} = B_n A_n$$

e

$$y - x = \frac{B_1 1 - A_1 1}{01} = \frac{B_1 A_1}{01};$$

dunque

$$01 \cdot \frac{B_n A_n}{B_1 A_1} = 01 \cdot y^{n-1} + A_1 2 \cdot y^{n-2} + A_2 3 \cdot y^{n-3} + \dots + A_{n-1} n.$$

Questo risultato si può enunciare così (fig. 76, dove  $n=6$ ): Nel circuito rettangolare di  $n+1$  lati  $0123 \dots n+1$  s'iscrivano due circuiti

rettangolari di  $n$  lati  $OA_1 A_2 \dots A_n$ ,  $OB_1 B_2 \dots B_n$ . Poi si formi un nuovo circuito rettangolare  $012'3' \dots n'$  di  $n$  lati, i quali siano ordinatamente paralleli ai lati del primo circuito e uguali a  $01$ ,  $A_1 2$ ,  $A_2 3$ , ...,  $A_{n-1} n$ ; e in esso s'inscriva il circuito rettangolare di  $n-1$  lati,  $0B_1 B_2' \dots B_{n-1}'$ , avente il lato  $0B_1$  comune col circuito già descritto  $0B_1 B_2 \dots B_n$ . Allora sarà

$$\frac{B_{n-1}' n'}{01} = \frac{B_n A_n}{B_1 A_1};$$

vale a dire, il segmento  $B_{n-1}' n'$  sarà il risultato della divisione di  $f(y) - f(x)$  per  $y - x$ : dove il polinomio  $f$  è quello rappresentato dal primo circuito  $012 \dots n+1$ , e le  $x$ ,  $y$  esprimono i rapporti  $A_1 1 : 01$ ,  $B_1 1 : 01$ .

In altre parole ancora, il circuito  $012'3' \dots n'$  rappresenta il polinomio

$$\frac{f(z) - f(x)}{z - x},$$

ovvero il polinomio  $f(z) : z - x$ , nel caso che  $x$  sia una radice dell'equazione  $f(z) = 0$ .

89. Gli stessi triangoli simili già considerati danno:

$$\frac{01}{OA_1} = \frac{A_1 2}{A_1 A_2} = \frac{A_2 3}{A_2 A_3} = \frac{A_3 4}{A_3 A_4} = \dots = \frac{A_{n-1} n}{A_{n-1} A_n},$$

epperò l'equazione si può anche scrivere come segue:

$$OA_1 \cdot \frac{B_n A_n}{B_1 A_1} = OA_1 \cdot y^{n-1} + A_1 A_2 \cdot y^{n-2} + A_2 A_3 \cdot y^{n-3} + \dots + A_{n-1} A_n,$$

risultato che s'interpreta così (fig. 77):

Nel circuito rettangolare di  $n+1$  lati  $0123 \dots n+1$  (fig. 77, dove  $n=6$ ) si inscrivano i due circuiti rettangolari di  $n$  lati,  $OA_1 A_2 \dots A_n$ ,  $OB_1 B_2 \dots B_n$ ; e nel primo di essi s'inscriva un circuito rettangolare di  $n-1$  lati  $0C_1 C_2 \dots C_{n-1}$ , dove sia

$$\frac{C_1 A_1}{OA_1} = y = \frac{B_1 1}{01};$$

allora sarà

$$\frac{B_n A_n}{B_1 A_1} = \frac{C_{n-1} A_n}{OA_1};$$

vale a dire,  $C_{n-1} A_n$  è ancora uguale al quoziente

$$\frac{f(y) - f(x)}{y - x}$$

moltiplicato però per  $\frac{OA_1}{01}$ .

In altre parole: ridotte le lunghezze nel rapporto  $OA_1 : 01$ , il circuito  $OA_1 A_2 \dots A_n$  rappresenta il polinomio

$$\frac{f(z) - f(x)}{z - x},$$

ovvero il polinomio  $f(z): z-x$  nel caso che  $x$  sia una radice dell'equazione  $f(z)=0$ .

Dunque ogni circuito rettangolare di  $n$  lati inscritto nel circuito dato e avente con questo i termini comuni è un circuito risolvante rispetto al dato medesimo, giacchè rappresenta il quoziente che risulta dal dividere il polinomio rappresentato dal circuito dato per uno de' suoi fattori lineari.

90. Sia ancora il polinomio intero di grado  $n$ ,  $f(z)$ , rappresentato dal contorno  $0123\dots n+1$ ; nel quale vengano inscritti (fig. 78) i due contorni  $0A_1A_2\dots A_n, 0B_1B_2\dots B_n$ . Supponiamo che i punti  $A_n, B_n$  coincidano entrambi coll'estremo  $n+1$  del contorno dato; vale a dire, siano  $0A_1A_2\dots, 0B_1B_2\dots$  due contorni risolvanti rispetto al contorno dato. Siano poi  $L_1, L_2, \dots, L_{n-2}$  i punti d'intersezione delle coppie di lati  $A_1A_2$  e  $B_1B_2$ ,  $A_2A_3$  e  $B_2B_3$ ,  $\dots$ ,  $A_{n-2}A_{n-1}$  e  $B_{n-2}B_{n-1}$ . I triangoli  $0A_1B_1, L_1A_2B_2$  sono simili, per avere i lati corrispondenti ortogonali; e per la stessa ragione sono simili i triangoli  $A_1B_1L_1, A_2B_2L_2$ : dunque sono simili i quadrangoli  $0A_1B_1L_1, L_1A_2B_2L_2$ , donde segue essere perpendicolari fra loro i lati  $0L_1, L_1L_2$ . Medesimamente si dimostrano retti gli angoli  $L_1L_2L_3, L_2L_3L_4, \dots, L_{n-3}L_{n-2} \overline{n+1}$ .

Dunque i punti  $0L_1L_2\dots L_{n-2} \overline{n+1}$  sono i vertici di un contorno (di  $n-1$  lati) che è rettangolare ed inscritto così nel contorno  $0A_1A_2\dots$  come nel contorno  $0B_1B_2\dots$ ; vale a dire,  $0L_1L_2\dots$  è un contorno risolvante rispetto a ciascuno dei contorni  $0A_1A_2\dots, 0B_1B_2\dots$ . In altre parole, ridotte le lunghezze nel rapporto  $\frac{0L_1}{01}$ , il contorno  $0L_1L_2\dots L_{n-2} \overline{n+1}$  rappresenta il polinomio di grado  $n-2$

$$\frac{f(z)}{(z-x)(z-y)}$$

essendo  $x=0A_1:01, y=0B_1:01$ .

91. Sia data l'equazione di 2° grado

$$a_0x^2 + a_1x + a_2 = 0.$$

Costruito il circuito 0123 (fig. 79), i cui lati 01, 12, 23 esprimono i coefficienti  $a_0, a_1, a_2$ , per trovarne una radice, basterà formare un angolo retto il cui vertice  $A$  cada su 12, e i cui lati passino per 0,3. Dunque descrivasi il semicerchio sul diametro 03; se esso sega 12 in due punti  $A_1, A_2$ , saranno  $\frac{A_11}{a_0}, \frac{A_21}{a_0}$  le radici dell'equazione proposta.

Per le note proprietà del cerchio, si ha

$$A_21 = 2A_1,$$

dunque

$$A_11 + A_21 = 2A_1 + A_11 = 21,$$

ossia

$$\frac{A_11 + A_21}{a_0} = -\frac{a_1}{a_0},$$

vale a dire: la somma delle radici è  $-\frac{a_1}{a_0}$ .

Poi, i triangoli simili  $0A_1, A_123$  danno

$$01:A_11 = A_12:32,$$

4 CREMONA, Elem. di calcolo grafico.



$$a_0 : A_1 t = - A_2 t : - a_2,$$

donde

$$\frac{A_1 t \cdot A_2 t}{a_0^2} = \frac{a_2}{a_0};$$

vale a dire: il prodotto delle radici è  $\frac{a_2}{a_0}$ .

Basandosi sul teorema che precede (N. 88), il sig. LILL ha ideato un semplice apparecchio, avente per iscopo la determinazione delle radici di una data equazione numerica. L'apparecchio consiste in un disco circolare, che può essere di legno, perfettamente piano, sul quale è incollata una carta quadrettata. Dal centro del disco, che deve restare fisso, sorge un perno intorno al quale può ruotare un altro disco di ugual diametro, di vetro smerigliato. Il vetro essendo trasparente, coll'ajuto della carta quadrettata sottoposta, si può immediatamente disegnare su di esso il circuito corrispondente all'equazione proposta. In seguito, facendo girare il piatto di vetro, la carta quadrettata guida l'occhio a riconoscere il circuito che determina una radice. Una graduazione della circonferenza del disco quadrettato permette che dalla deviazione del primo lato del secondo circuito dal primo lato del primo circuito si concluda la grandezza della radice. A quest'uopo, il primo lato del circuito corrispondente all'equazione deve dirigersi verso lo zero della graduazione.

## VII.

### Trasformazione delle figure piane (\*).

**92.** Ridurre una data figura ad una data base  $b$  significa trasformare quella figura in un rettangolo la cui base sia  $b$ , ossia trovare una retta  $f$  che moltiplicata per  $b$  dia l'area della figura proposta. Invece di costruire un rettangolo di base  $b$ , si potrà costruire un triangolo di base  $2b$ ; l'altezza di questo triangolo sarà la retta  $f$  domandata. Il segmento  $b$  dicesi base di riduzione.

Quando più figure si riducono ad una stessa base  $b$ , le corrispondenti rette  $f_1, f_2 \dots$  riescono proporzionali alle aree di quelle; donde segue che la riduzione di una figura ad una data base equivale alla determinazione dell'area della figura medesima.

La figura data sia il triangolo  $OAB'$  (fig. 80), la cui base  $OA$  s'indichi con  $a$ , e l'altezza con  $h$ . Dovendo l'area conservarsi inalterata dalla trasformazione, avremo  $fb = \frac{1}{2}ah$ , donde

---

(\*) CULMANN, *l. c.*, N. 5.

$$f = a \cdot \frac{h}{2b} = h \frac{a}{2b},$$

vale a dire, si tratta di moltiplicare  $a$  pel rapporto  $h:2b$ , oppure  $h$  pel rapporto  $a:2b$ .

Dunque, presa  $OC = 2b$  e condotta  $CB$ , si tiri  $AD$  parallela a  $CB$ .

Oppure, preso in  $OB$  quel punto  $D$ , la cui distanza da  $OA$  è  $=2b$ , si tirino le  $DA$ ,  $BC$  parallele.

Condotta la  $CD$ , saranno equivalenti i triangoli  $OAB$ ,  $OCD$ , perchè si ottengono aggiungendo o togliendo ad uno stesso triangolo  $OAD$  (secondo che sia  $OC$  maggiore o minore di  $OA$ ) i triangoli equivalenti  $ADB$ ,  $ADC$ . Dunque il cercato segmento  $f$  sarà, nella prima costruzione, l'altezza del punto  $D$  sulla  $OC$ , e nella seconda la lunghezza  $OC$ .

93. Non è necessario che una delle dimensioni  $2b$ ,  $f$  cada in un lato del triangolo dato. Si può prendere come doppia base  $2b$  una retta  $BC$  (fig. 81) condotta dal vertice  $B$  sul lato opposto  $OA$ , purchè  $2b$  non sia minore della distanza di  $B$  da  $OA$ ; allora la corrispondente altezza  $f$  sarà  $OD$ , antiproiezione di  $OA$  sulla  $BC$ . Oppure si potrà, se  $2b$  non è maggiore di  $OA$ , assumere per doppia base  $2b$  la  $OD$ , corda del semicerchio di diametro  $OA$ : in questo caso l'altezza  $f$  sarà la  $BC$  parallela alla corda supplementare  $DA$ .

94. Si debba ridurre alla base  $b$  il quadrilatero  $ABCD$  (fig. 82); condotta  $CO$  parallela alla diagonale  $BD$ , il quadrilatero si trasforma nel triangolo  $OAB$ ; quindi si procederà come fu detto sopra; cioè, p. e.: tirata la  $BC' = 2b$ , l'antiproiezione  $OD'$  (di  $OA$  su  $BC'$ ) sarà la dimensione cercata  $f$ .

95. Si può operare la riduzione anche senza prima trasformare il dato quadrilatero  $ABCO$  in un triangolo. Presa come ipotenusa la diagonale  $OB$  (fig. 83, 84, 85, 86), supposta non minore di  $2b$ , si costruisca un triangolo rettangolo  $ODB$ , il cateto  $BD$  del quale sia uguale a  $2b$ . Proiettinsi, mediante raggi paralleli ad  $OB$ , i punti  $A$ ,  $C$  in  $A'$ ,  $C'$  sull'altro cateto: i triangoli  $OCB$ ,  $OBA$  saranno equivalenti ai due  $OC'B$ ,  $OBA'$ : ma in questi la distanza della base  $OC'$  od  $A'O$  dal vertice opposto è uguale a  $2b$ ; dunque la dimensione  $f$  pel quadrilatero sarà  $OC' + A'O = A'C'$ .

Nel quadrilatero intrecciato (N. 47) della fig. 87\*, se  $AC$  è parallela a  $BO$ , i punti  $A'$ ,  $C'$  coincidono, epperò  $f=0$ . Infatti, in questo caso l'area  $ABCO$  è uguale alla somma di due triangoli  $UAB$ ,  $UCO$ , che sono uguali, ma opposti di segno.

96. La dimensione  $f$  è anche uguale al segmento determinato dalle  $AA'$ ,  $CC'$  sulla retta condotta per  $A$  o per  $C$  e parallela ad  $A'C'$ .

97. La costruzione precedente suppone  $2b$  non maggiore della maggior diagonale  $OB$  del quadrilatero. Se  $2b > OB$ , si potranno invertire fra loro le dimensioni  $2b$  ed  $f$ . Cioè conducasi  $AE$  parallela ad  $OB$  e facciasi  $CE = 2b$ ; poi, costruito sull'ipotenusa  $OB$  un triangolo rettangolo  $ODB$  che abbia un cateto  $OD$  parallelo a  $CE$ , l'altro cateto  $BD$  sarà  $= f$ .

98. Per ridurre ad una data base un poligono, il cui perimetro sia intrecciato o no, si comincerà dal trasformarlo in un quadrilatero equivalente. Quindi si applicherà al quadrilatero la costruzione suindicata per ottenere quel segmento  $f$  che, moltiplicato per la base  $b$ , fornisce l'area del poligono proposto.

Il poligono dato sia 012345678 (fig. 88); conducendo

la retta	8'7'	parallela alla diagonale	07,
»	7'6'	»	» 06,
»	6'5'	»	» 05,
»	5'4'	»	» 04,
»	4'3'	»	» 03,

il poligono si trasforma successivamente ne' poligoni equivalenti 01234567', 0123456', 012345', 01234', 0123', che man mano hanno un lato di meno (\*). Finalmente si giunge al quadrilatero 0123'.

99. In questa costruzione i nuovi lati 07', 06', 05'... de' poligoni trasformati sono raggi uscenti dal vertice fisso 0. Ma si può anche procedere in modo che tutti i nuovi vertici 7', 6', 5',... cadano sopra un lato fisso.

Abbiasi p. e. (fig. 89) il circuito  $Aabcde$  C012345; conducendo

11'	parallela a	20	} sino ad incontrare il lato fisso 0C,
22'	»	31'	
33'	»	42'	
44'	»	53'	
5D	»	A4'	

(\*) I triangoli 078, 077' sono equivalenti, perchè le rette 07, 87' sono parallele; togliendo il primo ed aggiungendo il secondo triangolo al poligono dato, si ottiene il nuovo poligono 01234567'. E così di seguito.

si determina la retta  $AD$  che può essere sostituita alla spezzata  $A543210$ . Infatti, essendo parallele le  $11'$ ,  $20$ , sono equivalenti i triangoli  $120$ ,  $1'20$ ; e togliendo il primo, aggiungendo il secondo al poligono dato, questo si trasforma in  $AabcdeC1'2345$ . Così, essendo equivalenti i triangoli  $1'23$ ,  $1'2'3$ , l'ultimo poligono si trasforma in  $AabcdeC2'345$ ; e via di seguito, sinchè si arriva al circuito  $AabcdeCD$ .

Per operare una simigliante trasformazione della spezzata  $AabcdeC$ , si conducano

$$\left. \begin{array}{ll} bb' \text{ parallela a } ca \\ cc' & \text{»} \quad db' \\ dd' & \text{»} \quad ec' \\ eB & \text{»} \quad Cd' \end{array} \right\} \text{ sino a incontrare il lato fisso } Aa,$$

e tutto il poligono  $AabcdeCD$  si troverà ridotto al quadrilatero equivalente  $ABCD$ .

**100.** Questo metodo è il più comodo e conveniente per trovare le aree di figure i cui perimetri siano conformati ne' modi più svariati. Con un po' d'esercizio si impara ad eseguire la trasformazione affatto meccanicamente, e senza aver alcun riguardo alla forma del circuito proposto. Queste costruzioni permettono inoltre d'aver riguardo ai segni; così che, se si ha a fare con aree di segno diverso, il risultato dà senz'altro a conoscere il segno che gli compete (\*).

Si abbia per es. il circuito intrecciato (fig. 90)  $ABCO1234$ , rappresentante la sezione di una massa di terra, in isterro e riporto. Conducendo

$$\left. \begin{array}{ll} 11' \text{ parallela a } 20 \\ 22' & \text{»} \quad 31' \\ 33' & \text{»} \quad 42' \\ 4D & \text{»} \quad A3' \end{array} \right\}$$

sino ad incontrare il lato  $CO$ , si trasforma il poligono dato nell'equivalente quadrilatero  $ABCD$ : il quale dà per conseguenza la differenza fra l'area di riporto  $ABCI4$  e quella di sterro  $IO123$ , le quali sono di segno contrario. Il circuito  $ABCD$  avrà lo stesso senso del circuito  $ABCI4$  o del circuito  $IO123$ , secondo che è maggiore il riporto o lo sterro (\*\*).

**101. Figure circolari.** Un settore circolare  $OAB$  (fig. 94) è equivalente ad un triangolo  $OAC$  che abbia il vertice nel centro  $O$  e per base una porzione  $AC$  di tangente uguale all'arco  $AB$ . Per

(\*) CULMANN, *l. c.*, p. 28. -- (\*\*) *Ibid.*, p. 29.

isviluppare (con approssimazione) l'arco  $AB$  sulla tangente, si assume dapprima un piccolo arco  $\alpha$ , che possa con errore trascurabile essere surrogato dalla sua corda  $a$ ; si applica la corda  $a$  sull'arco dato, a partire dall'estremo  $B$ , e si ripete successivamente quante volte è possibile, sino a che si cada nel punto  $A$  o in un punto prossimo  $A'$ . Allora, partendo da  $A'$ , si porterà lo stesso numero di volte la corda  $a$  sulla tangente  $AC$  (\*).

Il settore circolare  $OAB$  equivale adunque al triangolo rettilineo  $OAC$ . Il segmento circolare  $AB$  (ossia l'area compresa fra l'arco e la corda  $AB$ ) è la differenza de' triangoli  $OAC$ ,  $OAB$ , epperò equivale al quadrilatero intrecciato  $OBAC$ .

**102.** Non è necessario che la tangente, sulla quale si sviluppa l'arco, passi per un estremo dell'arco medesimo, ma può invece toccarlo in un altro punto qualunque  $T$  (fig. 92); allora si sviluppa l'arco  $AT$  sulla  $CT$  e l'arco  $BT$  sulla  $DT$ . Il settore  $OAB$  si trasforma nel triangolo  $OCD$ ; ed il segmento circolare  $AB$  equivale alla differenza  $OCD - OAB$ , ossia alla figura intrecciata  $OCDOBAO$ , che è da considerarsi come un esagono, due vertici del quale sono riuniti in  $O$  (fig. 93). Condotte  $OB'$ ,  $OA'$  parallele rispettivamente alle  $AC$ ,  $BD$ , i triangoli  $OAC$ ,  $OBD$  si trasformano in  $B'AC$ ,  $A'BD$ ; epperò il segmento circolare è equivalente al quadrilatero  $A'B'CD$ .

**103.** Esempio. La figura da ridursi sia il quadrilatero mistilineo  $ACD3$ , compreso fra gli archi circolari non concentrici  $AC$ ,  $3D$  e le rette  $CD$ ,  $A3$  (fig. 94). I centri de' due archi siano  $O$ ,  $1$ ; la data figura sarà uguale al settore  $OAC$  diminuito dal settore  $13D$  e del quadrilatero  $OA1C$ . Sviluppando i due archi sulle rispettive tangenti iniziali  $AB$ ,  $32$ , i due settori circolari si trasformano nei triangoli  $OAB$ ,  $132$ ; ond'è che la figura data sarà uguale al triangolo  $OAB$  diminuito dello spazio  $OA321C0$ , uguale cioè al poligono intrecciato  $ABOC123A$ . Il quale, tirando

$11'$	parallela a	$2C$ ,
$22'$	»	$31'$ ,
$3C'$	»	$A2'$ ,

sino ad incontrare il lato fisso  $OC$ , si trasforma nel quadrilatero intrecciato  $ABOC'$ . Quindi si troverà l'area  $bf$  di questo quadri-

---

(\*) CULMANN, *l. c.*, p. 37. Veggansi in una nota alla fine di questo libretto una regola di RANKINE per rettificare con approssimazione gli archi circolari, ed una lettera del prof. A. SAYNO sullo stesso soggetto.

latero col solito metodo; cioè, si costrurrà sulla diagonale  $AO$  (come ipotenusa) un triangolo rettangolo, un cateto del quale sia  $AE = 2b$ ; la dimensione  $f$  sarà la distanza, misurata parallelamente al secondo cateto, del punto  $B$  dalla retta parallela ad  $AO$  e passante per  $C'$ .

104. Come altro esempio, vogliasi determinare l'area della figura 95, che rappresenta la sezione di un ferro ad  $U$ , e che è composta: 1° di una lunula  $AEA'F$  compresa fra due archi circolari, l'uno di centro  $U$ , l'altro di centro  $O$ ; 2° di una corona  $CBFB'C'$  compresa fra due archi circolari  $BB'$ ,  $CC'$  concentrici (centro  $O$ ); 3° di due parti rettilinee (\*) uguali  $BCJIH$ ,  $B'C'J'I'H'$ , simmetriche rispetto alla retta  $OUFFE$ , che è pure asse di simmetria per l'intera figura.

La lunula è uguale al settore  $UAEA'$ , più il quadrilatero  $OAUA'$ , meno il settore  $OAF A'$ , ossia è uguale alla somma  $UAEA' + OAUA' + AOA'F$ . Trasformati i due settori predetti ne' triangoli  $UAD$ ,  $AOG$  (dove  $AD$ ,  $AG$  rappresentano gli sviluppi degli archi  $AEA'$ ,  $AFA'$  sulle rispettive tangenti iniziali), la lunula sarà uguale alla somma  $UAD + OAUA' + AOG$ , ossia (percorrendo questi tre circuiti consecutivamente, come se formassero un circuito solo) all'area del circuito  $ADUA'OAOGA$ . In questo circuito si può omettere la parte  $OA$  che è percorsa due volte in senso contrario (N. 22); dunque la lunula equivale all'esagono intrecciato  $ADUA'OGA$ .

La corona si consideri come differenza de' settori  $OB B'$ ,  $OC C'$ . Sviluppando gli archi sulle tangenti medie  $PP'$ ,  $QQ'$ , siccome le rette  $PQ$ ,  $P'Q'$  passano per  $O$ , così la corona riesce uguale al trapezio  $PP'Q'Q$ , che è la differenza de' due triangoli  $OPP'$ ,  $OQQ'$  equivalenti ai settori anzidetti.

Se ora si riducono alla base  $b$  l'esagono  $ADUA'OG$ , il trapezio  $PP'Q'Q$  ed il pentagono  $BCJIH$ , e si trovano le corrispondenti misure  $f$ ,  $f_1$ ,  $f_2$ , sarà  $b(f + f_1 + 2f_2)$  l'area della figura proposta (\*\*).

Ovvero si consideri la figura data come aggregato di triangoli e trapezi, nel modo che segue:

$$UAD + 2OAU - OAG + OPP' - OQQ' + 2BCKH + 2CJIK$$

(dove la retta  $CK$  fu condotta parallelamente alle  $BH$ ,  $JI$ ); si

(\*) Diciamo rettilinee, perchè immaginiamo surrogati i piccoli archi  $CJ$ ,  $C'J'$  dalle rispettive corde.

(\*\*) Nella fig. 95 si è trovato a dirittura il  $2f_2$ , adoperando  $b$  invece di  $2b$  nella riduzione della figura  $B'C'J'I'H'$ .

considerino le aree di queste parti triangolari o trapezie come prodotti di due fattori; e si riducano questi prodotti alla base  $b$  mediante il poligono di moltiplicazione. S'intende da sè che per ciascuna area da sottrarsi uno de' fattori dovrà essere preso negativamente (fig. 95 bis).

**105. Figure curvilinee in generale** (\*). — È proprietà notissima della parabola che un segmento parabolico (fig. 96) equivale a  $\frac{4}{3}$  del triangolo, la cui base sia la corda della parabola, che è base del segmento, ed il vertice sia il punto dell'arco ove la tangente è parallela alla base, vale a dire, il segmento parabolico equivale ad un triangolo, la cui base sia la corda e la cui altezza sia  $\frac{4}{3}$  della saetta: chiamando saetta la distanza normale fra la corda e la tangente dell'arco parallela alla corda.

**106.** Un metodo di trasformazione delle figure curvilinee consiste nel considerare le piccole porzioni del contorno curvilineo come archi di parabola.

Se una linea curva (fig. 97) è divisa in piccoli archi, ciascuno de' quali possa approssimativamente essere riguardato come arco parabolico; e se i segmenti parabolici contenuti dagli archi e dalle rispettive corde si trasformano in triangoli, le cui basi siano le corde stesse, i vertici di questi triangoli si potranno prendere arbitrariamente su rette che siano parallele alle corde e da esse abbiano distanze uguali ai  $\frac{4}{3}$  delle rispettive saette. Prendansi questi vertici in modo che il vertice di ogni nuovo triangolo sia sul prolungamento di un lato del triangolo precedente, vale a dire che i vertici di due triangoli successivi siano sempre in linea retta col punto comune alle loro basi. Allora il circuito curvilineo si troverà trasformato in un circuito rettilineo equivalente, formato da tanti lati quanti sono i segmenti in cui fu diviso il circuito dato. Il circuito o poligono rettilineo verrà poi di nuovo trasformato in un quadrilatero e poi ridotto alla base data, nel modo che fu già esposto.

**107. Esempio.** Vogliasi (fig. 98) alla linea irregolare  $AB$  di confine fra due proprietà sostituire una spezzata di due tronchi rettilinei, avente i termini in  $A, B$ .

Si consideri il circuito formato dalla curva  $AB$  e dalla retta  $BA$ , e si trasformi in un triangolo di base  $BA$ . A tale uopo si divida la curva  $AB$  in piccoli archi; si tirino le corde ed ai segmenti così formati si sostituiscano de' triangoli, secondo il processo dianzi esposto; per tal modo il circuito anzidetto si sarà trasformato nel poligono rettilineo  $A012345B$ . Poi conducendo

11'	parallela a	20
22'	"	31'
33'	"	42'
44'	"	53'
5C	"	B4'

sino ad incontrare il lato fisso  $A0$ , cotesto poligono sarà trasformato nel triangolo  $ACB$ ; epperò alla linea irregolare data si saranno sostituiti i due tronchi rettilinei  $AC, CB$ . Il punto  $C$  si potrebbe spostare ad arbitrio sopra una linea parallela ad  $AB$ , giacchè per tal guisa l'area  $ACB$  non viene alterata.

(\*) CULMANN, *l. c.*, N. 12.

**108.** La riduzione delle aree ad una base data suggerisce un'altra costruzione della risultante di più segmenti  $A_1B_1, A_2B_2, \dots$ , dati di grandezza, senso e posizione (fig. 99). Assumasi un punto  $O$  come origine di un circuito poligonale, i cui lati siano ordinatamente equipollenti ai segmenti dati; e sia  $N$  il termine del circuito. Si trasformino i triangoli  $OA_1B_1, OA_2B_2, \dots$ , riducendoli alla base comune  $ON$ : e propriamente si trasformino quei triangoli in modo che abbiano un vertice in  $O$  e la base opposta sia equipollente ad  $ON$ . Allora anche la somma  $OA_1B_1 + OA_2B_2 + \dots$ , si troverà trasformata in un triangolo  $OAB$ , dove  $AB$  è equipollente ad  $ON$ . Il segmento  $AB$  è la risultante domandata (N. 43).

Per operare la trasformazione sovraccennata converrà prendere le origini  $A_1, A_2, \dots$ , de' segmenti, in linea retta con  $O$ . Proiettando i punti  $B_1, B_2, \dots$  in  $B'_1, B'_2, \dots$  sulla  $ON$ , mediante raggi paralleli alla  $OA_1A_2, \dots$ , i triangoli  $OA_1B_1, OA_2B_2, \dots$ , si trasformano in  $OA_1B'_1, OA_2B'_2, \dots$ . Indi conducansi le  $B'_1C_1, B'_2C_2, \dots$ , ordinatamente parallele alle  $NA_1, NA_2, \dots$  e siano  $C_1, C_2, \dots$  i punti in cui esse segano la  $OA_1A_2, \dots$ ; onde si avranno i triangoli  $OC_1N, OC_2N, \dots$ , rispettivamente equivalenti ad  $OA_1B'_1, OA_2B'_2, \dots$ . Perciò se nella  $OA_1A_2, \dots$  si prende il segmento  $OA = OC_1 + OC_2 + \dots$ , e se per  $A$  si conduce  $AB$  equipollente ad  $ON$ , sarà  $OAB = OA_1B_1 + OA_2B_2 + \dots$ .

## VIII.

### Baricentri.

**109.** Ne' teoremi dei N<sup>ri</sup> 40, 41 suppongansi i punti  $B_1, B_2, \dots, B_n$  tutti coincidenti in un solo punto  $G$ . Allora quegli enunciati si riducono ai seguenti:

Se  $A_1G, A_2G, \dots, A_nG$  sono  $n$  segmenti la cui risultante sia zero, assunto un punto  $O$  ad arbitrio nel piano, la risultante de' segmenti  $OA_1, OA_2, \dots, OA_n$  sarà uguale (equipollente) ad  $n$  volte il segmento  $OG$  (fig. 100).

Viceversa, dati  $n$  punti  $A_1, A_2, \dots, A_n$ , se la risultante delle rette  $OA_1, OA_2, \dots, OA_n$  che congiungono un polo  $O$  ai punti dati è uguale a  $n$  volte la retta  $OG$  che da  $O$  va ad un punto  $G$ , la stessa proprietà avrà luogo per qualsivoglia altro polo  $O'$ ; cioè la risultante



delle  $O'A_1, O'A_2, \dots, O'A_n$  sarà  $n$  volte il segmento  $O'G$ ; e la risultante delle  $GA_1, GA_2, \dots, GA_n$  sarà nulla (\*).

110. Il punto  $G$  dicesi baricentro de' punti  $A_1, A_2, \dots, A_n$ . Dati i punti  $A_1, A_2, \dots, A_n$  (fig. 101, dove  $n=4$ ) per costruire il loro baricentro  $G$ , si procederà come segue: preso un polo arbitrario  $O$ , si costruisca un circuito  $OA_1 A_2 \dots A_n$ , la cui origine sia  $O$  e i cui lati siano successivamente equipollenti ai segmenti  $OA_1, OA_2, \dots, OA_n$ . La retta  $On$  che chiude il circuito passerà pel punto  $G$ , e sarà  $OG = \frac{On}{n}$ . Invece di dividere  $On$  in  $n$  parti uguali,

per ottenere  $G$  si potrà costruire un secondo circuito, partendo da un'altra origine  $O'$ ; la retta che chiude questo nuovo circuito segnerà  $On$  nel punto  $G$  cercato.

111. Il sistema degli  $n$  punti dati non può avere un altro baricentro  $G'$ . Infatti, se oltre ad essere nulla la risultante di  $GA_1, GA_2, \dots, GA_n$ , fosse anche nulla la risultante di  $G'A_1, G'A_2, \dots, G'A_n$ , sarebbe nulla la risultante generale di tutti i segmenti  $GA_1, A_1G', GA_2, A_2G', \dots, GA_n, A_nG'$ . Ma componendo i due segmenti  $GA_r, A_rG'$  si ha il segmento  $GG'$ ; dunque dev'essere nullo  $GG'$ , ossia  $G'$  dee coincidere con  $G$ .

112. Se anche nel teorema del N. 42 si suppongono coincidenti i punti  $B_1, B_2, \dots, B_n$  in un solo punto  $G$ , si ottiene l'enunciato:

Se  $G$  è il baricentro de' punti  $1, 2, 3, \dots, n$ , e se tutti questi punti si proiettano in  $G', 1', 2', 3', \dots, n'$  su di una retta, mediante raggi paralleli, la somma delle rette  $11', 22', 33', \dots, nn'$  sarà uguale ad  $n$  volte la retta  $GG'$  (fig. 102).

In virtù di questo teorema, siccome  $rr'$  è la distanza (obliqua) del punto  $r$  dalla retta sulla quale si è eseguita la proiezione, così il punto  $G$  vien denominato anche centro delle medie distanze dei punti dati  $1, 2, 3, \dots, n$  (\*\*).

113. Invece di supporre ne' teoremi dei N. 40, 41 che tutti i punti  $B_1, B_2, \dots, B_n$  coincidano in un solo  $G$ , immaginiamo ora che alcuni di essi  $B_1, B_2, \dots, B_i$  siano distinti dai rimanenti, i quali coincidano in un solo  $G$ ; sicchè sarà nulla la risultante de' segmenti  $A_1B_1, A_2B_2, \dots, A_iB_i, A_{i+1}G, \dots, A_nG$ , e, qualunque sia  $O$ , la risultante di  $OA_1, OA_2, \dots, OA_n$  sarà uguale alla risultante

(\*) GRASSMANN, l. c., p. 141. — CHELINI, *Sui centri de' sistemi geometrici*. (Raccolta scientifica, Roma, marzo 1849), § 1.

(\*\*) CARNOT, *Corrélation des figures de géométrie* (Paris 1801), n. 209.

di  $OB_1, OB_2, \dots, OB_i, (n-i) OG$ . La prima di queste uguaglianze non si altera se invece del segmento  $A_r B_r$  poniamo i due  $A_r G, G B_r$ , ovvero  $A_r G, -B_r G$ ; e anche la seconda uguaglianza continuerà a sussistere se all'una e all'altra risultante si aggiungano i segmenti  $B_1 O, B_2 O, \dots, B_i O$ , sicchè ne verrà l'uguaglianza fra la risultante delle  $OA_1, OA_2, \dots, OA_n, B_1 O, B_2 O, \dots, B_i O$  e la risultante delle  $OB_1, OB_2, \dots, OB_i, B_1 O, B_2 O, \dots, B_i O, (n-i) OG$ , ossia fra la risultante delle  $OA_1, OA_2, \dots, OA_n, -OB_1, -OB_2, \dots, -OB_i$  e la  $(n-i) OG$ . Dunque:

Se è nulla la risultante de' segmenti  $A_1 G, A_2 G, \dots, A_n G, -B_1 G, -B_2 G, \dots, -B_i G$ , per qualunque punto  $O$  sarà la risultante de' segmenti  $OA_1, OA_2, \dots, OA_n, -OB_1, -OB_2, \dots, -OB_i$  uguale ad  $(n-i) OG$ ; e viceversa se per un polo  $O$  sussiste questa uguaglianza, essa sussisterà per qualsivoglia altro polo  $O'$ , e sarà nulla la risultante de' segmenti  $A_1 G, A_2 G, \dots, A_n G, -B_1 G, -B_2 G, \dots, -B_i G$ .

144. Degli  $n$  punti  $A_1, A_2, \dots, A_n$  suppongo ora che alcuni coincidano insieme in un solo punto, altri coincidano del pari in un altro punto ecc.; e che anche i punti  $B_1, B_2, \dots, B_i$  si riuniscano e coincidano per gruppi. Allora, indicando con  $\alpha_1, \alpha_2, \alpha_3, \dots$  numeri interi, positivi o negativi, la cui somma sia  $m$ , il teorema che precede potrà enunciarsi così:

Se i punti  $A_1, A_2, A_3, \dots$  e  $G$  sono tali che sia nulla la risultante de' segmenti  $\alpha_1 A_1 G, \alpha_2 A_2 G, \alpha_3 A_3 G, \dots$ , qualunque sia il polo  $O$  sarà  $m.OG$  uguale alla risultante de' segmenti  $\alpha_1.OA_1, \alpha_2.OA_2, \alpha_3.OA_3, \dots$ .

E viceversa: se per un polo  $O$  sussiste questa proprietà, che  $m.OG$  sia uguale alla risultante di  $\alpha_1.OA_1, \alpha_2.OA_2, \alpha_3.OA_3, \dots$ , la medesima proprietà sussisterà per qualsivoglia altro polo  $O'$ , cioè la risultante de' segmenti  $\alpha_1.O'A_1, \alpha_2.O'A_2, \alpha_3.O'A_3, \dots$ , sarà uguale ad  $m.O'G$ ; e la risultante de' segmenti  $\alpha_1.GA_1, \alpha_2.GA_2, \alpha_3.GA_3, \dots$ , sarà zero.

145. Il punto  $G$  dicesi baricentro de' punti  $A_1, A_2, A_3 \dots$  ai quali siano applicati i coefficienti  $\alpha_1, \alpha_2, \alpha_3, \dots$ : ovvero, per brevità di discorso diremo che  $G$  è il baricentro de' punti  $\alpha_1.A_1, \alpha_2.A_2, \alpha_3.A_3, \dots$ , scrivendo dinanzi a ciascun punto il coefficiente che gli spetta.

146. Dal teorema del N. 42 si ha poi:

Se  $G$  è il baricentro de' punti  $\alpha_1.A_1, \alpha_2.A_2, \alpha_3.A_3, \dots$ ,

e se i punti  $G, A_1, A_2, A_3, \dots$ , si proiettano in  $G', A'_1, A'_2, A'_3, \dots$ , su di una retta, mediante raggi paralleli, la somma delle rette  $\alpha_1 \cdot A_1 A'_1, \alpha_2 \cdot A_2 A'_2, \alpha_3 \cdot A_3 A'_3, \dots$ , è uguale ad  $m \cdot GG'$ , dove  $m = \alpha_1 + \alpha_2 + \alpha_3 + \dots$ .

Per questa proprietà,  $G$  dicesi anche centro delle medie distanze de' punti  $\alpha_1 A_1, \alpha_2 A_2, \alpha_3 A_3, \dots$  (\*).

417. Sin qui i coefficienti  $\alpha_1, \alpha_2, \alpha_3, \dots$ , applicati ai punti dati  $A_1, A_2, A_3, \dots$ , sono numeri interi, positivi o negativi. Ora estenderemo il concetto di baricentro al caso che le  $\alpha_1, \alpha_2, \alpha_3, \dots$  siano numeri qualsivogliano, o piuttosto siano segmenti paralleli, proporzionali a grandezze arbitrariamente date.

Siano dati adunque i punti  $A_1, A_2, A_3, \dots$ , ai quali siano applicati i numeri o i segmenti paralleli  $\alpha_1, \alpha_2, \alpha_3, \dots$ . Su di una retta  $p'$  si proiettino, con raggi paralleli ad una direzione fissata ad arbitrio, i punti dati, in  $A'_1, A'_2, A'_3, \dots$ ; e con raggi paralleli ad un'altra direzione, pure fissata ad arbitrio, si proiettino gli stessi punti dati in  $A''_1, A''_2, A''_3, \dots$ , su di una seconda retta  $p''$ , non parallela a  $p'$ . Ora si determini una retta  $r'$  parallela a  $p'$ , tale che la distanza da  $r'$  a  $p'$ , misurata parallelamente ai raggi  $A_1 A'_1, A_2 A'_2, \dots$ , sia uguale ad

$$\frac{\alpha_1 \cdot A_1 A'_1 + \alpha_2 \cdot A_2 A'_2 + \alpha_3 \cdot A_3 A'_3 + \dots}{\alpha_1 + \alpha_2 + \alpha_3 + \dots};$$

e così pure si determini una retta  $r''$  parallela a  $p''$ , tale che la distanza da  $r''$  a  $p''$ , misurata parallelamente ai raggi  $A_1 A''_1, A_2 A''_2, \dots$ , sia uguale ad

$$\frac{\alpha_1 \cdot A_1 A''_1 + \alpha_2 \cdot A_2 A''_2 + \alpha_3 \cdot A_3 A''_3 + \dots}{\alpha_1 + \alpha_2 + \alpha_3 + \dots}.$$

Indicando con  $G$  il punto comune alle  $r', r''$ , e con  $G', G''$  le proiezioni di  $G$  sulle  $p', p''$ , fatte con raggi rispettivamente paralleli alle  $A_1 A'_1, A_1 A''_1$ , si avrà dunque

$$\alpha_1 \cdot A_1 A'_1 + \alpha_2 \cdot A_2 A'_2 + \alpha_3 \cdot A_3 A'_3 + \dots = (\alpha_1 + \alpha_2 + \alpha_3 \dots) GG',$$

$$\alpha_1 \cdot A_1 A''_1 + \alpha_2 \cdot A_2 A''_2 + \alpha_3 \cdot A_3 A''_3 + \dots = (\alpha_1 + \alpha_2 + \alpha_3 \dots) GG''.$$

Sia  $p'''$  una terza retta data qualsivoglia, e su di essa si proiettino in  $A'''_1, A'''_2, A'''_3, \dots$ ,  $G'''$  i punti dati e il punto  $G$

(\*) L'HUILLIER, *Éléments d'analyse géométrique et d'analyse algébrique etc.* (Paris 1809), § 2.

con raggi paralleli ad una nuova direzione. Fra i tre raggi proiettanti uno stesso punto  $A_1$ , o  $A_2$  o  $A_3$  . . . avrà luogo (N. 46) una relazione lineare con coefficienti costanti, cioè si avrà

$$\begin{aligned} k' \cdot A_1 A_1' + k'' \cdot A_1 A_1'' + k''' \cdot A_1 A_1''' &= k, \\ k' \cdot A_2 A_2' + k'' \cdot A_2 A_2'' + k''' \cdot A_2 A_2''' &= k, \\ k' \cdot A_3 A_3' + k'' \cdot A_3 A_3'' + k''' \cdot A_3 A_3''' &= k, \\ \dots\dots\dots \\ k' \cdot G G' + k'' \cdot G G'' + k''' \cdot G G''' &= k. \end{aligned}$$

Moltiplichiamo queste uguaglianze ordinatamente per  $\alpha_1$ ,  $\alpha_2$ ,  $\alpha_3$ , . . . —  $(\alpha_1 + \alpha_2 + \alpha_3 + \dots)$  e sommiamo i risultati; tenuto conto delle eguaglianze già stabilite, si avrà

$$k''' \{ \alpha_1 \cdot A_1 A_1''' + \alpha_2 \cdot A_2 A_2''' + \alpha_3 \cdot A_3 A_3''' + \dots - (\alpha_1 + \alpha_2 + \alpha_3 + \dots) G G''' \} = 0.$$

ossia

$$\alpha_1 \cdot A_1 A_1''' + \alpha_2 \cdot A_2 A_2''' + \alpha_3 \cdot A_3 A_3''' + \dots = (\alpha_1 + \alpha_2 + \alpha_3 + \dots) G G'''.$$

Vale a dire: se si proiettano i punti  $A_1$ ,  $A_2$ ,  $A_3$ , . . . ,  $G$  su di una retta qualsivoglia, con raggi paralleli ad una direzione fissata ad arbitrio, il prodotto del raggio proiettante  $G$  moltiplicato per  $\alpha_1 + \alpha_2 + \alpha_3$ , . . . è uguale alla somma dei prodotti de' raggi proiettanti  $A_1$ ,  $A_2$ ,  $A_3$ , . . . rispettivamente moltiplicati per  $\alpha_1$ ,  $\alpha_2$ ,  $\alpha_3$ , . . .

Al punto  $G$ , così definito, si dà il nome di baricentro de' punti  $A_1$ ,  $A_2$ ,  $A_3$ , . . . ai quali siano applicati i numeri o i segmenti paralleli  $\alpha_1$ ,  $\alpha_2$ ,  $\alpha_3$ , . . .

Il baricentro non muta se ai coefficienti  $\alpha_1$ ,  $\alpha_2$ ,  $\alpha_3$ , . . . , si sostituiscono altri coefficienti ad essi proporzionali; infatti con ciò non si alterano i rapporti di  $\alpha_1$ ,  $\alpha_2$ ,  $\alpha_3$ , . . . , ad  $\alpha_1 + \alpha_2 + \alpha_3$  . . .

418. Se i punti  $A_1$ ,  $A_2$ ,  $A_3$ , . . . e  $G$  si proiettano in  $A_1'$ ,  $A_2'$ ,  $A_3'$ , . . . ,  $G'$  su di una retta  $p'$ , mediante raggi paralleli ad un'altra retta  $p''$ , indicato con  $O'$  un punto qualunque di  $p'$ , si avrà identicamente

$$\alpha_1 \cdot O' A_1' + \alpha_2 \cdot O' A_2' + \alpha_3 \cdot O' A_3' + \dots = (\alpha_1 + \alpha_2 + \alpha_3 + \dots) O' G'.$$

Infatti, se si fa passare la retta  $p''$  per  $O'$  e si proiettano i

punti  $A_1, A_2, A_3, \dots, G$  in  $A_1'', A_2'', A_3'', \dots, G''$  su  $p''$ , mediante raggi paralleli a  $p'$ , si avrà evidentemente

$$A_1A_1'' = A_1'O', A_2A_2'' = A_2'O', A_3A_3'' = A_3'O', \dots, GG'' = G'O';$$

Ma pel teorema che precede si ha

$$\alpha_1 \cdot A_1A_1'' + \alpha_2 \cdot A_2A_2'' + \alpha_3 \cdot A_3A_3'' + \dots = (\alpha_1 + \alpha_2 + \alpha_3 + \dots) GG'',$$

dunque ecc.

**119.** Se  $O$  è un punto arbitrario, la risultante dei segmenti  $\alpha_1 \cdot OA_1, \alpha_2 \cdot OA_2, \alpha_3 \cdot OA_3, \dots$  sarà  $(\alpha_1 + \alpha_2 + \alpha_3 + \dots) OG$ .

Per segmento  $\alpha \cdot OA$  intendiamo un segmento parallelo ad  $OA$ , diretto nel senso di  $OA$  o nel senso contrario, secondochè  $\alpha$  sia positivo o negativo, e la cui grandezza sia  $OA$  moltiplicato pel rapporto  $\alpha:1$ . — Pel punto  $O$  si conduca una retta  $p'$  e su di essa si proiettino i punti  $A_1, A_2, A_3, \dots, G$  in  $A_1', A_2', A_3', \dots, G'$  mediante raggi paralleli. Il segmento  $OA$  è la risultante de' segmenti  $OA', A'A$ ; epperò, ampliando questi segmenti nel rapporto  $\alpha:1$ , sarà  $\alpha \cdot OA$  la risultante di  $\alpha \cdot OA', \alpha \cdot A'A$ . Ne segue che la risultante de' segmenti  $\alpha_1 \cdot OA_1, \alpha_2 \cdot OA_2, \alpha_3 \cdot OA_3, \dots$  si potrà ottenere componendo tutti insieme i segmenti  $\alpha_1 \cdot OA_1', \alpha_2 \cdot OA_2', \alpha_3 \cdot OA_3', \dots$ , ed i segmenti  $\alpha_1 \cdot A_1'A_1, \alpha_2 \cdot A_2'A_2, \alpha_3 \cdot A_3'A_3, \dots$ . Ma la risultante (ossia la somma) di  $\alpha_1 \cdot OA_1', \alpha_2 \cdot OA_2', \alpha_3 \cdot OA_3', \dots$ , è  $(\alpha_1 + \alpha_2 + \alpha_3 + \dots) OG''$ ; e la risultante (ossia la somma) di  $\alpha_1 \cdot A_1'A_1, \alpha_2 \cdot A_2'A_2, \alpha_3 \cdot A_3'A_3, \dots$  è  $(\alpha_1 + \alpha_2 + \alpha_3 + \dots) G'G$ ; dunque la risultante de' segmenti  $\alpha_1 \cdot OA_1, \alpha_2 \cdot OA_2, \alpha_3 \cdot OA_3, \dots$  si può comporre coi due soli segmenti  $(\alpha_1 + \alpha_2 + \alpha_3 + \dots) OG'$ ,  $(\alpha_1 + \alpha_2 + \alpha_3 + \dots) G'G$ , epperò coincide col segmento

$$(\alpha_1 + \alpha_2 + \alpha_3 + \dots) OG.$$

**120.** Di qui segue che, dati i punti  $A_1, A_2, A_3, \dots$  (fig. 103) coi coefficienti (numeri o segmenti paralleli)  $\alpha_1, \alpha_2, \alpha_3, \dots$ , per trovare il punto  $G$ , si potranno costruire, a partire da due origini differenti  $O, O'$ , due circuiti, il primo de' quali abbia i lati equipollenti ad  $\alpha_1 \cdot OA_1, \alpha_2 \cdot OA_2, \alpha_3 \cdot OA_3, \dots$ , ed il secondo ad  $\alpha_1 \cdot O'A_1, \alpha_2 \cdot O'A_2, \alpha_3 \cdot O'A_3, \dots$ . Le rette  $OR, O'R'$ , che chiudono rispettivamente i due circuiti si segheranno nel punto cercato  $G$ , e sarà

$$OR = (\alpha_1 + \alpha_2 + \alpha_3 + \dots) OG, \\ O'R' = (\alpha_1 + \alpha_2 + \alpha_3 + \dots) O'G (*).$$

(\*) GRASSMANN, l. c., p. 142.

Se le  $\alpha$  sono segmenti, i prodotti  $\alpha \cdot OA$  saranno arce, che bisognerà ridurre ad una base comune  $h$  (N. 92). Supposto che siasi ottenuto  $\alpha_1 \cdot OA_1 = h \cdot a_1$ ,  $\alpha_2 \cdot OA_2 = h \cdot a_2$ ,  $\alpha_3 \cdot OA_3 = h \cdot a_3$ , ..., si potranno fare i lati del primo circuito uguali alle lunghezze  $a_1$ ,  $a_2$ ,  $a_3$ , ... e detta  $OR$  la retta di chiusa, sarà  $h \cdot OR = (\alpha_1 + \alpha_2 + \alpha_3 + \dots) OG$ . Ne segue che, anche senza costruire un secondo circuito, si trova  $G$  prendendo sulla retta di chiusa il segmento

$$OG = \frac{h \cdot OR}{\alpha_1 + \alpha_2 + \alpha_3 + \dots}.$$

Se le  $\alpha$  fossero aree, si comincerà dal ridurle ad una base comune  $k$ :

$$\alpha_1 = k \alpha'_1, \alpha_2 = k \alpha'_2, \alpha_3 = k \alpha'_3, \dots;$$

indi si ridurranno i prodotti  $\alpha'_1 \cdot OA_1$ ,  $\alpha'_2 \cdot OA_2$ ,  $\alpha'_3 \cdot OA_3$ , ... alla base  $h$ :

$$\alpha'_1 \cdot OA_1 = h a_1, \alpha'_2 \cdot OA_2 = h a_2, \alpha'_3 \cdot OA_3 = h a_3, \dots$$

onde

$$\alpha_1 \cdot OA_1 = h k a_1, \alpha_2 \cdot OA_2 = h k a_2, \alpha_3 \cdot OA_3 = h k a_3, \dots$$

e costruito il circuito coi lati  $a_1$ ,  $a_2$ ,  $a_3$ , ..., sarà

$$OG = \frac{h k \cdot OR}{\alpha_1 + \alpha_2 + \alpha_3 + \dots} = \frac{h \cdot OR}{\alpha'_1 + \alpha'_2 + \alpha'_3 + \dots}.$$

**121.** Se  $H$  è il baricentro dei punti  $\alpha_1 \cdot A_1$ ,  $\alpha_2 \cdot A_2$ , ... e se  $K$  è il baricentro dei punti  $\beta_1 \cdot B_1$ ,  $\beta_2 \cdot B_2$ , ..., il baricentro di tutti i punti dati  $\alpha_1 \cdot A_1$ ,  $\alpha_2 \cdot A_2$ , ...,  $\beta_1 \cdot B_1$ ,  $\beta_2 \cdot B_2$ , ..., coinciderà col baricentro  $G$  dei due punti  $m \cdot H$ ,  $n \cdot K$ , dove  $m = \alpha_1 + \alpha_2 + \dots$ ,  $n = \beta_1 + \beta_2 + \dots$ .

Infatti, preso un polo arbitrario  $O$ , se si compone la  $m \cdot OH$ , risultante delle  $\alpha_1 \cdot OA_1$ ,  $\alpha_2 \cdot OA_2$ , ... colla  $n \cdot OK$  risultante delle  $\beta_1 \cdot OB_1$ ,  $\beta_2 \cdot OB_2$ , ..., si ha che la  $(m+n) OG$ , risultante delle  $m \cdot OH$ ,  $n \cdot OK$  è anche la risultante di tutti i segmenti  $\alpha_1 \cdot OA_1$ ,  $\alpha_2 \cdot OA_2$ , ...,  $\beta_1 \cdot OB_1$ ,  $\beta_2 \cdot OB_2$ , ...

**122.** Se i punti  $A_1$ ,  $A_2$ ,  $A_3$ , ..., sono in linea retta, nella medesima retta giace anche il loro baricentro  $G$ . Ciò si rende manifesto, assumendo un polo  $O$  nella retta  $A_1 A_2 A_3$  ...; i segmenti  $\alpha_1 \cdot OA_1$ ,  $\alpha_2 \cdot OA_2$ ,  $\alpha_3 \cdot OA_3$ , ... cadono tutti in questa retta, epperò ivi cadrà anche la loro risultante  $m \cdot OG$ .

I punti siano due soli  $A_1, A_2$  (fig. 104, dove i segmenti  $\alpha_1, \alpha_2$  sono indicati semplicemente coi numeri 1, 2) coi coefficienti  $\alpha_1, \alpha_2$ ; il loro baricentro  $G$  sarà un punto della retta  $A_1A_2$ . Siccome è nulla la risultante delle rette  $\alpha_1 \cdot GA_1, \alpha_2 \cdot GA_2$ , così si ha

$$\alpha_1 \cdot GA_1 + \alpha_2 \cdot GA_2 = 0$$

ossia

$$A_1G : GA_2 = \alpha_2 : \alpha_1,$$

ed anche

$$A_1G : GA_2 : A_1A_2 = \alpha_2 : \alpha_1 : \alpha_1 + \alpha_2,$$

vale a dire, il punto  $G$  divide il segmento  $A_1A_2$  in parti inversamente proporzionali ai numeri  $\alpha_1, \alpha_2$ , ed è un punto interno o un punto esterno al detto segmento secondo che  $\alpha_1$  e  $\alpha_2$  sono dello stesso segno o di segno contrario.

Se  $\alpha_1 = \alpha_2$ , si ha  $A_1G = GA_2$ , cioè  $G$  sarà il punto di mezzo di  $A_1A_2$ .

Se  $\alpha_1 + \alpha_2 = 0$ , dalle  $A_1G : A_1A_2 = \alpha_2 : \alpha_1 + \alpha_2$  si ha  $A_1G = \infty$ , cioè  $G$  è il punto all'infinito della retta  $A_1A_2$ .

**123.** I punti dati siano tre soli,  $A_1, A_2, A_3$ , e non in linea retta (fig. 105);  $\alpha_1, \alpha_2, \alpha_3$  i loro coefficienti, la cui somma non sia zero. Il baricentro de' punti  $\alpha_2 \cdot A_2, \alpha_3 \cdot A_3$  è un punto  $B_1$  della retta  $A_2A_3$ , e il baricentro de' punti dati  $\alpha_1 \cdot A_1, \alpha_2 \cdot A_2, \alpha_3 \cdot A_3$  sarà il baricentro de' punti  $\alpha_1 \cdot A_1, (\alpha_2 + \alpha_3) \cdot B_1$ , cioè quel punto  $G$  della  $A_1B_1$  che è dato dalla relazione

$$GB_1 : A_1B_1 = \alpha_1 : \alpha_1 + \alpha_2 + \alpha_3.$$

Ora i due triangoli  $A_1A_2A_3, GA_2A_3$  sono proporzionali alle altezze, epperò anche alle distanze oblique  $A_1B_1, GB_1$  de' vertici dalla base comune  $A_2A_3$ ; dunque

$$GA_2A_3 : A_1A_2A_3 = \alpha_1 : \alpha_1 + \alpha_2 + \alpha_3.$$

Similmente si dimostra

$$GA_3A_1 : A_2A_3A_1 = \alpha_2 : \alpha_1 + \alpha_2 + \alpha_3,$$

$$GA_1A_2 : A_3A_1A_2 = \alpha_3 : \alpha_1 + \alpha_2 + \alpha_3,$$

dunque

$$GA_2A_3 : GA_3A_1 : GA_1A_2 = \alpha_1 : \alpha_2 : \alpha_3,$$

vale a dire: il baricentro  $G$  di tre punti  $\alpha_1 \cdot A_1, \alpha_2 \cdot A_2, \alpha_3 \cdot A_3$  divide l'area  $A_1A_2A_3$  in tre triangoli  $GA_2A_3, GA_3A_1, GA_1A_2$  che sono proporzionali ai coefficienti  $\alpha_1, \alpha_2, \alpha_3$ .

124. Se  $G$  è il baricentro de' punti  $\alpha_1 \cdot A_1, \alpha_2 \cdot A_2, \alpha_3 \cdot A_3, \dots$  e se  $O$  è un punto qualunque, abbiamo veduto che la risultante  $OR$  de' segmenti  $\alpha_1 \cdot OA_1, \alpha_2 \cdot OA_2, \alpha_3 \cdot OA_3, \dots$  è data dall'eguaglianza

$$OR = (\alpha_1 + \alpha_2 + \alpha_3 + \dots) OG,$$

donde si ha 
$$OG = \frac{OR}{\alpha_1 + \alpha_2 + \alpha_3 + \dots}$$

Se  $\alpha_1 + \alpha_2 + \alpha_3 + \dots = 0$ , senza che sia nullo  $OR$ , sarà  $OG = \infty$ .

Se è  $OR = 0$ , preso un altro punto  $O'$ , la risultante delle  $\alpha_1 \cdot O'A_1, \alpha_2 \cdot O'A_2, \alpha_3 \cdot O'A_3, \dots$  sarebbe uguale ad  $(\alpha_1 + \alpha_2 + \alpha_3 + \dots) O'G$ , cioè nulla, perchè  $\alpha_1 + \alpha_2 + \alpha_3 + \dots = 0$ .

Dunque, se  $\alpha_1 + \alpha_2 + \alpha_3 + \dots = 0$ , la risultante  $OR$  o è nulla per tutt'i punti  $O$ , o non è tale per alcuno. Nel secondo caso, si ha un baricentro  $G$  situato a distanza infinita sulla retta  $\dots OR \dots$ . In questo medesimo caso, sia  $A_0$  il baricentro de' punti  $\alpha_1 \cdot A_1, \alpha_2 \cdot A_2, \dots, \alpha_{n-1} \cdot A_{n-1}$ ; qualunque sia il polo  $O$ , sarà

$$(\alpha_1 + \alpha_2 + \dots + \alpha_{n-1}) OA_0,$$

vale a dire  $-\alpha_n \cdot OA_0$  la risultante di  $\alpha_1 \cdot OA_1, \alpha_2 \cdot OA_2, \dots, \alpha_{n-1} \cdot OA_{n-1}$  (N. 119). Sia  $OH$  la risultante di  $-\alpha_n \cdot OA_0$  e  $\alpha_n \cdot OA_n$ ; questa risultante sarà equipollente ad  $\alpha_n \cdot A_0 A_n$ , cioè indipendente da  $O$ . Per conseguenza: la risultante di  $\alpha_1 \cdot OA_1, \alpha_2 \cdot OA_2, \dots, \alpha_n \cdot OA_n$ , dove  $\alpha_1 + \alpha_2 + \dots + \alpha_n = 0$ , ha non solo la direzione ma eziandio la grandezza costante (qualunque sia il polo  $O$ ), ed è equipollente ad  $\alpha_n \cdot A_0 A_n$ , dove  $A_n$  è uno qualunque de' punti dati, ed  $A_0$  è il baricentro de' rimanenti (affetti dai rispettivi coefficienti).

Nel primo caso, siccome riesce  $OG = \frac{0}{0}$ , così il sistema de' punti dati non ha un baricentro determinato: allora, posto il polo  $O$  in uno de' punti dati, p. e., in  $A_1$ , siccome per un punto qualunque  $O$  è nulla la risultante de' segmenti  $\alpha_1 \cdot OA_1, \alpha_2 \cdot OA_2, \alpha_3 \cdot OA_3, \dots$ , così sarà nulla la risultante di  $\alpha_2 \cdot A_1 A_2, \alpha_3 \cdot A_1 A_3, \dots$ , cioè, essendo  $\alpha_2 + \alpha_3 + \dots = -\alpha_1$ , diverso da zero, sarà  $A_1$  il baricentro dei punti  $A_2, A_3, \dots$ .

125. Pei punti  $A_1, A_2, A_3, \dots$ , e pel loro baricentro  $G$  si conducano segmenti  $A_1 B_1, A_2 B_2, A_3 B_3, \dots$ ,  $GH$  paralleli fra loro (in una direzione arbitraria) e proporzionali ai coefficienti  $\alpha_1, \alpha_2, \alpha_3, \dots$ ,  $m = \alpha_1 + \alpha_2 + \alpha_3 + \dots$ , con riguardo ai segni: cioè, fissato il senso de' segmenti positivi, da quella parte si tirino i segmenti proporzionali ai coefficienti positivi, e dalla parte opposta i segmenti



proporzionali ai coefficienti negativi. Sia  $O$  un punto arbitrario, pel quale si conduca una retta parallela ai segmenti  $AB$ , e su di questa si proiettino con raggi paralleli i punti  $A_1, A_2, A_3, \dots, G$  in  $A'_1, A'_2, A'_3, \dots, G'$ . Pel teorema del N. 116 sarà

$$\alpha_1 \cdot A_1 A'_1 + \alpha_2 \cdot A_2 A'_2 + \alpha_3 \cdot A_3 A'_3 + \dots = m \cdot GG'.$$

Ma i numeri  $\alpha_1, \alpha_2, \alpha_3, \dots, m$  sono proporzionali alle basi dei triangoli  $OA_1B_1, OA_2B_2, OA_3B_3, \dots, OGH$ , ed i segmenti  $A_1A'_1, A_2A'_2, A_3A'_3, \dots, GG'$  sono proporzionali alle altezze dei triangoli medesimi; dunque la somma dei triangoli che da  $O$  proiettano i segmenti  $A_1B_1, A_2B_2, A_3B_3, \dots$ , è uguale al triangolo che dallo stesso polo  $O$  proietta  $GH$ . Donde segue (N. 44) che  $GH$  è la risultante delle  $A_1B_1, A_2B_2, A_3B_3, \dots$ .

**126.** Di qui si conclude un'altra costruzione del baricentro  $G$ . Condotti per  $A_1, A_2, A_3, \dots$  (fig. 106) i segmenti  $\alpha_1, \alpha_2, \alpha_3, \dots$ , in una direzione fissata ad arbitrio, si faccia la composizione nel modo che si è detto al N. 50. Si otterrà così una retta  $r$ , alla quale deve appartenere il segmento risultante, retta che perciò deve passare per  $G$ . Ora si ripeta la composizione, mutando soltanto la direzione comune de' segmenti  $\alpha_1, \alpha_2, \alpha_3, \dots$ ; si avrà un'altra retta  $r'$ , ed il punto comune alle  $r, r'$  sarà il domandato baricentro (\*).

**127.** Per baricentro di una linea o di un'area s'intende il baricentro di tutti i punti della linea o dell'area, ai quali siano applicati coefficienti tutti uguali.

**128.** Il baricentro di un segmento rettilineo  $AB$  (fig. 107) è il suo punto di mezzo  $G$ . Infatti, se  $X$  è un punto qualunque del segmento, in questo vi è un altro punto  $X'$  tale che  $G$  sia il punto di mezzo del segmento  $XX'$ ; onde il baricentro dei punti  $X, X'$  è  $G$ . Siccome ogni coppia analoga ad  $X, X'$  ha il suo baricentro in  $G$ , così il baricentro di tutti i punti di  $AB$  coinciderà col baricentro di tanti punti tutti riuniti in  $G$ . Vale a dire,  $G$  è il baricentro del segmento  $AB$ .

**129.** Il baricentro di un parallelogrammo è il punto d'intersezione delle sue diagonali (fig. 108). Il baricentro di un cerchio o di una circonferenza o di un poligono regolare è il centro della figura. La dimostrazione non differisce affatto da quella che precede.

**130.** Se una figura ha un asse di simmetria, in quest'asse si troverà il baricentro della figura. Infatti, se  $X$  è un punto della

(\*) CULMANN, l. c., p. 144.

figura, questa avrà un altro punto  $X'$  tale che il segmento  $XX'$  sia diviso per metà e ad angolo retto dall'asse. Perciò il baricentro de' due punti  $X, X'$  è nell'asse; e siccome ciò vale per tutte le coppie analoghe, così ne segue che a tutti i punti della figura si possono sostituire punti situati tutti nell'asse. Il baricentro di questi è nella retta che li contiene, dunque ecc.

Lo stesso ragionamento prova che, se una figura ha un diametro, cioè una retta che divida per metà (anche sotto angolo non retto) tutte le corde parallele ad una certa direzione, il baricentro della figura è situato nel diametro.

Se una figura ha due diametri, il punto ad essi comune è il baricentro.

**131.** La figura sia un triangolo  $ABC$  (fig. 109). Se  $D$  è il punto di mezzo di  $BC$ , la retta  $AD$  è un diametro, giacchè divide pel mezzo tutte le corde parallele a  $BC$ . Dunque il baricentro  $G$  del triangolo è il punto di concorso de' tre diametri  $AD, BE, CF$ . Esso divide ciascuno de' tre diametri in due segmenti, il cui rapporto è  $2:1$ . Infatti, siccome il triangolo  $ABD$  è segato dalla trasversale  $FGC$ , così si ha

$$\frac{AF}{FB} \cdot \frac{BC}{CD} \cdot \frac{DG}{GA} = -1.$$

Ma  $AF=FB$ ,  $BC=2DC$ , dunque

$$\frac{DG}{GA} = \frac{1}{2},$$

ossia  $GD = \frac{1}{3}AD$ , ed analogamente  $GE = \frac{1}{3}BE$ ,  $GF = \frac{1}{3}CF$ .

Il punto  $G$  è anche il baricentro de' punti  $A, B, C$ .

**132.** Se una figura (lineare o superficiale) è un sistema di segmenti rettilinei o di aree triangolari, il baricentro di quella è il baricentro de' punti  $\alpha_1.A_1, \alpha_2.A_2, \alpha_3.A_3, \dots$ , dove  $A_1, A_2, A_3, \dots$ , siano i baricentri de' segmenti o de' triangoli, de' quali la figura è composta, ed i coefficienti (numeri o segmenti)  $\alpha_1, \alpha_2, \alpha_3, \dots$ , siano proporzionali ai segmenti o ai triangoli medesimi.

**133.** La figura sia un circuito a lati rettilinei. Siano  $A_1, A_2, A_3, \dots$  i punti di mezzo de' lati, ed  $\alpha_1, \alpha_2, \alpha_3$  segmenti proporzionali ai lati medesimi. Si trovi con uno dei processi già esposti (N° 120, 126) il baricentro  $G$  de' punti  $A_1, A_2, A_3, \dots$  cui siano applicati i segmenti  $\alpha_1, \alpha_2, \alpha_3, \dots$ ; sarà  $G$  il baricentro del circuito dato.

134. Se il circuito è una porzione del perimetro di un poligono regolare (fig. 110), se ne può assegnare il baricentro in modo più semplice. Condotta un diametro del circolo inscritto, su di esso si proiettino ortogonalmente i lati del circuito. Sia  $\sigma$  un lato,  $\lambda$  la sua proiezione,  $r$  il raggio del circolo, condotto al punto di mezzo di  $\sigma$ , e  $p$  la perpendicolare abbassata da questo punto sul diametro. Il triangolo rettangolo che ha  $\sigma$  per ipotenusa e  $\lambda$  per cateto è simile a quello pel quale  $r$  è l'ipotenusa e  $p$  un cateto; perciò

$$\frac{\lambda}{p} = \frac{\sigma}{r}, \text{ ossia } \lambda r = p \sigma.$$

Scrivansi le analoghe uguaglianze relative a tutt' i lati del circuito, e somminsi i membri corrispondenti, avremo

$$r l = p_1 \sigma_1 + p_2 \sigma_2 + \dots$$

dove  $l$  sia la proiezione dell'intero circuito.

Sia  $G$  il baricentro,  $y$  la perpendicolare abbassata da  $G$  sul diametro; essendo  $G$  il baricentro dei punti medi dei lati, ai quali siano rispettivamente applicati i coefficienti  $\sigma_1, \sigma_2, \dots$ , sarà

$$p_1 \sigma_1 + p_2 \sigma_2 + \dots = y s,$$

indicando con  $s$  la lunghezza del circuito. Dunque

$$r l = y s, \text{ ossia } y = \frac{r l}{s}.$$

Quest'uguaglianza fa conoscere a qual distanza dal diametro sia il punto  $G$ ; il quale poi dovrà anche trovarsi su quel raggio  $OC$  del cerchio che divide per metà il circuito, giacchè questo raggio è un asse di simmetria pel circuito medesimo. Conducasi una retta  $EF = s$ , che abbia un estremo  $E$  nel diametro, e l'altro estremo  $F$  nella tangente  $DF$  del circolo che è parallela al diametro medesimo; indi su  $EF$  prendasi il segmento  $EH = l$  e per  $H$  tirisi la parallela a  $DF$  sino a segare in  $G$  l'asse di simmetria  $CO$ . La retta  $EF$  segata dalle parallele  $EO, HG, DF$  dà

$$\frac{EF}{EH} = \frac{\text{distanza delle } EO, DF}{\text{distanza delle } EO, HG}, \text{ ossia } \frac{s}{l} = \frac{r}{\text{distanza di } G \text{ da } EO} = \frac{r}{y},$$

dunque  $G$  è il baricentro cercato. Nella formola sopra ottenuta, notisi bene che  $l$  è la proiezione della spezzata sopra un diametro arbitrariamente scelto, ed  $y$  è la distanza normale di  $G$  da

questo diametro. Ovvero: sulla tangente  $CM$ , che è perpendicolare all'asse di simmetria  $OC$ , prendasi un segmento  $CM = \frac{1}{2}s$ , congiungansi  $O, M$ ; e da quell'estremo  $A$  del circuito dato che con  $M$  è situato dalla stessa parte dell'asse di simmetria, tirisi la parallela ad  $OC$  sino ad incontrare  $OM$  in  $N$ ; e da  $N$  si guidi la parallela a  $CM$ , la quale segnerà  $OC$  in  $G$ . Infatti ne' triangoli simili  $OCM, OGN$ , le basi  $CM, GN$  sono  $\frac{1}{2}s, \frac{1}{2}l$ , intendendo con  $l$  la proiezione della spezzata sul diametro perpendicolare ad  $OC$ ; l'altezza del primo è  $r$ , dunque l'altezza del secondo sarà la distanza di  $G$  dal centro  $O$  (\*).

135. Questa costruzione è praticabile anche quando il poligono regolare, al cui perimetro appartiene il circuito dato, abbia un infinito numero di lati, ossia non differisca dal cerchio. La linea data sia dunque un arco  $AB$  d'un cerchio di centro  $O$  (fig. 111);  $s$  sia la lunghezza dell'arco, la metà del quale sia sviluppata in  $CM$  sulla tangente media; proiettando l'estremo  $A$  in  $N$  sulla  $OM$  mediante una parallela all'asse di simmetria  $OC$ , e conducendo per  $N$  la parallela ad  $MC$  sino a segare  $OC$  in  $G$ , sarà  $G$  il baricentro dell'arco  $AB$ . Infatti

$$CM : CO = GN : GO ,$$

$$CM = \frac{1}{2}s, GN = \frac{1}{2}l, CO = r ,$$

dunque

$$GO = y (**).$$

136. Se il circuito dato è il perimetro di un triangolo  $ABC$  (fig. 112), il baricentro  $G$  è il centro del cerchio inscritto nel triangolo  $DEF$ , i cui vertici sono i punti di mezzo dei lati del triangolo dato. Infatti,  $D, E, F$  sono i baricentri de' segmenti rettilinei  $BC, CA, AB$ ; dunque  $G$  sarà il baricentro de' punti  $\alpha. D, \beta. E, \gamma. F$ , dove  $\alpha : \beta : \gamma = BC : CA : AB$ . Il baricentro  $A'$  de' punti  $\beta. E, \gamma. F$  dividerà il segmento  $EF$  in due segmenti  $EA', A'F$  in modo che  $EA' : A'F = \gamma : \beta = AB : CA = \frac{1}{2}AB : \frac{1}{2}CA = ED : DF$ . Dunque  $DA'$  è la bisettrice dell'angolo  $EDF$ ; epperò  $G$ , che dev'essere il baricentro de' punti  $\alpha. D, (\beta + \gamma)A'$ , giace nella bisettrice (interna) dell'angolo  $D$  del triangolo  $DEF$ . Analogamente  $G$ , dovrà essere situato nelle bisettrici  $EB', FC'$  degli altri due angoli; dunque  $G$  è il centro del cerchio inscritto nel triangolo  $DEF$ ; c. d. d.

137. La figura data sia il quadrilatero  $ABCD$  (fig. 113, 114, 115), che si può considerare come somma (algebrica) de' due triangoli

(\*) CULMANN, *l. c.*, p. 147.

(\*\*) *Ibid.*, p. 148.

$ABD$ ,  $CDB$ , ne' quali è diviso dalla diagonale  $BD$ . Sia  $E$  il punto medio di  $BD$ ; i baricentri  $G_1$ ,  $G_2$  de' due triangoli sono situati rispettivamente nelle rette  $AE$ ,  $CE$ , in modo che  $G_1E = \frac{1}{3}AE$ ,  $G_2E = \frac{1}{3}CE$ . Il baricentro  $G$  del quadrilatero sarà dunque il baricentro de' due punti  $\alpha_1, G_1$ ,  $\alpha_2, G_2$ , dove  $\alpha_1 : \alpha_2 = ABD : CDB = AF : FC$ , indicata con  $F$  l'intersezione delle due diagonali  $BD$ ,  $AC$ . Siccome la  $G, G_2$  divide in parti proporzionali due lati del triangolo  $AEC$ , così sarà parallela al terzo lato  $AC$ ; donde segue che la retta  $EG$  dividerà nello stesso rapporto  $G, G : GG_2 = \alpha_2 : \alpha_1 = FC : AF$  la  $G, G_2$  e la  $AC$ . Per dividere  $AC$  nel rapporto  $FC : AF$ , basta scambiare fra loro di posto i segmenti  $AF$ ,  $FC$ , cioè fare  $AH = FC$ , onde sarà  $HC = AF$ . La congiungente  $EH$  incontrerà adunque  $G, G_2$  nel punto cercato  $G$ .

Le parallele  $G, G_2$ ,  $AC$  dividono in parti proporzionali le  $EA$ ,  $EC$ ,  $EH$ ; dunque, come  $G, E = \frac{1}{3}AE$  e  $G_2, E = \frac{1}{3}CE$ , così  $GE = \frac{1}{3}HE$ .

Se si adopera ora invece di  $BD$ , la diagonale  $AC$ , il cui punto medio sia  $K$ , fatto in  $BD$  lo scambio de' segmenti  $BF$ ,  $FD$  (cioè preso  $BL = FD$ , onde  $LD = BF$ ), il punto  $G$  sarà anche situato nella  $LK$ , in modo che  $GK = \frac{1}{3}LK$ .

Ma  $E$  punto di mezzo di  $BD$  è anche il punto di mezzo di  $FL$ , e così  $K$  è il punto di mezzo di  $FH$ ; dunque  $G$  è il baricentro del triangolo  $FLH$ , ossia:

Il baricentro di un quadrilatero coincide col baricentro del triangolo i cui vertici sono il punto comune alle diagonali e i punti che nascono dallo scambio de' segmenti in ciascuna diagonale.

Da ciò segue che la retta  $FG$  passerà pel punto  $J$  di mezzo di  $HL$  (\*).

**138.** Se  $AD$ ,  $BC$  sono parallele (fig. 116, 117), e se pei baricentri dei triangoli  $BCD$ ,  $ABD$  si conducono le parallele ad  $AD$ , queste divideranno in tre uguali segmenti la  $MN$  che unisce i punti di mezzo delle  $AD$ ,  $BC$ . Siccome la retta  $MN$  contiene i punti di mezzo di tutte le corde parallele ad  $AD$ , onde è un diametro della figura, così il baricentro  $G$  giacerà in essa e ne dividerà il segmento medio in due parti reciprocamente proporzionali alle aree dei detti triangoli, cioè alle basi  $BC$ ,  $AD$ . Le parti del segmento medio, avendo la somma  $\frac{1}{3}MN$  ed il rapporto  $AD : BC$ , saranno rispettivamente uguali ad

(\*) CULMANN, l. c., p. 152. — Cfr. *Quarterly Journal of Mathematics*, vol. 6 (London, 1864), p. 127.

$$\frac{MN \cdot AD}{3(AD + BC)}, \frac{MN \cdot BC}{3(AD + BC)},$$

quindi sarà  $MG = \frac{1}{3}MN + \frac{MN \cdot AD}{3(AD + BC)} = \frac{MN(BC + 2AD)}{3(AD + BC)},$

$$GN = \frac{1}{3}MN + \frac{MN \cdot BC}{3(AD + BC)} = \frac{MN(AD + 2BC)}{3(AD + BC)},$$

donde  $MG : GN = BC + 2AD : AD + 2BC$ . Ogni retta passante per  $G$  e compresa fra le parallele  $AD$ ,  $BC$  sarà perciò divisa in  $G$  in due parti proporzionali a  $BC + 2AD$ ,  $AD + 2BC$ . Da ciò segue che se nella  $BC$  si fa  $CP = AD$  e se nella  $AD$  si fa  $AQ = CB$ , la retta  $PQ$  sarà divisa da  $MN$  in due segmenti proporzionali ad  $MP$ ,  $QN$ ; ma  $MP = \frac{1}{2}BC + AD$ ,  $QN = BC + \frac{1}{2}AD$ , onde

$$MP : QN = BC + 2AD : AD + 2BC;$$

perciò  $PQ$  passa per  $G$ . Siccome le  $BP$ ,  $QD$  sono uguali e parallele, così le  $PQ$ ,  $BD$  si tagliano fra loro per metà; dunque  $PQ$  passa per  $E$  punto di mezzo di  $BD$ , vale a dire  $PQ$  coincide con  $HE$ . Inoltre, se in  $AD$  si fa  $DS = CB$ ,  $AA' = \frac{1}{3}AS$ , e se in  $BC$  si fa  $CC' = AA'$ , siccome

$$A'N = AN - AA' = \frac{1}{3}AD - \frac{1}{3}(AD - BC) = \frac{1}{6}(AD + 2BC),$$

$$\text{e } MC' = MC + CC' = \frac{1}{2}BC + \frac{1}{3}(AD - BC) = \frac{1}{6}(BC + 2AD),$$

$$\text{onde } A'N : MC' = AD + 2BC : BC + 2AD,$$

così  $A'C'$  passerà per  $G$ .

Di qui si cavano due semplici costruzioni del baricentro di un quadrilatero con due lati paralleli (trapezio): o come intersezione della  $MN$  colla  $PQ$ ; o come intersezione della  $MN$  colla  $A'C'$  (\*).

**139.** La costruzione suesposta pel baricentro di un quadrilatero è in difetto nel caso in cui le diagonali  $AC$ ,  $BD$  siano parallele (fig. 118). Ma in tal caso i triangoli  $ABD$ ,  $BCD$  sono equivalenti e di segno opposto, perciò  $\alpha_1 + \alpha_2 = 0$ . Ne segue che l'area

---

(\*) CULMANN, *l. c.*, p. 150. — WALKER, *On an easy construction of the centre of gravity of the trapezium* (Quarterly Journal of Mathematics, vol. 9, London, 1868), p. 339.

della figura è zero (N. 93) e il baricentro cade all'infinito, nella direzione comune alle  $AC$ ,  $BD$ .

**140.** Ora si domandi il baricentro di una figura rettilinea qualsivoglia. L'area di questa figura si potrà considerare come somma (algebrica) de' triangoli che da un punto arbitrario  $O$  proiettano i lati del circuito. Trovati i baricentri  $A_1, A_2, A_3, \dots$  di questi triangoli, e ridotte le aree de' medesimi ad una base costante, sicchè risultino proporzionali ai segmenti  $\alpha_1, \alpha_2, \alpha_3, \dots$ , il punto cercato sarà il baricentro de' punti  $\alpha_1 \cdot A_1, \alpha_2 \cdot A_2, \alpha_3 \cdot A_3, \dots$ , baricentro che si sa costruire coll'uno o coll'altro de' due metodi già esposti.

Se il polo  $O$  è affatto arbitrario, il numero de' triangoli sarà uguale a quello de' lati del circuito; ma se  $O$  si prende sopra un lato o nel punto comune a due lati, il numero de' triangoli diminuirà di una, due unità rispettivamente.

Invece di considerare la figura proposta come somma di triangoli, si potrà anche riguardarla come aggregato di quadrilateri e di triangoli, ne' quali si possa decomporla per mezzo di rette opportunamente tracciate.

**144. Esempi.** La figura data sia l'esagono intrecciato  $ABCDEF$  (fig. 119), che è la somma de' triangoli  $OBC, OCD, ODE, OFA$ , essendo  $O$  il punto comune ai lati  $AB, EF$ . Di quei quattro triangoli, il primo e l'ultimo sono positivi, gli altri due negativi. Trovinsi i loro baricentri  $G_1, G_2, G_3, G_4$ , e, ridotte le aree de' triangoli medesimi ad una base comune, riescano esse proporzionali ai segmenti  $\alpha_1, \alpha_2, \alpha_3, \alpha_4$ . Come i triangoli, così i segmenti  $\alpha$  sono, positivi il primo e l'ultimo, negativi il secondo e il terzo. Se ora vogliamo applicare il metodo del N. 120, dovremo ancora ridurre ad una base comune  $h$  i quattro prodotti  $\alpha_r \cdot OG_r$ . Nella figura si è condotto per  $O$  una retta arbitraria  $x$ ; fissato in essa il senso positivo, si sono portati nella medesima i segmenti  $h, \alpha_1, \alpha_2, \alpha_3, \alpha_4$  (\*) coll'origine comune  $O$  ( $h, \alpha_1, \alpha_4$  in un senso;  $\alpha_2, \alpha_3$  nel senso contrario); e, congiunto l'estremo di  $h$  con  $G_r$ , si è tirata dal termine di  $\alpha_r$  la parallela alla congiungente, sino ad incontrare  $OG_r$  in  $H_r$ . Così si è ottenuto  $OG_r : h = OH_r : \alpha_r$ , epperò  $\alpha_r \cdot OG_r = h \cdot OH_r$ . Indi, a partire da  $O$ , s'è costruito un circuito coi lati equipollenti ad  $OH_1, OH_2,$

---

(\*) Nella fig. 119, i termini dei segmenti  $h, \alpha$  sono appunto indicati con queste lettere  $h, \alpha$ . Alcune delle rette nominate nel testo non sono tracciate nella figura.

$OH_3, OH_4$ ; la retta di chiusa è  $OR$ . Finalmente, per costruire il punto  $G$ , che è dato dalla relazione

$$OG = \frac{h \cdot OR}{\alpha_1 + \alpha_2 + \alpha_3 + \alpha_4},$$

si è preso in  $Ox$ , coll'origine  $O$ , il segmento  $OS = \alpha_1 + \alpha_2 + \alpha_3 + \alpha_4$ , congiuntone l'estremo con  $R$ , si è tirata dal termine di  $h$  la parallela alla congiungente, sino a intersecare  $OR$  in  $G$ .

**142.** La figura sia la sezione di un così detto ferro ad angolo (fig. 120); essa è stata divisa in sei parti, quattro trapezi, un triangolo ed un rettangolo, indicate coi numeri 1, 2, 3, 4, 5, 6. Di queste sei parti si sono costruiti i baricentri, e ridotte le aree ad una base comune, determinando i segmenti proporzionali 1, 2, ... 6, che sono poi stati riportati successivamente sopra una retta  $zz$ . Da un punto  $U$ , scelto ad arbitrio, si sono condotti i raggi ai punti della  $zz$ , che sono origini e termini de' segmenti; pei baricentri delle sei figure componenti si sono condotte le parallele alla  $zz$ , e poi si è costruito un poligono coi vertici situati in queste parallele, e coi lati ordinatamente paralleli ai raggi che escono da  $U$ . I lati estremi di questo poligono si segano in un punto, pel quale s'è condotta la parallela a  $zz$ ; e questa retta dee contenere il baricentro domandato. Per ottenere una seconda retta che possieda la stessa proprietà, si ripeteranno le operazioni anzidette rispetto ad un'altra direzione della  $zz$ ; ovvero, come s'è fatto nella nostra figura, mantenuta la  $zz$  e il punto  $U$ , si costruirà un nuovo poligono i cui vertici cadano sulle rette menate pei baricentri 1, 2, ... 6 perpendicolarmente a  $zz$ , ed i cui lati siano perpendicolari ai corrispondenti raggi per  $U$ . È chiaro che ciò equivale a condurre una nuova  $zz$  perpendicolare alla prima, e quindi a procedere rispetto ad essa, come dianzi s'era fatto per la medesima prima  $zz$ . S'intende da sè che nella  $zz$  i segmenti 1, 2, ... devono essere portati con riguardo al senso, nel caso che le aree in cui è stata divisa la figura data non siano tutte dello stesso segno (\*).

**143.** Nella costruzione che precede, s'è fatto uso di due poligoni, a fine di ottenere due rette passanti pel baricentro che si cerca. Ma basterà un solo poligono, ogniqualevolta sia già conosciuta a priori una retta nella quale debba trovarsi il baricentro, p. e. quando

---

(\*) GULMANN, *l. c.*, p. 198.



la figura abbia un diametro. Questo caso si verifica nell'esempio che segue, dove la figura proposta è dotata di un asse di simmetria (fig. 121).

Questa figura rappresenta la sezione di un così detto ferro a doppio T.

144. Passiamo ora ai baricentri delle figure curvilinee, e dapprima consideriamo un settore circolare  $OAB$  (fig. 122). Imaginiamolo diviso in un grandissimo numero di settori elementari concentrici, i quali, riguardati come triangoli, avranno i loro baricentri nell'arco descritto con raggio  $OA' = \frac{2}{3}OA$ ; perciò il baricentro cercato sarà il baricentro  $G$  dell'arco  $A'B'$ . Per trovare questo punto (N. 135), si sviluppi il semiarco  $CA$  sulla tangente  $CM$ , congiungansi  $O, M$  e tirisi  $A'N$  parallela ad  $OC$ , sino ad incontrare  $OM$  in  $N$ . Allora il punto  $G$  sarà il piede della perpendicolare abbassata da  $N$  sul raggio medio  $OC$  (\*).

145. Abbiassi ora il segmento circolare  $ACB$  (fig. 123); esso è la differenza fra il settore  $OAB$  e il triangolo  $OAB$ , ossia la somma del settore  $OAB$  e del triangolo  $OBA$ ; epperò il baricentro  $G$  del segmento sarà nella retta (nel raggio medio  $OC$ ) che congiunge i baricentri  $G_1, G_2$  del settore e del triangolo, e dividerà il segmento  $G_1G_2$  in due parti inversamente proporzionali alle aree di queste figure. Preso  $OA' = \frac{2}{3}OA$ , ed ottenuto il punto  $N$  come dianzi si è detto, i punti  $G_1, G_2$  saranno i piedi delle perpendicolari abbassate da  $A', N$  sul raggio medio  $OC$ . Sia  $F$  il punto comune alle  $AB, OC$ , ed  $H$  il piede della perpendicolare abbassata da  $F$  su  $OA$ . Le aree del settore e del triangolo sono uguali rispettivamente a  $CM.OA, FH.OA$ , vale a dire, sono proporzionali alle lunghezze  $CM, FH$ ; perciò se da  $G_1, G_2$  si conducono due segmenti  $G_1I, G_2K$ , paralleli e nello stesso senso, uguali o proporzionali ad  $FH, CM$ , il punto  $G$  comune alle  $KI, OC$  sarà il baricentro domandato. Infatti, dai triangoli simili  $GG_1I, GG_2K$  si ha

$$G_1G : G_2G = G_1I : G_2K = FH : CM (**).$$

146. Se il circuito di una figura, della quale si cerchi il baricentro, è composto di segmenti rettilinei e di archi circolari, tracciando le corde di questi archi o i loro raggi estremi, si decomporrà la figura in parti, per ciascuna delle quali si sanno determinare il baricentro e l'area; quindi si potrà applicare il processo del N. 142.

(\*) CULMANN, l. c., p. 153.

(\*\*) CULMANN, l. c., p. 154.

Esempio. Si domanda il baricentro della figura già trattata al N. 103 (fig. 124). A tale uopo consideriamola dapprima decomposta in tre parti, la lunula, la corona e la somma delle parti rettilinee; poi riguardando la lunula come somma (algebrica) di due settori e di un quadrilatero, la corona come somma (algebrica) di due settori, e dividendo la parte rettilinea per mezzo della retta  $KCC'K'$ , verremo ad ottenere la figura proposta uguale alla somma delle figure parziali:

- 1... Settore  $UAEA'$
- 2... Quadrilatero  $OAUA'$
- 3... Settore  $AOA'F$
- 4... Settore  $OB B'$
- 5... Settore  $OC'C$
- 6... Trapezi  $BCKH + H'K'C'B'$
- 7... Trapezi  $CJIK + K'I'J'C'$ , .

delle quali tutte si sanno determinare le aree, riducendole ad una base comune, e costruire i baricentri. Per trovare il baricentro della somma  $BCKH + H'K'C'B'$ , basterà cercare (N. 138) il baricentro del trapezio  $BCKH$  e per esso condurre la parallela a  $KC$  sino ad incontrare l'asse di simmetria  $EO$ : il punto d'incontro sarà il baricentro desiderato. Allora, per applicare il processo del N. 142, si condurrà, in una direzione diversa da quella di  $EO$ , per es. nella direzione di  $KCC'K'$ , una retta  $zz$ , sulla quale si porteranno consecutivamente i segmenti 1, 2, 3, ... 7 proporzionali alle aree delle sette figure parziali, badando che i segmenti 3 e 5 devono essere diretti in senso opposto agli altri, perchè rappresentano aree negative. Da un punto  $V$ , scelto ad arbitrio fuori della  $zz$ , si condurranno i raggi ai punti che sono origini ed estremi de' predetti segmenti. Poi, tirate pei baricentri delle figure parziali le parallele alla  $zz$ , si costruirà un poligono i cui vertici cadano in coteste parallele ed i cui lati siano ordinatamente paralleli ai raggi uscenti dal polo  $V$ . Pel punto in cui si segano il primo e l'ultimo lato si tiri la parallela alla  $zz$ ; essa segnerà l'asse  $OU$  nel baricentro cercato  $G$  della figura data. Questo punto  $G$ , nel nostro disegno, viene a coincidere assai prossimamente col punto 2, baricentro del quadrilatero  $OAUA'$ . Se si prolungassero opportunamente i lati del poligono sino a trovare il punto in cui il primo lato incontra il quarto, e quello in cui il quarto lato incontra il sesto, e se per questi punti si tracciassero le parallele a  $zz$  sino ad incontrare l'asse di simmetria: nelle intersezioni avremmo i baricentri della lunula e della corona.

## IX.

## Rettificazione di un arco circolare.

147. Per sviluppare un arco circolare  $AB$  sulla tangente in  $A$  (fig. 125), si può procedere così. Si prolunghi  $BA$  di una parte  $AC = \frac{1}{2} BA$ , e dal centro  $C$  col raggio  $CB$  si descriva un arco che tagli la tangente in  $D$ . Allora sarà  $AD$  la lunghezza dell'arco dato, con un errore in meno, il cui rapporto all'arco è

$$-\frac{\theta^3}{1080} - \frac{\theta^6}{54432} \dots,$$

essendo  $\theta$  il rapporto dell'arco al raggio (\*).

Ovvero (fig. 126): Sia  $D$  il punto di mezzo dell'arco  $AB$ , ed  $E$  il punto di mezzo dell'arco  $AD$ ; il raggio  $OE$  incontri in  $C$  la tangente in  $A$ , e si tiri la  $CB$ ; sarà  $AC + CB$  la lunghezza dell'arco dato, con un errore in più, il cui rapporto all'arco è

$$+\frac{\theta^4}{4320} + \frac{101\theta^6}{3483648} \dots$$

Siccome  $4320 = 4 \times 1080$ , così se ai  $\frac{4}{5}$  della lunghezza trovata colla seconda costruzione si aggiunge  $\frac{1}{5}$  della lunghezza trovata colla prima, si avrà nella somma risultante una lunghezza approssimata dell'arco, con un errore in più, il cui rapporto all'arco sarà

$$+\frac{17\theta^6}{870912} \dots \quad (**).$$

Per la dimostrazione di queste regole rimandiamo lo studioso alle note originali del prof. RANKINE, citate a piè di pagina.

148. Intorno a questo soggetto credo conveniente di riprodurre qui una lettera che mi fu diretta dall'egregio mio amico, prof. A. SAYNO.

• Il metodo dato da CULMANN (\*\*\*) per sviluppare un arco di cerchio  $AB$  sulla tangente in un suo punto è troppo lungo. Io credo di poter ottenere graficamente la lunghezza di un arco di cerchio in un modo più semplice, ricorrendo a curve ausiliarie, le quali, una volta costruite, possono servire in ogni caso.

• Si immagini (fig. 127) un giro  $OMRS$  di spirale d'Archimede riferita all'asse polare  $OX$  col polo in  $O$ , che ha per equazione  $\rho = a\omega$  (\*\*\*\*); e il circolo di centro  $O$  e di raggio  $OA' = a$ . Sia  $OM$  un raggio vettore qualunque della spirale, che intersechi il circolo in  $M'$ ; sarà arco  $A'M' = OM$ . Se ora si vuole avere la lunghezza di un arco di circolo  $A''M''$  di raggio  $OA''$  qualunque, basterà appli-

(\*) RANKINE, *On the approximate drawing of circular arcs of given lengths* (Philosophical Magazine, ottobre 1867, p. 286).

(\*\*) RANKINE, *On the approximate rectification of circular arcs* (Philosophical Magazine, novembre 1867, p. 381).

(\*\*\*) L. c., p. 37.

(\*\*\*\*)  $\rho$  è il raggio vettore  $OM$ , ed  $\omega$  la corrispondente anomalia  $A'OM$ .

carvi la spirale (supposta già levata dalla posizione precedente) in modo che il suo asse polare coincida col raggio  $OA''$  dell'arco dato, e segnare sulla  $OA''$  il punto  $A'$  e sull'altro raggio  $OM''$  il punto  $M$  in cui quel raggio incontra la curva. Levata via la spirale, se si tira da  $A''$  la parallela alla  $A'M$ , essa interseca  $OM''$  in  $M'''$ , ed  $OM'''$  è la lunghezza dell'arco cercata. Questa spirale si può costruire con una lastrina di ottone, di talco o di avorio, ed in essa basterà segnare il polo ed il punto  $A'$ . Sarebbe un nuovo strumento da aggiungere al grafometro nella busta dei compassi dell'ingegnere.

La spirale d'Archimede  $\rho = a\omega$  (fig. 130) dà anche lo sviluppo di un arco sulla tangente. Descritto il cerchio di raggio  $OA = a$  ed il cerchio di diametro  $OC = OA$ , se  $B, H$  sono i punti in cui questi cerchi sono incontrati dal raggio vettore qualsivoglia  $OM$ , sarà  $OM = \text{arco } AB = \text{arco } OH$ . Perciò, se si vuole sviluppare l'arco  $OV$  sulla tangente  $OX$ , basta disporre la spirale in modo che il polo e l'asse polare coincidano rispettivamente col punto di contatto  $O$  e colla tangente  $OX$  dell'arco dato, e quindi segnare i punti  $H, M$  in cui la corda  $OV$  incontra il cerchio di diametro  $OC$  e la spirale. Tolta via la spirale, se in  $OX$  si fa  $OM' = OM$ , e se da  $V$  si tira la  $VV'$  parallela ad  $HM'$ , sarà  $OV'$  lo sviluppo cercato.

Per maggiore solidità della lastrina che costituisce l'istrumento, conviene che si adopero il cerchio di diametro  $OC' = CO$ , ed allora, supposta prolungata la corda  $VO$ , si otterrà  $OH' = HO$ .

• Un'altra curva che può servire al medesimo scopo è la *spirale iperbolica*, la cui equazione in coordinate polari è  $a = \rho\omega$ . Si disegni (fig. 128) un giro di questa curva  $\dots NMDCBA$ , e si segni sull'asse polare il punto  $A'$  in modo che  $OA' = a$ ; allora l'arco di circolo  $MM'$  di raggio  $OM$  ha per lunghezza  $OA'$ ; quindi un arco qualunque  $M''M'''$  col centro in  $O$  avrà per misura  $OA''$ , dove  $A''$  si ottiene tirando  $M'''A''$  parallela ad  $MA'$ . Questa curva non serve per avere la lunghezza di archi di piccola ampiezza, così che praticamente torna più utile la prima.

La spirale iperbolica dà in un modo assai elegante la divisione degli angoli.

Infatti, per ottenere l'arco  $M'N' = \frac{1}{n}M'M$  (fig. 128), basta prolungare il raggio vettore  $OM$  e prendere  $OM'' = n.OM$ , e col raggio  $OM''$  intersecare la spirale in  $N$ ; il raggio  $ON$  incontra l'arco  $M'M$  nel punto cercato  $N'$ .

• Per ottenere l'arco sviluppato sulla tangente, si può ricorrere ad un'altra curva ausiliaria, cioè alla sviluppante di circolo. Si abbia (fig. 129) il cerchio di raggio  $OA'$  e sia  $A'M'B'C'D'$  la sviluppante del medesimo. Dalla figura si ha: arco  $MA' = MM'$ , essendo  $MM'$  la tangente al cerchio in  $M$ . Se allora si domanda l'arco  $M''M'''$  (di centro  $O$ ) sviluppato sulla tangente al medesimo in  $M''$ , basterà tirare  $OM'$ , la quale retta prolungata incontra in  $M''$  quella tangente, e  $M''M'''$  è lo sviluppo cercato.



# CORREZIONI

AGLI

## ELEMENTI DI GEOMETRIA PROIETTIVA

(Primo Volume)

del Prof.

LUIGI CREMONA.

*Il teorema del N. 17 (pag. 8) deve essere enunciato così:*

- « Se alle rette  $a, b, c, \dots$  ed ai punti  $ab, ac, \dots bc, \dots$  di una figura corrispondono ordinatamente le rette  $a', b', c', \dots$  ed i punti  $a'b', a'c', \dots b'c', \dots$  di un'altra figura situata colla prima nello stesso piano, e se le coppie di punti corrispondenti  $ab$  ed  $a'b', ac$  ed  $a'c', \dots bc$  ed  $b'c', \dots$  sono allineati con un punto fisso  $O$ , dico che le rette corrispondenti  $a$  ed  $a', b$  ed  $b', c$  ed  $c', \dots$  si segano in punti di una retta fissa ».

*A pag. 4, linea 10<sup>a</sup>, in luogo di  $\sigma$  bisogna leggere  $\sigma'$ .*

*A pag. 47, N. 70, all'a 3<sup>a</sup> linea della colonna di destra bisogna leggere  $cc'$  invece di  $bb'$ , alla 5<sup>a</sup>  $bb'$  in luogo di  $cc'$ , alla 6<sup>a</sup>  $bc'$  in luogo di  $b'c'$ , e poi  $b$  in luogo di  $b'$ , e alla 7<sup>a</sup>  $c'$  in luogo di  $c$ .*

*A pag. 68, linea 7<sup>a</sup>, invece di  $-\frac{BA' \cdot CB' \cdot AC'}{CA' \cdot AB' \cdot BC'}$  leggasi  $-\frac{CA' \cdot AB' \cdot BC'}{BA' \cdot CB' \cdot AC'}$ .*

*A pag. 74, linea 23, si legga:*

- « ..... in  $A', B', \dots, P'$ . I fasci  $Q(A', B', C', \dots), P'(A', B', C', \dots)$  sono proiettivi (N. 108), epperò sono proiettivi anche i fasci  $P(A', B', C', \dots), P'(A', B', C', \dots)$ ; anzi questi sono prospettivi, perchè il raggio  $PP'Q$  corrisponde a sè medesimo. Dunque le rette  $PA$  e  $P'A', PB$  e  $P'B', PC$  e  $P'C', \dots$  si segano in punti di una retta fissa  $s$ . I triangoli  $PAB$  e ..... »

*Ed alla linea 27 si legga:*

- « ..... si segheranno nei punti della retta fissa  $s$ . »

*Analogamente a pag. 75, linea 12, si legga:*

- « ..... in  $H'', K'', \dots$ . Le punteggiate  $ABC, \dots, A''B''C'', \dots$  sono proiettive (N. 110), dunque sono proiettive anche  $A'B'C', \dots, A''B''C''$ ; anzi queste sono prospettive, perchè  $Q$  corrisponde a sè medesimo. Dunque le congiungenti  $A'A'', B'B'', C'C'', \dots$  concorreranno in un punto fisso  $O$ . I triangoli...

*Ed alla linea 18 si legga:*

- « .... concorreranno nel punto fisso  $O$ . »

Pag.	linea	7, invece di	$cc'$ $S$	leggasi	$pp'$ $s$
114	29				
116	17				
			« il quarto è prospettivo al primo (sezione comune $s$ ) il primo »		« il primo è prospettivo. »
126	10		$RA \cdot QA' = RB \cdot QB'$		$QA \cdot RA' = QB \cdot RB'$
id.	12		$RM \cdot QM = RB \cdot QB'$		$QM \cdot RM = QB \cdot RB'$
id.	24		« per $O, U, V$ »		« per $O, V, U$ »
154	5 (salendo)		$PQ'R'$		$OQ'R'$
155	29		incontri		incontrino
163	11		( $k$ )		( $d$ )
id.	14		$\pm OB^2$		$\mp OB^2$
164	dalla linea 22 sino al fondo		si scambino fra loro le lettere $H, K$ .		

*La figura 149 (tav. XXXVII) dev' essere modificata in guisa che  $LM$  passi per  $U$  ed  $LN$  passi per  $V$ .*





3539

Alexander Zisch

1.2

**ELEMENTI**  
**DI**  
**CALCOLO GRAFICO,**

**DEL PROF.**

**LUIGI CREMONA**

Direttore della R. Scuola d'Applicazione per gl'Ingegneri in Roma,

**AD USO**

**DEGLI ISTITUTI TECNICI**

del Regno d'Italia.

**FIGURE**

**TORINO**

**STAMPERIA REALE DI G. B. PARAVIA F. C.**

**1874.**



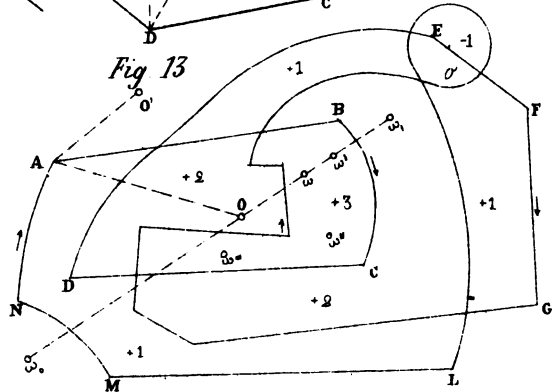
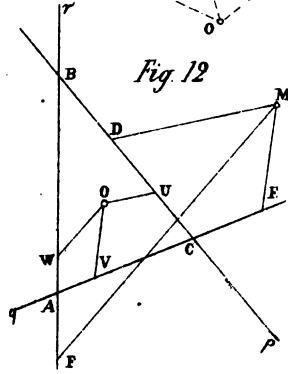
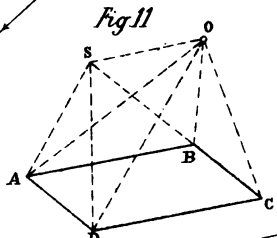
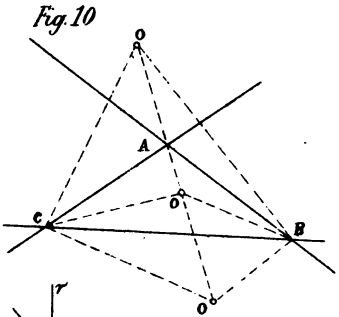
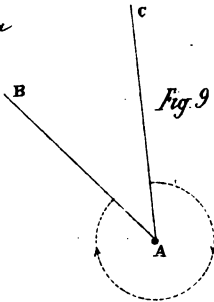
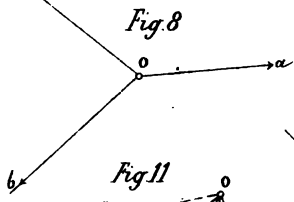
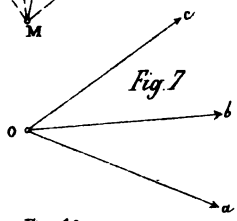
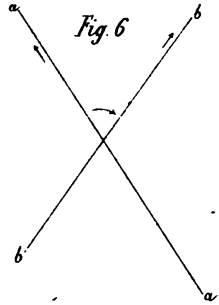
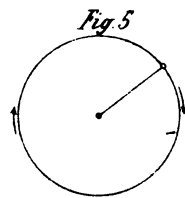
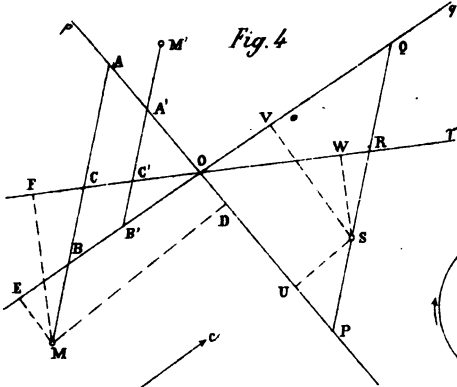
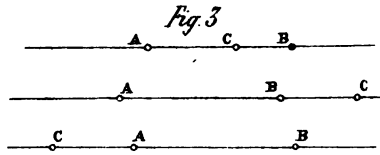
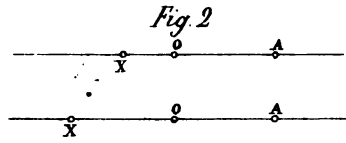
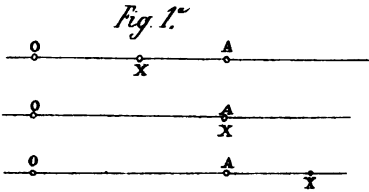


Mathematics

QA

219

.C915



© 1-12-33/4614

UNIVERSITY OF MICHIGAN

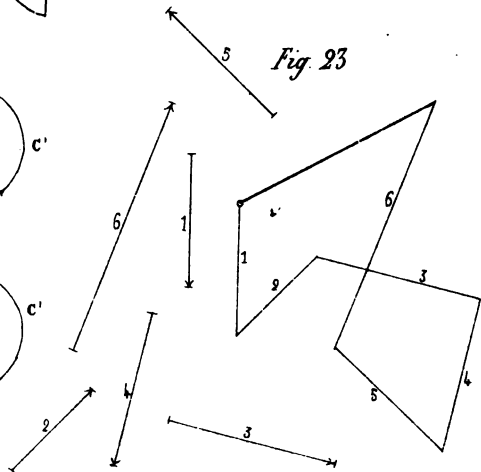
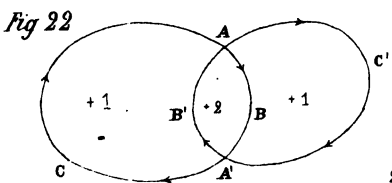
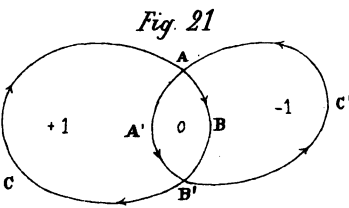
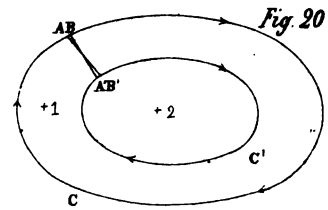
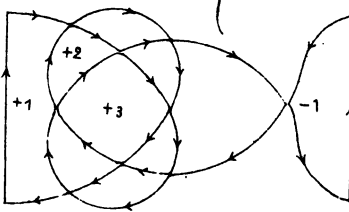
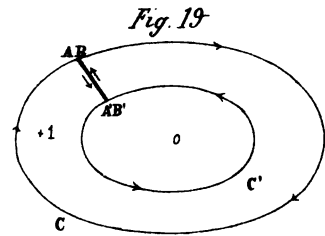
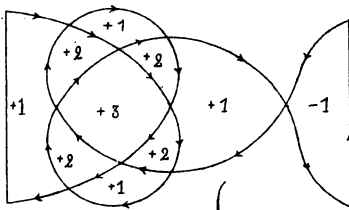
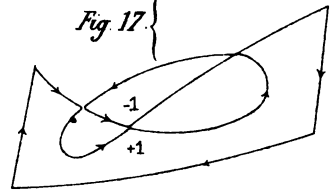
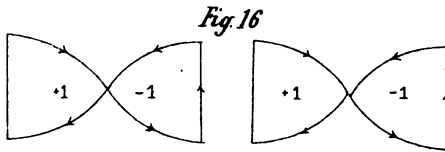
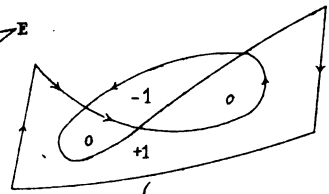
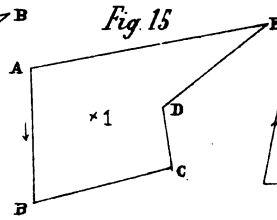
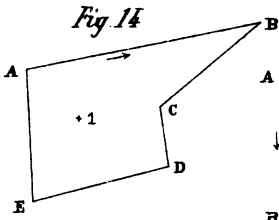


Fig 24



Fig 25



Fig 26

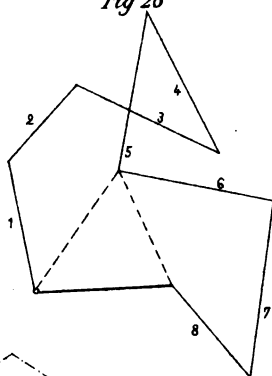


Fig. 27.

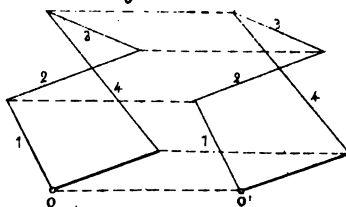


Fig 29

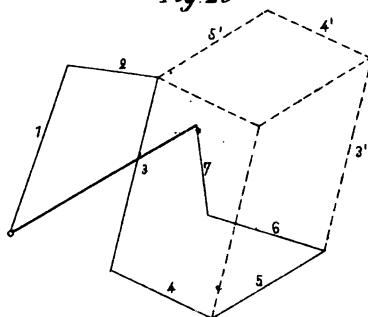


Fig. 28

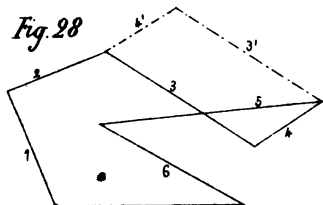


Fig 30

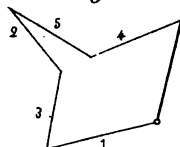


Fig 31

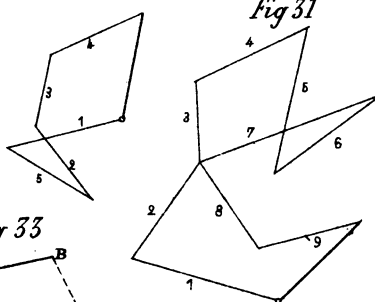


Fig 32

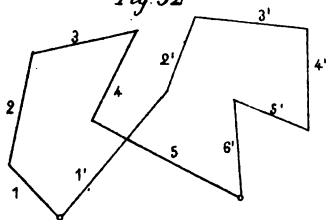


Fig 33

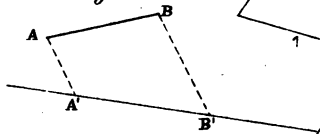


Fig 35

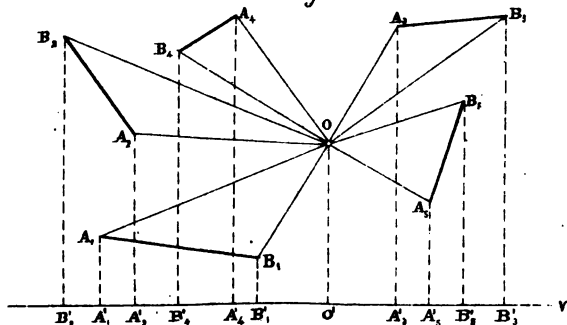
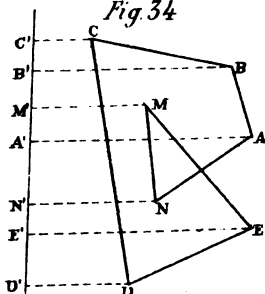
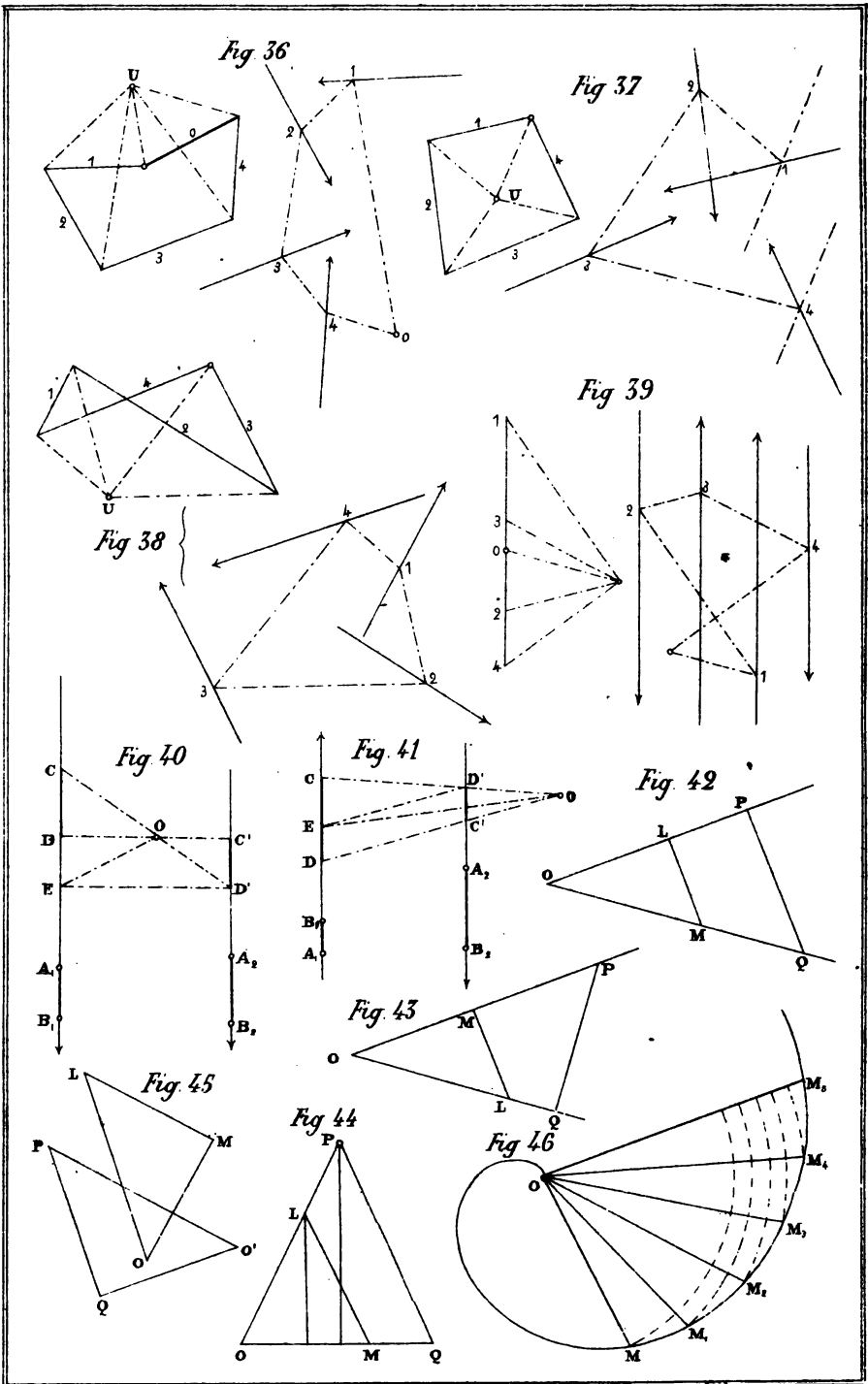
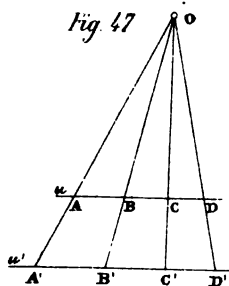


Fig 34

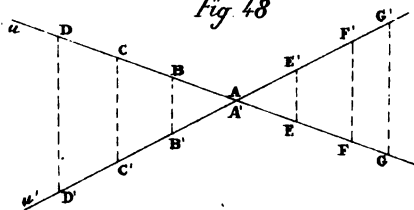




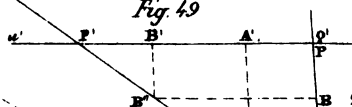
*Fig. 47*



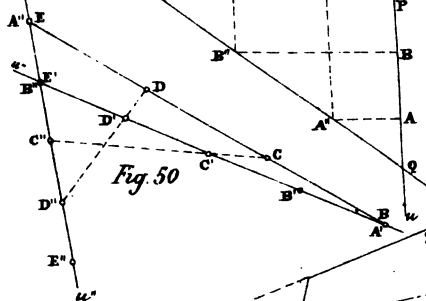
*Fig. 48*



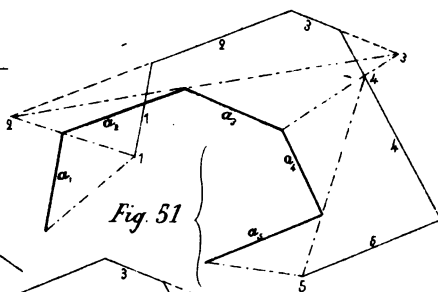
*Fig. 49*



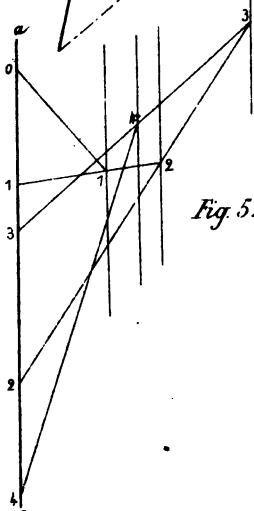
*Fig. 50*



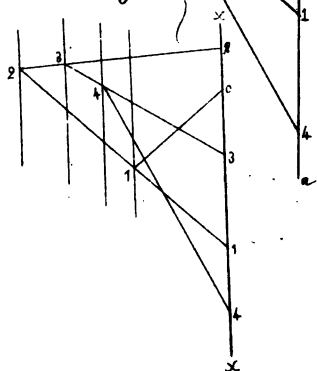
*Fig. 51*

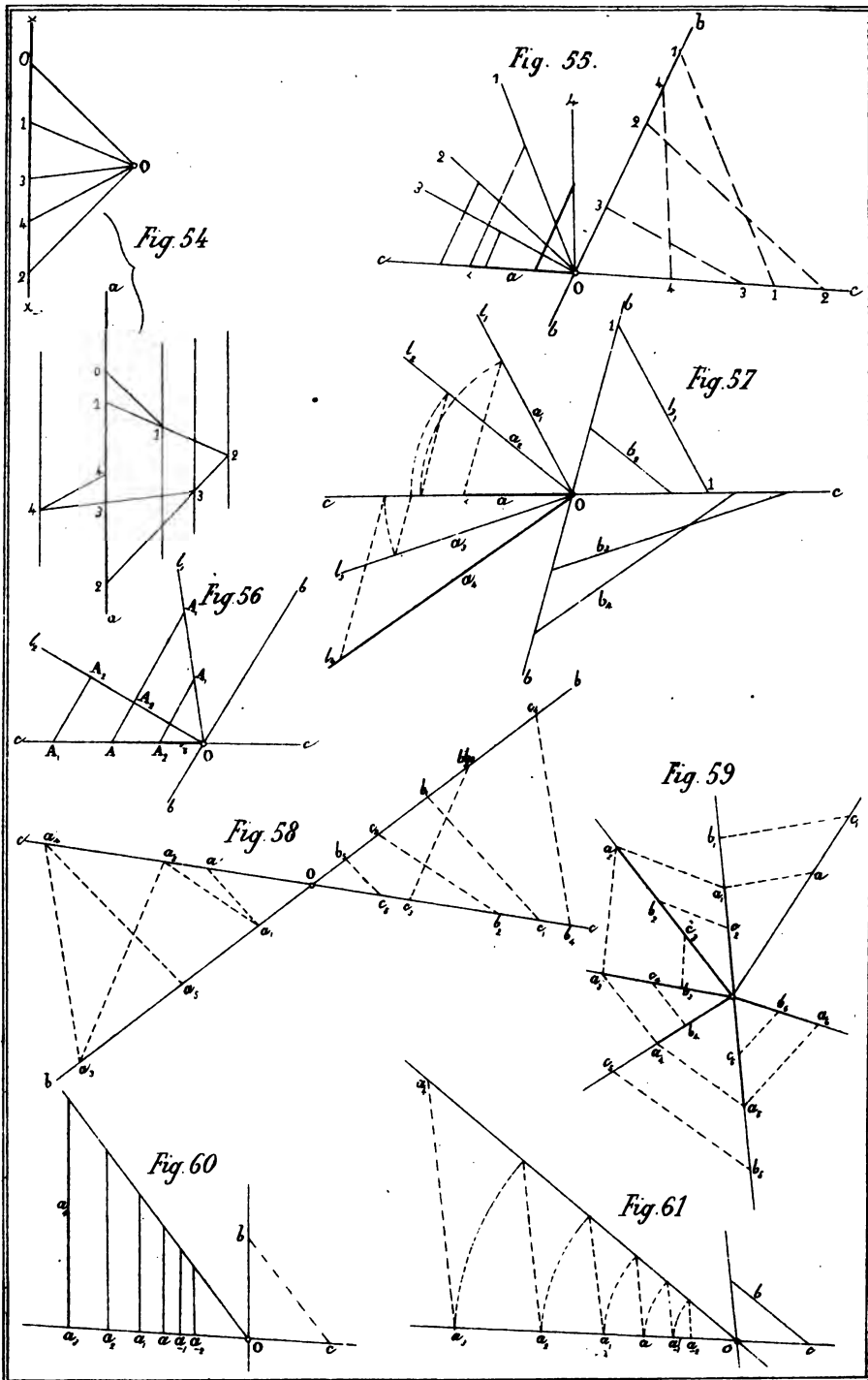


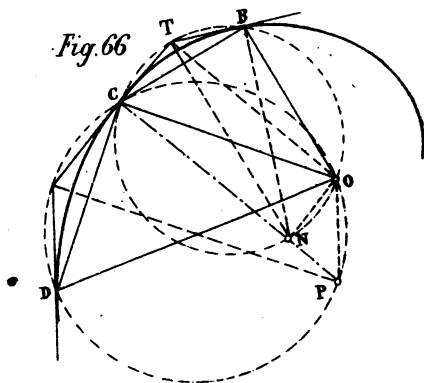
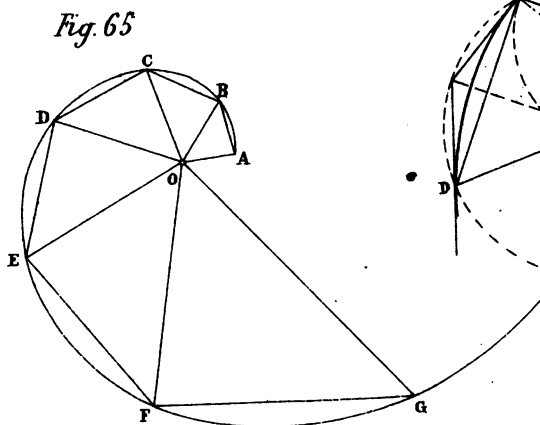
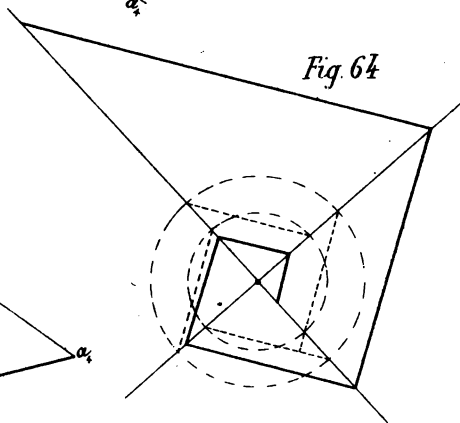
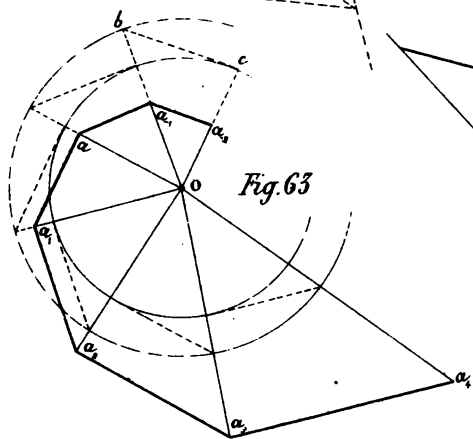
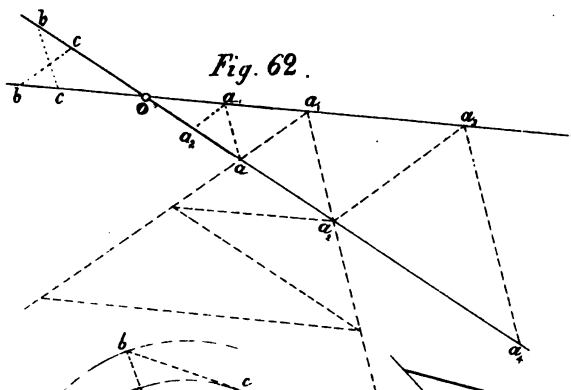
*Fig. 52*



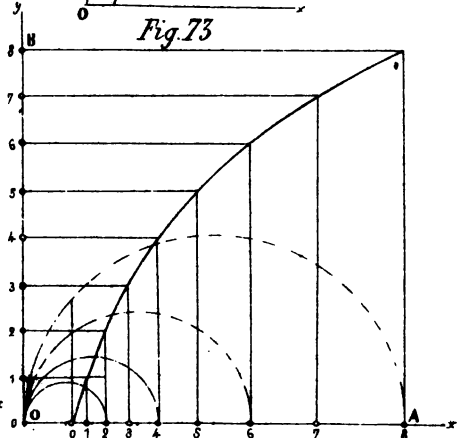
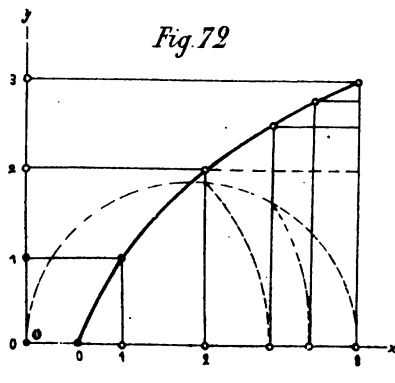
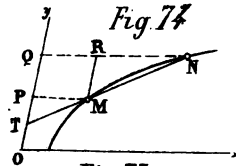
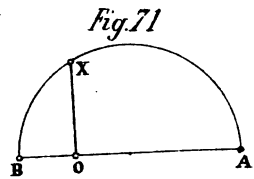
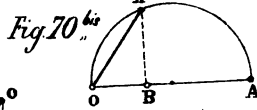
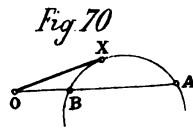
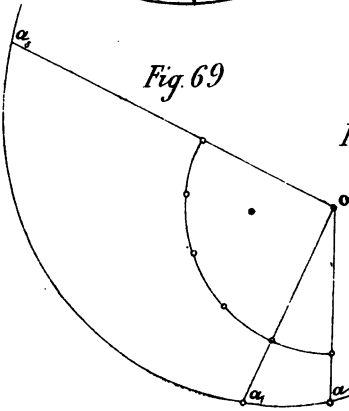
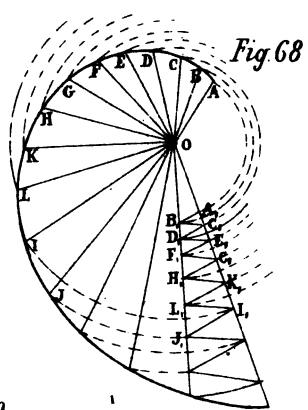
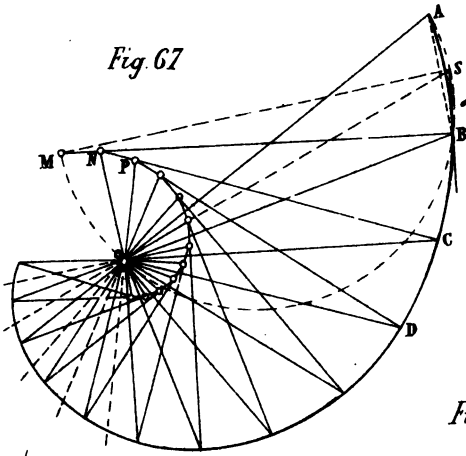
*Fig. 53*

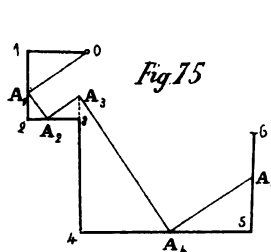




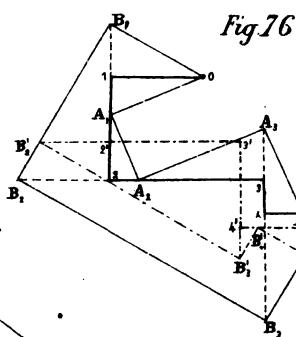




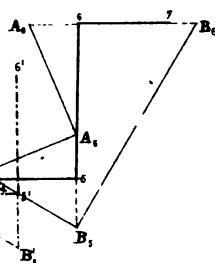




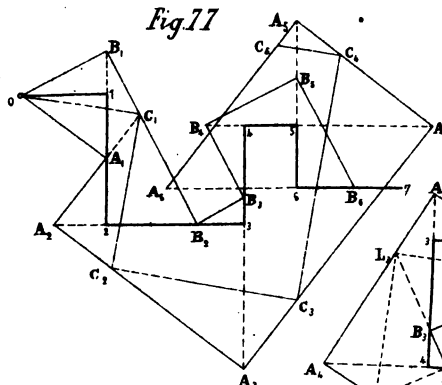
*Fig. 75*



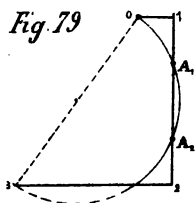
*Fig. 76*



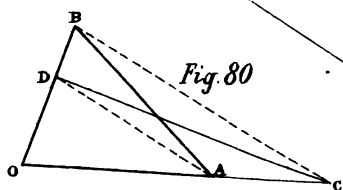
*Fig. 77*



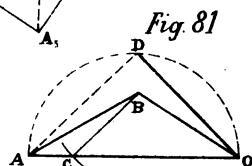
*Fig. 78*



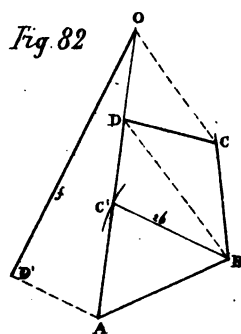
*Fig. 79*



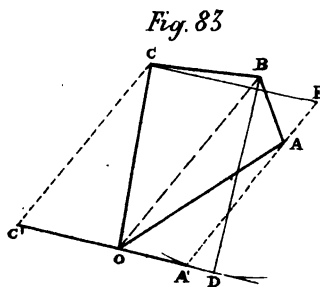
*Fig. 80*



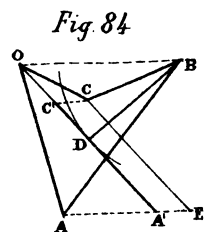
*Fig. 81*



*Fig. 82*

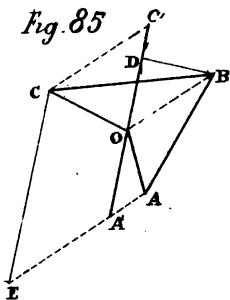


*Fig. 83*

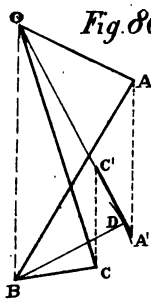


*Fig. 84*

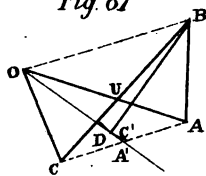
*Fig. 85*



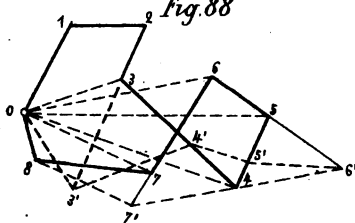
*Fig. 86.*



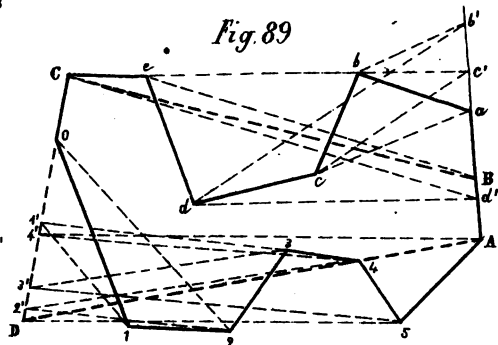
*Fig. 87*



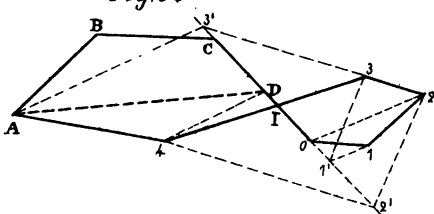
*Fig. 88*



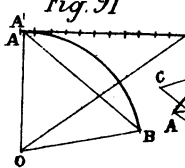
*Fig. 89*



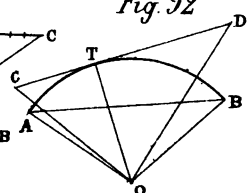
*Fig. 90*



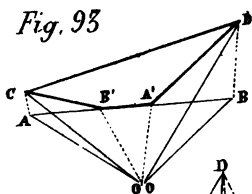
*Fig. 91*



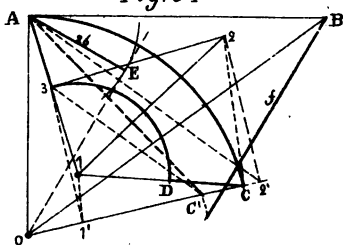
*Fig. 92*



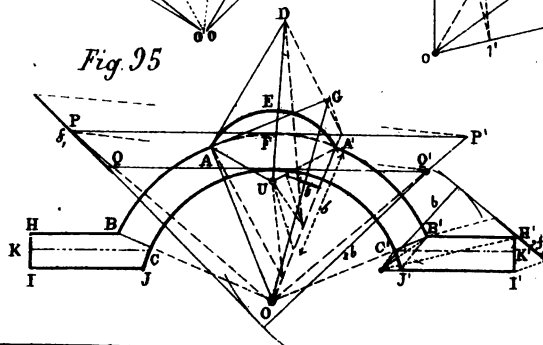
*Fig. 93*



*Fig. 94*



*Fig. 95*

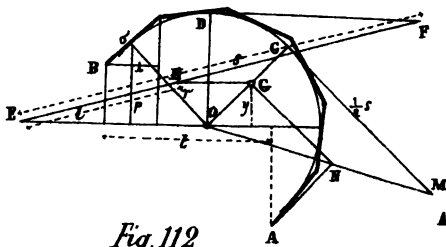


*Fig. 96*

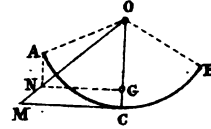




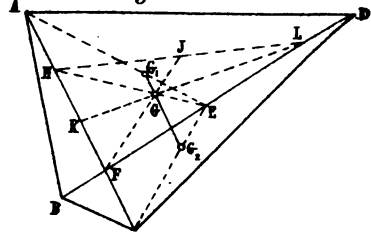
*Fig. 110*



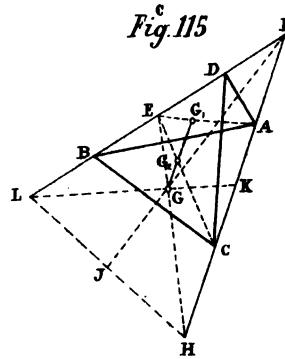
*Fig. 111*



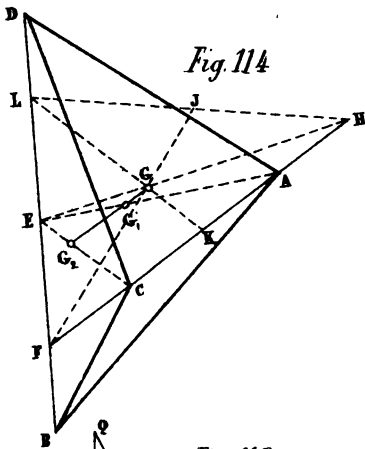
*Fig. 113*



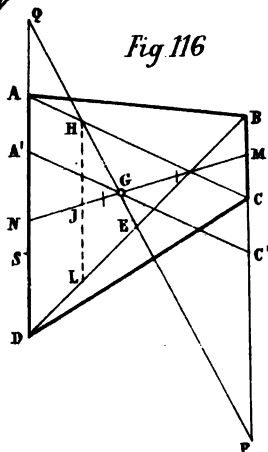
*Fig. 115*



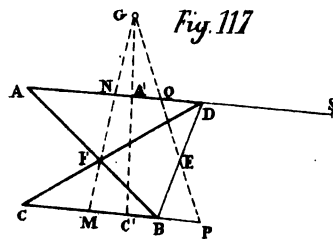
*Fig. 114*



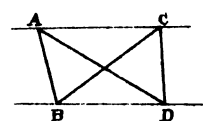
*Fig. 116*

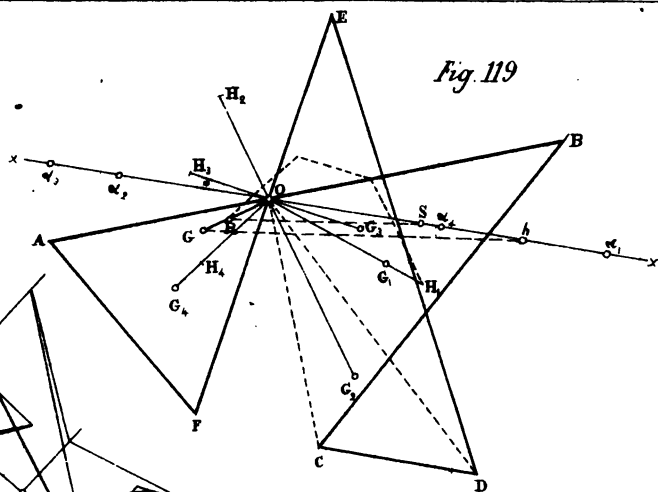


*Fig. 117*



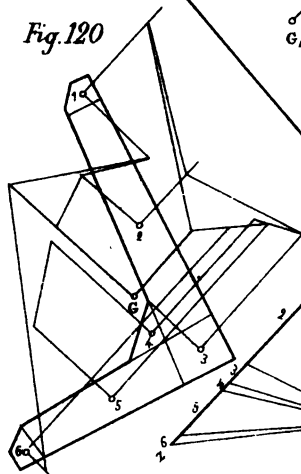
*Fig. 118*



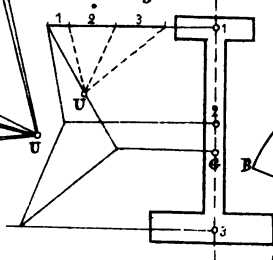


*Fig. 119*

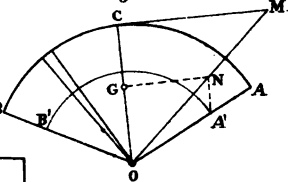
*Fig. 120*



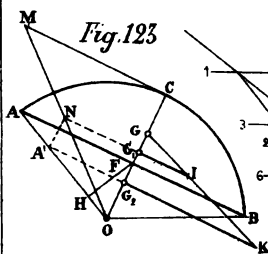
*Fig. 121*



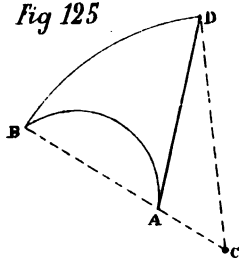
*Fig. 122*



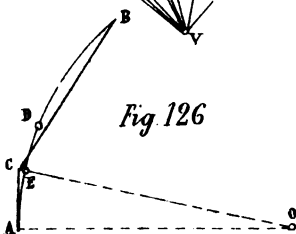
*Fig. 123*



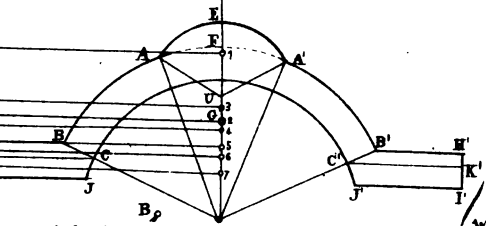
*Fig. 125*



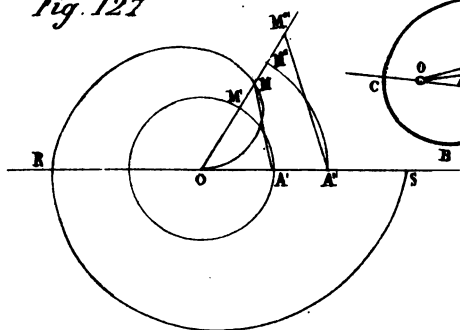
*Fig. 126*



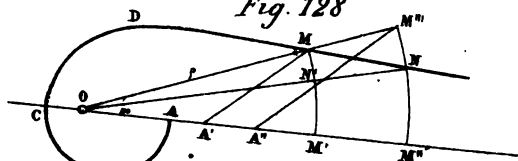
*Fig. 124*



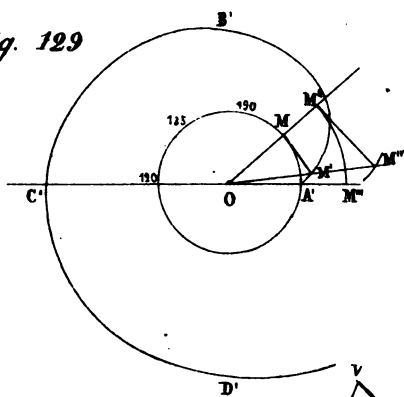
*Fig. 127*



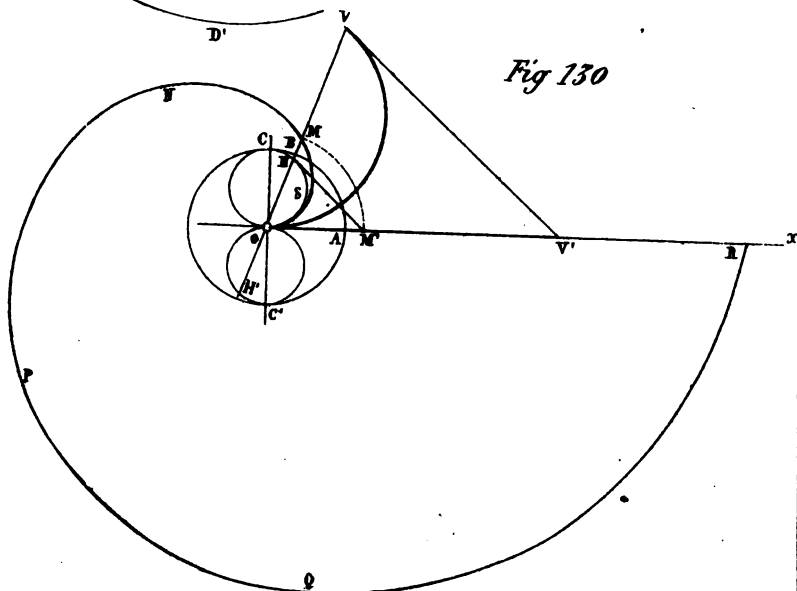
*Fig. 128*



*Fig. 129*

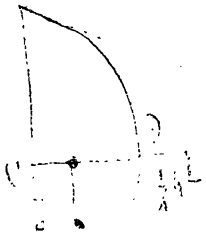


*Fig. 130*



10

10



10

A







**ELEMENTI**  
DI  
**GEOMETRIA PROIETTIVA**

DEL PROFESSORE

**LUIGI CREMONA**

Direttore della R. Scuola d'Applicazione per gl'Ingegneri in Roma

AD USO

DEGLI ISTITUTI TECNICI DEL REGNO D'ITALIA

---

**VOLUME PRIMO**

contenente la materia assegnata dal Programma dell'ottobre 1871  
al 1° corso del 2° biennio.

---

Prezzo del Vol. I (Testo e Figure) **L. 3, 50.**

---

*Di prossima pubblicazione il VOLUME II.*





UNIVERSITY OF MICHIGAN



3 9015 06828 2826

BOUND

MAY 11 1933

UNIV. OF MICH.  
LIBRARY

